



SVANTEK
LABORATORIUM BADAWCZE



AB 1391

AKREDYTACJA PCA
NR AB 1391

- POMIARY CIĄGŁE I OKRESOWE HAŁASU LOTNICZEGO, DROGOWEGO ORAZ SZYNOWEGO
- POMIARY EMISJI HAŁASU PRZEMYSŁOWEGO
- OCENA IZOLACYJNOŚCI AKUSTYCZNEJ OD DŹWIĘKÓW POWIETRZNYCH I UDERZENIOWYCH
- OCENA WPLYWU DRGAŃ NA BUDYNKI ORAZ LUDZI W BUDYNKACH
- POMIARY POZIOMU DŹWIĘKU W POMIESZCZENIACH

Sprawozdanie

LB-S-2012/4-55

Pomiary ciągłe poziomów hałasu lotniczego

Lotnisko Warszawa – Babice

listopad 2016

| | | |
|--------------------------------|---|---|
| Data sporządzenia sprawozdania | Opracowanie Specjalista ds. Pomiarów | Autoryzacja |
| 19.12.2016 | mgr Michał Bukala | SVANTEK Sp. z o.o. KONSULTANT dr inż. Andrzej Chyla |

Wyniki przedstawione w sprawozdaniu dotyczą tylko i wyłącznie badanego obiektu.
Niniejsze sprawozdanie bez pisemnej zgody laboratorium nie może być powielane inaczej niż w całości.
Sprawozdanie zawiera wyniki z badań objętych zakresem akredytacji PCA AB 1391.

Warszawa,
grudzień 2016 rok

SVANTEK Sp. z o.o.

04-872 Warszawa, ul. Strzygłowska 81

NIP PL5270105272

Spółka zarejestrowana w Sądzie Rejonowym dla M. St. Warszawy, XIII Wydział Gospodarczy

www.svantek.pl

REGON 002175672

e-mail: biuro@svantek.pl

tel./faks: 22 51 88 300, 22 51 88 312

KRS 000192065

Kapitał zakładowy 100 000 zł



Spis treści

| | | |
|-----|---|----|
| 1 | Podstawa wykonania pracy | 3 |
| 2 | Cel i zakres rzeczowy pracy | 3 |
| 3 | Opis obiektu badań | 4 |
| 4 | Wymagania | 4 |
| 5 | Zastosowana metodyka | 5 |
| 5.1 | Ciągłe pomiary hałasu lotniczego | 5 |
| 5.2 | Wielkości i parametry występujące w opracowaniu | 5 |
| 6 | Punkty pomiarowe | 6 |
| 7 | Przyrządy pomiarowe | 7 |
| 8 | Wyniki pomiarów | 8 |
| 8.1 | Sprawdzenie okresowe | 8 |
| 8.2 | Opis sytuacji mających wpływ na wyniki pomiarów dźwięku | 8 |
| 8.3 | Pomiar warunków meteorologicznych | 8 |
| 8.4 | Pomiar poziomu ekspozycji na hałas | 9 |
| 9 | Analiza wyników | 23 |
| 9.1 | Sposób określania i podawania niepewności | 60 |
| 9.2 | Zestawienie wartości poziomów ekspozycji | 61 |
| 9.3 | Zestawienie operacji lotniczych | 63 |
| 9.4 | Wartości długookresowych średnich poziomów dźwięku A | 66 |
| 9.5 | Wartości dobowe równoważnych poziomów dźwięku A | 66 |
| 9.6 | Wartości równoważnych poziomów dźwięku A | 68 |
| 10 | Podsumowanie i wnioski | 68 |

1 Podstawa wykonania pracy

Pomiary oraz sprawozdanie wykonano na podstawie umowy 10/2013 zawartej dnia 01.10.2013 r. z:

Centrum Usług Logistycznych
ul. Słoneczna 37
00-789 Warszawa

2 Cel i zakres rzeczowy pracy

Wykonane opracowanie uwzględnia: określenie faktycznego wpływu hałasu na otaczające środowisko oraz uciążliwości hałasu lotniczego od startów i lądowań statków powietrznych użytkowanych na lotnisku oraz weryfikację pomiarową mającą na celu wybór optymalnych tras dolotowych i odlotowych z lotniska zapewniających minimalne zagrożenie hałasem lotniczym.

Uciążliwość hałasowa lotniska została pomiarowo określona przy założeniu, że w sposób ciągły użytkowane będą następujące statki powietrzne:

- samoloty pasażerskie z napędem turbośmigłowym,
- samoloty-dyspozycyjne,
- lekkie samoloty z napędem śmigłowym,
- śmigłowce.


Celem sprawozdania jest przedstawienie wyników pomiarów uzyskanych ze stacji ciągłego monitorowania hałasu lotniczego w środowisku, statków powietrznych startujących i lądujących na Lotnisku Warszawa-Babice. W ramach zakresu umowy prowadzone są pomiary hałasu lotniczego na rzecz Zleceniodawcy z wykorzystaniem dwóch stacji ciągłego monitorowania hałasu w środowisku, według specyfikacji zawartej umowy.

Pomiary przeprowadzono w okresie 01.11.2016 godz. 06:00:00 – 01.12.2016 godz. 05:59:59.

Opracowanie sporządzono o następujące akty prawne i materiały źródłowe:

- Ustawa z dnia 27 kwietnia 2001 r. Prawo ochrony środowiska (Dz.U. 2013, poz. 1232 z późn. zm.),
- Rozporządzenie Ministra Środowiska z dnia 14 czerwca 2007 r. w sprawie dopuszczalnych poziomów hałasu w środowisku (Dz.U. z 2014 r. poz. 112),
- Rozporządzenie Ministra Środowiska z 25 kwietnia 2008 r. w sprawie szczegółowych wymagań dotyczących rejestru zawierającego informacje o stanie akustycznym środowiska (Dz. U. nr 82, poz. 500),
- Rozporządzenie Ministra Środowiska z dnia 10 listopada 2010 r. w sprawie ustalania wartości wskaźnika hałasu L_{DWN} (Dz. U. z 2010r., nr 215, poz. 1414, z późn. zm.)
- **Metodyka akredytowana:** Rozporządzenie Ministra Środowiska z dnia 16 czerwca 2011 w sprawie wymagań w zakresie prowadzenia pomiarów poziomów substancji lub energii w środowisku przez zarządzającego drogą, linią kolejową, lotniskiem lub portem (Dz. U. Nr 140, poz. 824), Załącznik nr 1, z wyłączeniem punktu H.

Tabela 1. Zespół pomiarowy

| Lp. | Imię i nazwisko | Stanowisko służbowe | Podpis |
|-----|-----------------|--------------------------|---|
| 1 | Michał Bukala | Specjalista ds. Pomiarów |  |

3 Opis obiektu badań

- Obiekt pomiarów: Lotnisko Warszawa-Babice
- Zarządzający obiektem: Centrum Usług Logistycznych, ul. Słoneczna 37, 00-789 Warszawa
- Lokalizacja obiektu (ARP): Koordynaty geograficzne punktu odniesienia lotniska, odpowiadającego środkowi Głównej Drogi Startowej określone w światowym systemie geodezyjnym WGS - 84 wynoszą: N 52°16'09,06" E 20°54'25,98".

Poniżej przedstawiono typy statków powietrznych (wg kodów ICAO) obsługiwanych na Lotnisku Warszawa-Babice w okresie wykonywania pomiarów hałasu:

Tabela 2. Typy statków powietrznych obsługiwanych w porcie lotniczym w okresie objętym pomiarami

| | | | | | | | |
|---------|-------------|---------------------------|--------------|---------------------|------------------|-----------------------|-------------------------|
| AT3 | B06 | B407 | B412 | B427 | BE58 | Beech King Air 250 | Bristell |
| C- 150 | C 152 | C150 | C152 | C172 | C175 | C182 | C-206 |
| C-421 C | COL3 | Da - 20 | DA20 | DA42 | DV-20 KATANA | EC20 | EC30 |
| EC35 | EC45 | GA8 | Harvard II B | HU-269 Schweizer | K150 | M20D | Maule MX-7 |
| M18 | P06T | P68 | P68C | PA28 | PA34 | PC12 | Piper PA-46 - Meridi |
| PIVI | PS28 | PZL-110 KOLIBER 150 | R44 | R66 | RALL | S330 | SBACH -42 |
| SIRA | Socata TB21 | SR22 | TB9 | TBM700 | TECNAM T 2006 | TL96 | UF10 |
| UL45 | Virus 912 | Z-42M | ZODIAK | | | | |

4 Wymagania

Wymagania akustyczne, dotyczące dopuszczalnych poziomów hałasu w środowisku, określone są obecnie w Rozporządzeniu Ministra Środowiska z dnia 14 czerwca 2007 r. w sprawie dopuszczalnych poziomów hałasu w środowisku (Dz. U. Nr 120, poz. 826, z późn. zm.).

Tabela 3. Dopuszczalne poziomy hałasu w środowisku powodowanego przez starty, lądowania i przeloty statków powietrznych oraz linie elektroenergetyczne wyrażone wskaźnikami $L_{Aeq D}$ i $L_{Aeq N}$, które to wskaźniki mają zastosowanie do ustalania i kontroli warunków korzystania ze środowiska, w odniesieniu do jednej doby.

| Lp. | Rodzaj terenu | Dopuszczalny poziom hałasu [dB] | | | |
|-----|--|---|--|--|--|
| | | starty, lądowania i przeloty statków powietrznych | | | |
| | | $L_{Aeq D}$ | $L_{Aeq N}$ | L_{DWN} | L_N |
| | | Przedział czasu odniesienia równy 16 godzinom | Przedział czasu odniesienia równy 8 godzinom | Przedział czasu odniesienia równy wszystkim dobom w roku | Przedział czasu odniesienia równy wszystkim porom nocy |
| 1 | a) Strefa ochronna „A” uzdrowiska b) Tereny szpitali, domów opieki społecznej c) Tereny zabudowy związanej ze stałym lub czasowym pobytem dzieci i młodzieży ¹⁾ | 55 | 45 | 55 | 45 |
| 2 | a) Tereny zabudowy mieszkaniowej jedno- i wielorodzinnej oraz zabudowy zagrodowej i zamieszkania zbiorowego b) Tereny rekreacyjno-wypoczynkowe ¹⁾ c) Tereny mieszkaniowo-usługowe | 60 | 50 | 60 | 50 |
| | d) Tereny w strefie śródmiejskiej miast powyżej 100 tys. mieszkańców ²⁾ | | | | |

¹⁾ W przypadku niewykorzystania tych terenów, zgodnie z ich funkcją, w porze nocy nie obowiązuje na nich dopuszczalny poziom hałasu w porze nocy.
²⁾ Strefa śródmiejska miast powyżej 100 tys. mieszkańców to teren zwartej zabudowy mieszkaniowej z koncentracją obiektów administracyjnych, handlowych i usługowych.

5 Zastosowana metodyka

5.1 Ciągłe pomiary hałasu lotniczego

Pomiary hałasu zostały wykonane zgodnie z metodyką referencyjną zawartą w Rozporządzeniu Ministra Środowiska z dnia 16 czerwca 2011 w sprawie wymagań w zakresie prowadzenia pomiarów poziomów substancji lub energii w środowisku przez zarządzającego drogą, linią kolejową, lotniskiem lub portem (Dz. U. Nr 140, poz. 824), Załącznik nr 1.

5.2 Wielkości i parametry występujące w opracowaniu

Wielkościami mierzonymi i poddanymi analizie były:

- L_A [dB] – chwilowa wartość poziomu dźwięku A,
- L_{Aeq} [dB] – wartość równoważnego poziomu dźwięku dla danego mierzonego zdarzenia akustycznego,
- L_{Amax} [dB] – maksymalna wartość poziomu dźwięku dla danego mierzonego zdarzenia akustycznego,
- L_{AE} [dB] – wartość poziomu ekspozycji dla danego mierzonego zdarzenia akustycznego,
- L_{AEsr} [dB] – średnia wartość poziomu ekspozycji dla wszystkich zmierzonych w punkcie pomiarowym zdarzeń akustycznych,
- L_{AEk} [dB] – średnia wartość poziomu ekspozycji dla klasy mierzonych zdarzeń akustycznych,

- L_{DWN} [dB] – długookresowy wskaźnik hałasu,
- L_N [dB] – długookresowy średni poziom dźwięku A dla pory nocy,
- L_{AeqD} [dB] – równoważny poziom dźwięku A dla pory dnia, wyznaczona dla jednej doby bądź okresu pomiaru,
- L_{AeqN} [dB] – równoważny poziom dźwięku A dla pory nocy, wyznaczony dla jednej doby bądź okresu pomiaru.

6 Punkty pomiarowe

Pomiary przeprowadzono w 2 punktach pomiarowych. W każdym z nich przeprowadzono ciągły pomiar równoważnego poziomu dźwięku $L_{Aeq,T}$. W punkcie pomiarowym PP.2 przeprowadzono równolegle rejestrację warunków meteorologicznych: temperatury, wilgotności względnej, ciśnienia atmosferycznego, kierunku i prędkości wiatru.

Punkty pomiarowe zlokalizowano:

- PP.1: na obszarze Instytutu Ochrony Środowiska ul. Kolektorska 4 w Warszawie
- PP.2: teren na granicy lotniska ze zwartą zabudową jednorodziną

Punkty pomiarowe zlokalizowane są w otoczeniu zabudowy mieszkaniowej jednorodzinnej.

Tabela 4. Lokalizacja punktów pomiarowych

| Punkt pomiarowy | Współrzędne geograficzne punktu pomiarowego | | | | | | Wysokość względna [m] |
|-----------------|---|----|-------|----------------------|----|-------|-----------------------|
| | Szerokość geograficzna | | | Długość geograficzna | | | |
| | ° | ' | " | ° | ' | " | |
| PP.1 | 52 | 16 | 25,0 | 20 | 58 | 18,0 | 4 |
| PP.2 | 52 | 15 | 47,75 | 20 | 54 | 29,94 | 4 |

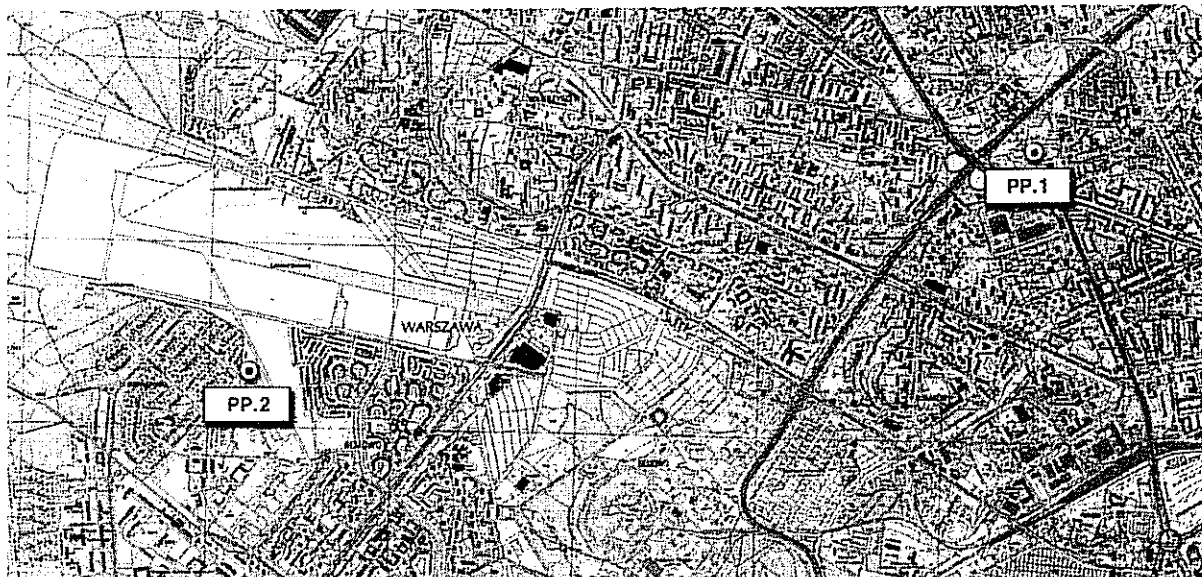
Szkie lokalizacji punktów pomiarowych:



Rys. 1. Lokalizacja PP.1.



Rys. 2. Lokalizacja PP. 2.



Rys. 3. Lokalizacja punktów pomiarowych PP.1 i PP.2

7 Przyrządy pomiarowe

Do pomiarów hałasu oraz wielkości pomocniczych wykorzystano następującą aparaturę:

- PP.1 – stacja automatycznego monitoringu hałasu, w skład której wchodzi miernik SVAN 959 nr 21204, obudowa SV 210 C nr 10479 oraz mikrofon z przedwzmacniaczem G.R.A.S. 41AM nr 116486, świadectwo wzorcowania nr 164/02/2013 z 2013-08-30 przez Laboratorium Wzorcujące SVANTEK,
- PP.2 – miernik poziomu dźwięku SVAN 959 nr 23742 świadectwo wzorcowania nr 312/02/2014 z 2014-10-01 przez Laboratorium Wzorcujące SVANTEK, obudowa SV 210 C nr 10408 oraz mikrofon G.R.A.S. 40AE nr 159518 z przedwzmacniaczem SV 12L nr 29839, termohigrobarometr SV 205 MT/03, świadectwo wzorcowania nr 27411/2012 wydane 26.06.2012 przez akredytowane Laboratorium Wilgotności Temperatury i Ciśnienia LAB-EL, wiatromierz GILL WindSonic MT/04, świadectwo wzorcowania nr 395/A/12 wydane 27.06.2012 przez Laboratorium Wzorcujące Wentylacyjne Przyrządy Pomiarowe Instytutu Mechaniki Górotworu PAN,
- Kalibrator akustyczny G.R.A.S 42AB 31816, świadectwo wzorcowania 334/01/2016 z 2016-06-20 wydane przez Laboratorium Wzorcujące SVANTEK,
- Odbiornik GPS Garmin eTrex Legend HCx PD/03,
- Dalmierz laserowy Stanley TLM 210i PD/02.

8 Wyniki pomiarów

8.1 Sprawdzenie okresowe

W okresie objętym pomiarami wykonano okresowe sprawdzenia toru pomiarowego korzystając z kalibratora akustycznego. Wyniki kontroli przedstawia Tabela 5.

Tabela 5. Wyniki sprawdzeń okresowych

| Nr przyrządu | Data sprawdzenia | Wynik sprawdzenia [dB] | Poziom odniesienia [dB] |
|----------------------|------------------|------------------------|-------------------------|
| SVAN 959 nr 21204 | 01.11.2016 | 113,8 | 113,9 |
| | 15.11.2016 | 113,9 | |
| SVAN 959 nr 23742 | 01.11.2016 | 113,9 | |
| | 15.11.2016 | 113,9 | |

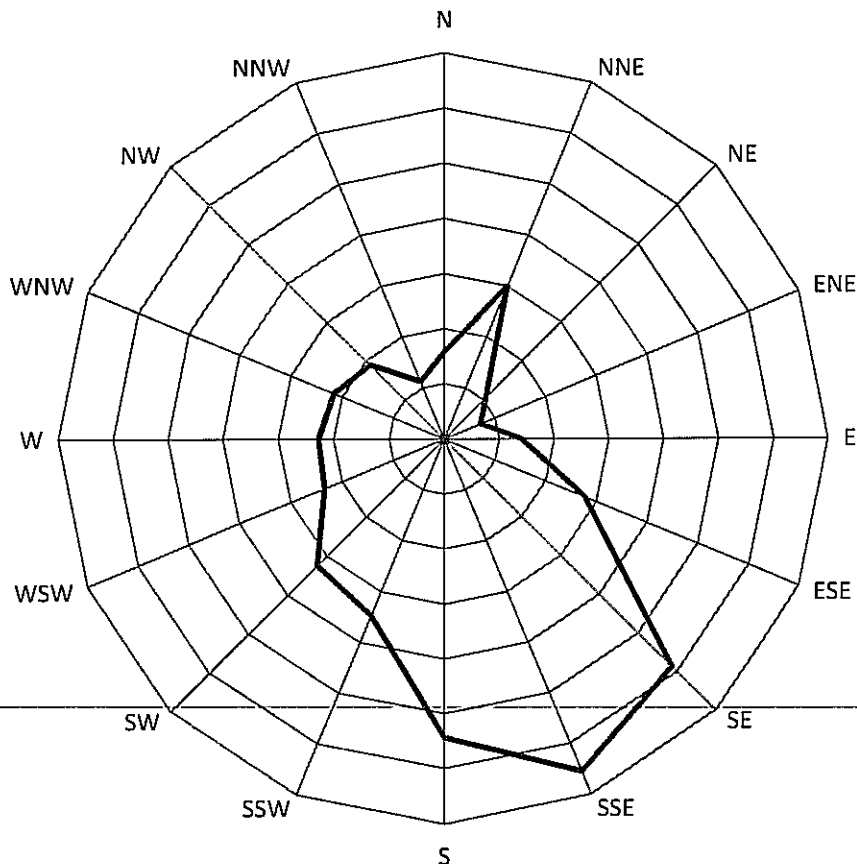
8.2 Opis sytuacji mających wpływ na wyniki pomiarów dźwięku

| | |
|--|--|
| Remonty dróg startowych | - |
| Wykorzystywanie nietypowych tras dolotowych i odlotowych | - |
| Brak lotów | - |
| Operacje nietypowych na lotnisku statków powietrznych | - |
| Brak danych pomiarowych | - |
| Warunki atmosferyczne przekraczające warunki dopuszczalne dla pomiarów | Wyniki pomiarów uzyskane w czasie, gdy warunki meteorologiczne nie spełniały wymagań metodyki referencyjnej zaznaczono w tabelach wyników. |
| Inne | - |

8.3 Pomiar warunków meteorologicznych

Tabela 6. Warunki meteorologiczne

| | Wartości maksymalne | Wartości minimalne | Wartości średnie |
|-------------------------------|---------------------|--------------------|------------------|
| Wysokość pomiaru [m] | 3,5 | | |
| Temperatura otoczenia [°C] | 13,7 | -4 | 3,8 |
| Ciśnienie atmosferyczne [hPa] | 1022 | 957 | 971 |
| Wilgotność względna [%] | 100 | 0 | 73 |
| Prędkość wiatru [m/s] | 7,8 | 0 | 1,3 |
| Uwagi: | - | | |



Rys. 4. Miesięczna róża wiatrów

8.4 Pomiar poziomu ekspozycji na hałas

Jeśli warunki meteorologiczne występujące w trakcie trwania zdarzenia akustycznego nie spełniały wymagań metodyki referencyjnej, zdarzenie to zostało oznaczone symbolem ☒ w rubryce „Warunki meteo”, a jego poziom ekspozycji L_{AE} nie został uwzględniony w dalszych obliczeniach.

Tabela 7. Wyniki pomiarów poziomu dźwięku dla poszczególnych zdarzeń akustycznych w ciągu miesiąca w punkcie pomiarowym PP.1.

| Lp. | Data | Godzina | Typ statku powietrznego | Próg RWY | Typ operacji lotniczej | Warunki meteo | Zakłócenia | L_{Aeq} [dB] | L_{Amax} [dB] | L_{AE} [dB] |
|-----|------------|---------|-------------------------|----------|------------------------|---------------|------------|----------------|-----------------|---------------|
| 1 | 01.11.2016 | 12:56 | B412 | - | ładowanie | | | 62,8 | 71,5 | 81,3 |
| 2 | 02.11.2016 | 08:47 | C152 | 28 | ładowanie | | | 55,5 | 61,9 | 70,4 |
| 3 | 02.11.2016 | 09:07 | PC12 | 28 | ładowanie | | | 64,2 | 70,0 | 78,9 |
| 4 | 02.11.2016 | 09:17 | C152 | 28 | ładowanie | | | 59,7 | 65,0 | 76,0 |
| 5 | 02.11.2016 | 12:42 | EC30 | 28 | ładowanie | | | 64,2 | 71,7 | 80,9 |
| 6 | 02.11.2016 | 14:09 | C172 | 28 | ładowanie | | | 58,4 | 61,5 | 73,0 |
| 7 | 02.11.2016 | 16:28 | PS28 | 28 | ładowanie | | | 55,9 | 58,0 | 70,8 |
| 8 | 02.11.2016 | 17:17 | C152 | 28 | ładowanie | | | 55,9 | 59,3 | 70,8 |
| 9 | 02.11.2016 | 18:08 | PC12 | 28 | ładowanie | | | 62,3 | 68,2 | 78,2 |



| Lp. | Data | Godzina | Typ statku powietrznego | Próg RWY | Typ operacji lotniczej | Warunki meteo | Zakłócenia | L _{Aeq} [dB] | L _{Amax} [dB] | L _{AE} [dB] |
|---------------|-----------------------|------------------|-------------------------|---------------|------------------------|---------------|------------|-----------------------|------------------------|----------------------|
| 10 | 02.11.2016 | 21:06 | BE58 | 28 | ładowanie | | | 60,4 | 66,3 | 77,1 |
| 11 | 02.11.2016 | 22:22 | EC35 | 28 | ładowanie | | | 61,7 | 71,7 | 80,1 |
| 12 | 03.11.2016 | 10:44 | EC30 | 10 | start | | | 59,2 | 65,6 | 75,9 |
| 13 | 03.11.2016 | 11:36 | EC35 | 10 | start | | | 64,5 | 76,5 | 80,9 |
| 14 | 03.11.2016 | 13:51 | C152 | 10 | start | | | 60,9 | 67,0 | 77,5 |
| 15 | 03.11.2016 | 13:58 | EC35 | 10 | start | | | 59,9 | 64,6 | 75,6 |
| 16 | 03.11.2016 | 14:06 | EC35 | 28 | ładowanie | | | 59,4 | 66,1 | 75,8 |
| 17 | 03.11.2016 | 14:14 | M18 | 10 | start | | | 59,2 | 66,2 | 76,3 |
| 18 | 03.11.2016 | 14:24 | C152 | 28 | ładowanie | | | 61,6 | 71,5 | 78,0 |
| 19 | 03.11.2016 | 14:32 | EC35 | 28 | ładowanie | | | 60,2 | 65,9 | 75,7 |
| 20 | 03.11.2016 | 14:34 | EC35 | 28 | ładowanie | | | 63,8 | 72,2 | 81,7 |
| 21 | 03.11.2016 | 14:51 | EC35 | 28 | ładowanie | | | 64,6 | 71,2 | 80,6 |
| 22 | 03.11.2016 | 14:56 | M18 | 28 | ładowanie | | | 62,6 | 68,5 | 80,5 |
| 23 | 03.11.2016 | 15:01 | EC35 | 28 | ładowanie | | | 62,2 | 67,7 | 78,7 |
| 24 | 03.11.2016 | 16:26 | EC35 | 28 | ładowanie | | | 60,7 | 69,3 | 78,4 |
| 25 | 03.11.2016 | 16:44 | EC35 | 28 | ładowanie | | | 62,5 | 70,7 | 80,2 |
| 26 | 03.11.2016 | 17:09 | EC35 | 28 | ładowanie | | | 64,3 | 69,3 | 81,6 |
| 27 | 03.11.2016 | 17:18 | M18 | 28 | ładowanie | | | 64,0 | 72,6 | 82,7 |
| 28 | 03.11.2016 | 17:20 | EC35 | 28 | ładowanie | | | 57,5 | 63,3 | 75,3 |
| 29 | 03.11.2016 | 17:30 | M18 | 28 | ładowanie | | | 65,2 | 70,7 | 83,5 |
| 30 | 03.11.2016 | 17:32 | PC12 | 28 | ładowanie | | | 60,6 | 67,2 | 77,8 |
| 31 | 03.11.2016 | 17:32 | EC35 | 28 | ładowanie | | | 60,9 | 69,8 | 77,7 |
| 32 | 03.11.2016 | 17:41 | EC35 | 28 | ładowanie | | | 60,0 | 67,8 | 77,4 |
| 33 | 03.11.2016 | 21:58 | EC35 | 28 | ładowanie | | | 57,9 | 65,3 | 76,4 |
| 34 | 04.11.2016 | 08:49 | C152 | 10 | start | | | 56,0 | 62,6 | 68,1 |
| 35 | 04.11.2016 | 09:47 | C152 | 10 | start | | | 61,6 | 69,0 | 79,9 |
| 36 | 04.11.2016 | 10:19 | C172 | 10 | start | | | 55,8 | 58,6 | 70,1 |
| 37 | 04.11.2016 | 10:22 | P06T | 28 | ładowanie | | | 56,7 | 60,6 | 71,3 |
| 38 | 04.11.2016 | 11:53 | EC35 | - | ładowanie | | | 60,4 | 67,9 | 76,4 |
| 39 | 04.11.2016 | 12:10 | RALL | - | start | | | 56,7 | 61,3 | 71,5 |
| 40 | 04.11.2016 | 12:17 | RALL | - | ładowanie | | | 54,9 | 58,9 | 71,1 |
| 41 | 04.11.2016 | 13:34 | EC35 | - | ładowanie | | | 57,6 | 63,9 | 75,7 |
| 42 | 04.11.2016 | 13:38 | EC35 | - | start | | | 58,2 | 66,2 | 76,2 |
| 43 | 04.11.2016 | 13:43 | EC35 | - | ładowanie | | | 57,2 | 64,2 | 74,4 |
| 44 | 04.11.2016 | 13:52 | EC35 | - | ładowanie | | | 57,9 | 63,5 | 74,7 |
| 45 | 04.11.2016 | 16:18 | P68 | - | start | | | 53,3 | 56,4 | 68,3 |
| 46 | 04.11.2016 | 17:44 | EC35 | - | ładowanie | | | 61,4 | 67,5 | 78,1 |
| 47 | 05.11.2016 | 08:12 | EC35 | 10 | start | ☒ | | 53,3 | 60,1 | 70,0 |
| 48 | 05.11.2016 | 08:45 | C152 | 10 | start | ☒ | | 57,1 | 61,9 | 72,2 |
| 49 | 05.11.2016 | 08:50 | C152 | 28 | ładowanie | ☒ | | 56,1 | 63,8 | 72,1 |
| 50 | 05.11.2016 | 08:55 | C182 | 28 | ładowanie | ☒ | | 57,0 | 63,4 | 72,6 |
| 51 | 05.11.2016 | 09:02 | C182 | 10 | start | ☒ | | 63,8 | 72,3 | 79,3 |

| Lp. | Data | Godzina | Typ statku powietrznego | Próg RWY | Typ operacji lotniczej | Warunki meteo | Zakłócenia | L _{Aeq} [dB] | L _{Amax} [dB] | L _{AE} [dB] |
|-----|------------|---------|-------------------------|----------|------------------------|-------------------------------------|------------|-----------------------|------------------------|----------------------|
| 52 | 05.11.2016 | 09:59 | C172 | 10 | start | <input checked="" type="checkbox"/> | | 56,5 | 62,8 | 72,2 |
| 53 | 05.11.2016 | 10:11 | C172 | 10 | start | <input checked="" type="checkbox"/> | | 52,6 | 57,2 | 68,1 |
| 54 | 05.11.2016 | 10:37 | C172 | 10 | start | <input checked="" type="checkbox"/> | | 55,7 | 58,9 | 71,4 |
| 55 | 05.11.2016 | 10:46 | C172 | 10 | start | <input checked="" type="checkbox"/> | | 57,2 | 63,2 | 73,1 |
| 56 | 05.11.2016 | 10:55 | C150 | 10 | start | <input checked="" type="checkbox"/> | | 56,0 | 62,2 | 72,3 |
| 57 | 05.11.2016 | 11:05 | C150 | 10 | start | <input checked="" type="checkbox"/> | | 56,9 | 63,2 | 73,1 |
| 58 | 05.11.2016 | 11:08 | Bristell | 10 | start | <input checked="" type="checkbox"/> | | 55,8 | 62,8 | 73,0 |
| 59 | 05.11.2016 | 11:13 | PS28 | 10 | start | | | 55,1 | 62,4 | 72,0 |
| 60 | 05.11.2016 | 11:14 | C172 | 10 | start | | | 53,7 | 58,8 | 69,3 |
| 61 | 05.11.2016 | 11:19 | C152 | 28 | ładowanie | | | 58,2 | 64,4 | 73,5 |
| 62 | 05.11.2016 | 11:25 | C172 | 10 | start | | | 62,3 | 69,9 | 77,5 |
| 63 | 05.11.2016 | 11:45 | C150 | 10 | start | | | 54,1 | 60,4 | 70,8 |
| 64 | 05.11.2016 | 12:08 | C172 | 10 | start | | | 56,1 | 62,2 | 71,7 |
| 65 | 05.11.2016 | 12:09 | C150 | 10 | start | | | 57,0 | 62,5 | 73,3 |
| 66 | 05.11.2016 | 12:12 | RALL | 10 | start | | | 57,1 | 63,8 | 73,5 |
| 67 | 05.11.2016 | 12:13 | C172 | 10 | start | | | 54,8 | 59,4 | 69,6 |
| 68 | 05.11.2016 | 12:13 | C172 | 10 | start | | | 59,3 | 68,1 | 75,5 |
| 69 | 05.11.2016 | 12:18 | C152 | 10 | start | | | 56,0 | 62,0 | 72,9 |
| 70 | 05.11.2016 | 12:22 | C152 | 10 | start | | | 57,2 | 64,1 | 73,0 |
| 71 | 05.11.2016 | 12:32 | C150 | 10 | start | | | 56,5 | 62,5 | 73,4 |
| 72 | 05.11.2016 | 12:44 | C172 | 10 | start | | | 55,7 | 61,8 | 71,3 |
| 73 | 05.11.2016 | 12:49 | TB9 | 10 | start | | | 56,0 | 63,5 | 73,2 |
| 74 | 05.11.2016 | 13:07 | PA28 | 10 | start | <input checked="" type="checkbox"/> | | 55,0 | 61,2 | 70,4 |
| 75 | 05.11.2016 | 13:16 | PA28 | 10 | start | <input checked="" type="checkbox"/> | | 54,6 | 60,1 | 69,8 |
| 76 | 05.11.2016 | 13:17 | C172 | 10 | start | <input checked="" type="checkbox"/> | | 55,0 | 60,0 | 71,0 |
| 77 | 05.11.2016 | 13:24 | PA28 | 10 | start | <input checked="" type="checkbox"/> | | 55,8 | 61,8 | 70,9 |
| 78 | 05.11.2016 | 13:30 | AT3 | 10 | start | <input checked="" type="checkbox"/> | | 53,2 | 57,0 | 69,2 |
| 79 | 05.11.2016 | 13:41 | C182 | 10 | start | <input checked="" type="checkbox"/> | | 55,8 | 63,6 | 71,9 |
| 80 | 05.11.2016 | 13:45 | C150 | 10 | start | <input checked="" type="checkbox"/> | | 54,3 | 60,1 | 70,1 |
| 81 | 05.11.2016 | 13:57 | C150 | 10 | start | <input checked="" type="checkbox"/> | | 54,7 | 58,6 | 70,4 |
| 82 | 05.11.2016 | 14:07 | C152 | 10 | start | <input checked="" type="checkbox"/> | | 53,3 | 57,7 | 69,4 |
| 83 | 05.11.2016 | 14:09 | P06T | 10 | start | <input checked="" type="checkbox"/> | | 52,6 | 55,4 | 68,3 |
| 84 | 05.11.2016 | 14:18 | C172 | 10 | start | <input checked="" type="checkbox"/> | | 58,4 | 63,9 | 74,1 |
| 85 | 05.11.2016 | 14:24 | C150 | 10 | start | <input checked="" type="checkbox"/> | | 62,0 | 66,8 | 78,6 |
| 86 | 05.11.2016 | 14:28 | C152 | 10 | start | <input checked="" type="checkbox"/> | | 53,8 | 58,3 | 69,6 |
| 87 | 05.11.2016 | 15:07 | SBACH -42 | 10 | start | <input checked="" type="checkbox"/> | | 58,2 | 66,0 | 73,5 |
| 88 | 05.11.2016 | 15:41 | PS28 | 10 | start | <input checked="" type="checkbox"/> | | 55,5 | 59,8 | 70,3 |
| 89 | 05.11.2016 | 15:49 | C152 | 10 | start | <input checked="" type="checkbox"/> | | 56,8 | 61,5 | 72,0 |
| 90 | 05.11.2016 | 17:54 | C152 | 10 | start | <input checked="" type="checkbox"/> | | 58,4 | 69,2 | 73,0 |
| 91 | 05.11.2016 | 18:23 | C152 | 10 | start | <input checked="" type="checkbox"/> | | 52,6 | 56,5 | 68,0 |
| 92 | 05.11.2016 | 18:32 | C152 | 10 | start | <input checked="" type="checkbox"/> | | 53,8 | 58,1 | 69,6 |
| 93 | 05.11.2016 | 18:42 | EC35 | 10 | start | <input checked="" type="checkbox"/> | | 53,1 | 57,6 | 69,4 |



| Lp. | Data | Godzina | Typ statku powietrznego | Próg RWY | Typ operacji lotniczej | Warunki meteo | Zakłócenia | L _{Aeq} [dB] | L _{Amax} [dB] | L _{AE} [dB] |
|-----|------------|---------|-------------------------|----------|------------------------|-------------------------------------|------------|-----------------------|------------------------|----------------------|
| 94 | 05.11.2016 | 19:32 | C152 | 10 | start | <input checked="" type="checkbox"/> | | 52,2 | 56,6 | 68,1 |
| 95 | 05.11.2016 | 19:42 | C152 | 10 | start | <input checked="" type="checkbox"/> | | 53,5 | 58,4 | 70,4 |
| 96 | 06.11.2016 | 16:28 | PA34 | 28 | ładowanie | <input checked="" type="checkbox"/> | | 54,7 | 61,9 | 72,3 |
| 97 | 07.11.2016 | 12:41 | EC35 | 28 | ładowanie | <input checked="" type="checkbox"/> | | 59,9 | 67,2 | 76,1 |
| 98 | 07.11.2016 | 16:14 | R44 | 28 | ładowanie | <input checked="" type="checkbox"/> | | 57,5 | 63,6 | 74,6 |
| 99 | 07.11.2016 | 16:24 | PA34 | 28 | ładowanie | <input checked="" type="checkbox"/> | | 57,5 | 63,0 | 73,6 |
| 100 | 08.11.2016 | 05:29 | PA34 | 10 | start | <input checked="" type="checkbox"/> | | 63,4 | 72,9 | 78,6 |
| 101 | 08.11.2016 | 08:58 | R44 | 10 | start | <input checked="" type="checkbox"/> | | 61,9 | 68,4 | 77,5 |
| 102 | 08.11.2016 | 12:46 | C182 | 10 | start | | | 56,3 | 63,5 | 71,8 |
| 103 | 08.11.2016 | 12:47 | HU-269 Schweizer | 10 | start | | | 59,2 | 65,3 | 75,2 |
| 104 | 08.11.2016 | 12:53 | C152 | 10 | start | | | 57,7 | 61,7 | 74,4 |
| 105 | 08.11.2016 | 13:06 | C150 | 10 | start | | | 54,5 | 61,1 | 70,9 |
| 106 | 08.11.2016 | 13:15 | C150 | 10 | start | | | 55,8 | 61,2 | 72,1 |
| 107 | 08.11.2016 | 13:23 | C152 | 10 | start | | | 56,9 | 61,8 | 72,3 |
| 108 | 08.11.2016 | 13:25 | PS28 | 10 | start | | | 57,6 | 63,5 | 74,3 |
| 109 | 08.11.2016 | 13:28 | PS28 | 10 | start | | | 55,2 | 59,6 | 70,9 |
| 110 | 08.11.2016 | 13:38 | C152 | 10 | start | | | 55,3 | 59,2 | 70,1 |
| 111 | 08.11.2016 | 13:40 | C152 | 10 | start | | | 53,7 | 56,7 | 68,3 |
| 112 | 08.11.2016 | 13:41 | PS28 | 10 | start | | | 54,9 | 60,1 | 71,1 |
| 113 | 08.11.2016 | 13:47 | C150 | 10 | start | | | 54,9 | 59,0 | 70,2 |
| 114 | 08.11.2016 | 13:50 | P06T | 10 | start | | | 53,8 | 57,8 | 68,7 |
| 115 | 08.11.2016 | 14:12 | C172 | 10 | start | | | 55,9 | 61,3 | 70,8 |
| 116 | 08.11.2016 | 14:20 | PS28 | 10 | start | | | 56,6 | 60,0 | 71,9 |
| 117 | 08.11.2016 | 14:22 | SIRA | 10 | start | | | 54,7 | 58,8 | 70,8 |
| 118 | 08.11.2016 | 14:40 | C152 | 28 | ładowanie | | | 54,6 | 60,0 | 70,9 |
| 119 | 08.11.2016 | 14:44 | C182 | 28 | ładowanie | | | 54,3 | 60,9 | 69,7 |
| 120 | 08.11.2016 | 14:48 | C152 | 28 | ładowanie | | | 58,4 | 66,0 | 75,4 |
| 121 | 08.11.2016 | 14:57 | R66 | 10 | start | | | 55,6 | 60,0 | 72,0 |
| 122 | 08.11.2016 | 15:02 | RALL | 10 | start | | | 61,0 | 67,4 | 77,9 |
| 123 | 08.11.2016 | 15:08 | PS28 | 10 | start | | | 56,5 | 61,4 | 72,6 |
| 124 | 08.11.2016 | 15:09 | C152 | 10 | start | | | 58,6 | 62,7 | 73,2 |
| 125 | 08.11.2016 | 15:12 | C182 | 10 | start | | | 55,1 | 60,4 | 71,2 |
| 126 | 08.11.2016 | 15:19 | C-150 | 10 | start | | | 58,1 | 62,6 | 73,4 |
| 127 | 08.11.2016 | 15:19 | PS28 | 28 | ładowanie | | | 56,4 | 60,5 | 71,2 |
| 128 | 08.11.2016 | 15:22 | RALL | 28 | ładowanie | | | 59,1 | 65,4 | 75,0 |
| 129 | 08.11.2016 | 15:29 | C150 | 28 | ładowanie | | | 56,6 | 59,9 | 70,8 |
| 130 | 08.11.2016 | 15:38 | C152 | 28 | ładowanie | | | 63,6 | 72,8 | 81,1 |
| 131 | 08.11.2016 | 15:41 | C150 | 28 | ładowanie | | | 57,1 | 62,2 | 73,4 |
| 132 | 08.11.2016 | 15:42 | C152 | 28 | ładowanie | | | 56,1 | 60,4 | 73,4 |
| 133 | 08.11.2016 | 15:52 | Bristell | 28 | ładowanie | | | 62,5 | 68,8 | 80,5 |
| 134 | 08.11.2016 | 16:31 | EC35 | 10 | start | | | 57,2 | 63,2 | 74,2 |

| Lp. | Data | Godzina | Typ statku powietrznego | Próg RWY | Typ operacji lotniczej | Warunki meteo | Zakłócenia | L _{Aeq} [dB] | L _{Amax} [dB] | L _{AE} [dB] |
|-----|------------|---------|-------------------------|----------|------------------------|---------------|------------|-----------------------|------------------------|----------------------|
| 135 | 08.11.2016 | 16:53 | EC35 | 10 | start | | | 57,0 | 62,7 | 75,1 |
| 136 | 08.11.2016 | 16:55 | EC35 | 10 | start | | | 54,2 | 57,1 | 71,8 |
| 137 | 08.11.2016 | 17:05 | EC35 | 10 | start | | | 55,3 | 58,9 | 71,7 |
| 138 | 08.11.2016 | 17:16 | PA28 | 10 | start | ☒ | | 55,5 | 60,1 | 71,9 |
| 139 | 08.11.2016 | 17:40 | EC35 | 10 | start | ☒ | | 55,9 | 60,9 | 73,8 |
| 140 | 08.11.2016 | 17:45 | C152 | 10 | start | ☒ | | 55,7 | 59,0 | 71,7 |
| 141 | 08.11.2016 | 17:51 | C- 150 | 10 | start | ☒ | | 55,9 | 61,9 | 73,5 |
| 142 | 08.11.2016 | 17:52 | C152 | 10 | start | ☒ | | 56,2 | 60,9 | 71,8 |
| 143 | 08.11.2016 | 17:55 | C152 | 10 | start | ☒ | | 54,3 | 58,4 | 70,5 |
| 144 | 08.11.2016 | 18:01 | EC35 | 10 | start | ☒ | | 55,7 | 59,4 | 73,1 |
| 145 | 08.11.2016 | 18:04 | C152 | 10 | start | ☒ | | 55,6 | 59,4 | 71,4 |
| 146 | 08.11.2016 | 18:14 | C152 | 10 | start | ☒ | | 56,4 | 60,2 | 72,7 |
| 147 | 08.11.2016 | 18:23 | C152 | 10 | start | ☒ | | 55,5 | 59,4 | 71,4 |
| 148 | 08.11.2016 | 18:32 | C152 | 10 | start | ☒ | | 56,1 | 59,2 | 71,3 |
| 149 | 08.11.2016 | 18:38 | C152 | 10 | start | ☒ | | 55,0 | 60,1 | 71,4 |
| 150 | 08.11.2016 | 19:08 | C152 | 10 | start | ☒ | | 54,0 | 58,4 | 69,1 |
| 151 | 08.11.2016 | 19:29 | C152 | 10 | start | | | 55,8 | 58,8 | 72,3 |
| 152 | 08.11.2016 | 19:37 | C152 | 10 | start | ☒ | | 63,2 | 69,1 | 79,6 |
| 153 | 08.11.2016 | 19:48 | C152 | 10 | start | ☒ | | 53,5 | 56,1 | 68,6 |
| 154 | 10.11.2016 | 09:11 | PA34 | 28 | ładowanie | ☒ | | 61,1 | 70,9 | 76,6 |
| 155 | 10.11.2016 | 10:32 | PS28 | 10 | start | ☒ | | 60,3 | 65,7 | 75,7 |
| 156 | 10.11.2016 | 10:42 | C152 | 10 | start | ☒ | | 55,2 | 60,6 | 69,3 |
| 157 | 10.11.2016 | 11:01 | PS28 | 10 | start | ☒ | | 65,6 | 71,1 | 83,1 |
| 158 | 10.11.2016 | 11:25 | PS28 | 10 | start | ☒ | | 61,6 | 65,4 | 77,8 |
| 159 | 10.11.2016 | 11:51 | R44 | 10 | start | ☒ | | 59,3 | 65,3 | 75,2 |
| 160 | 10.11.2016 | 11:52 | EC35 | 28 | ładowanie | ☒ | | 58,4 | 64,2 | 74,7 |
| 161 | 10.11.2016 | 11:55 | PS28 | 28 | ładowanie | ☒ | | 57,6 | 62,3 | 73,1 |
| 162 | 10.11.2016 | 12:18 | C172 | 28 | ładowanie | ☒ | | 62,4 | 66,5 | 78,3 |
| 163 | 10.11.2016 | 12:34 | EC35 | 28 | ładowanie | ☒ | | 65,6 | 73,3 | 82,5 |
| 164 | 10.11.2016 | 13:33 | EC35 | 10 | start | ☒ | | 58,5 | 65,9 | 74,3 |
| 165 | 10.11.2016 | 13:48 | EC35 | 28 | ładowanie | ☒ | | 59,4 | 66,6 | 76,6 |
| 166 | 10.11.2016 | 14:21 | EC35 | 28 | ładowanie | ☒ | | 63,0 | 69,4 | 80,0 |
| 167 | 10.11.2016 | 14:33 | P06T | 28 | ładowanie | ☒ | | 62,0 | 69,8 | 79,3 |
| 168 | 10.11.2016 | 14:50 | PS28 | 28 | ładowanie | ☒ | | 57,3 | 62,0 | 74,5 |
| 169 | 10.11.2016 | 15:21 | EC35 | 28 | ładowanie | ☒ | | 59,9 | 68,2 | 75,7 |
| 170 | 10.11.2016 | 15:29 | EC35 | 28 | ładowanie | ☒ | | 56,5 | 62,7 | 73,9 |
| 171 | 10.11.2016 | 15:40 | P06T | 28 | ładowanie | ☒ | | 55,8 | 61,2 | 73,5 |
| 172 | 10.11.2016 | 15:46 | C182 | 10 | start | ☒ | | 56,0 | 61,3 | 72,5 |
| 173 | 10.11.2016 | 16:02 | C182 | 28 | ładowanie | ☒ | | 56,6 | 61,6 | 73,0 |
| 174 | 10.11.2016 | 16:09 | EC35 | 28 | ładowanie | ☒ | | 59,7 | 66,3 | 76,1 |
| 175 | 10.11.2016 | 16:18 | C182 | 28 | ładowanie | ☒ | | 55,7 | 61,7 | 72,9 |
| 176 | 10.11.2016 | 16:26 | EC35 | 28 | ładowanie | ☒ | | 57,3 | 63,4 | 73,5 |



| Lp. | Data | Godzina | Typ statku powietrznego | Próg RWY | Typ operacji lotniczej | Warunki meteo | Zakłócenia | L _{Aeq} [dB] | L _{Amax} [dB] | L _{AE} [dB] |
|-----|------------|---------|-------------------------|----------|------------------------|---------------|------------|-----------------------|------------------------|----------------------|
| 177 | 10.11.2016 | 16:34 | C182 | 28 | ładowanie | ☒ | | 58,8 | 65,0 | 75,1 |
| 178 | 10.11.2016 | 17:47 | EC35 | 10 | start | ☒ | | 58,4 | 64,3 | 76,2 |
| 179 | 10.11.2016 | 18:06 | EC35 | 10 | start | ☒ | | 57,9 | 62,9 | 73,9 |
| 180 | 10.11.2016 | 19:26 | C172 | 28 | ładowanie | ☒ | | 59,6 | 64,7 | 75,8 |
| 181 | 11.11.2016 | 12:52 | EC20 | 10 | start | ☒ | | 58,1 | 64,1 | 74,4 |
| 182 | 11.11.2016 | 15:04 | EC20 | 28 | ładowanie | ☒ | | 59,7 | 67,9 | 75,4 |
| 183 | 11.11.2016 | 15:43 | B412 | 28 | ładowanie | ☒ | | 67,2 | 73,7 | 85,4 |
| 184 | 12.11.2016 | 13:06 | EC35 | 10 | start | ☒ | | 57,7 | 61,8 | 73,9 |
| 185 | 12.11.2016 | 13:12 | C150 | 10 | start | ☒ | | 58,1 | 62,2 | 74,4 |
| 186 | 12.11.2016 | 13:31 | Maule MX-7 | 10 | start | ☒ | | 57,3 | 61,9 | 74,0 |
| 187 | 12.11.2016 | 13:33 | EC35 | 10 | start | ☒ | | 53,3 | 57,8 | 69,4 |
| 188 | 12.11.2016 | 13:35 | C175 | 10 | start | ☒ | | 59,1 | 66,2 | 73,6 |
| 189 | 12.11.2016 | 13:39 | C150 | 10 | start | ☒ | | 59,5 | 65,8 | 74,2 |
| 190 | 12.11.2016 | 13:41 | EC35 | 10 | start | ☒ | | 57,4 | 64,4 | 74,8 |
| 191 | 12.11.2016 | 13:50 | C152 | 10 | start | ☒ | | 55,8 | 60,3 | 71,6 |
| 192 | 12.11.2016 | 14:00 | C175 | 10 | start | ☒ | | 55,4 | 58,6 | 71,4 |
| 193 | 12.11.2016 | 14:01 | EC35 | 10 | start | ☒ | | 58,1 | 61,7 | 72,7 |
| 194 | 12.11.2016 | 14:08 | AT3 | 10 | start | ☒ | | 56,0 | 59,4 | 71,9 |
| 195 | 12.11.2016 | 14:14 | EC35 | 10 | start | ☒ | | 58,8 | 65,5 | 74,9 |
| 196 | 12.11.2016 | 14:15 | C172 | 10 | start | ☒ | | 54,6 | 58,1 | 69,8 |
| 197 | 12.11.2016 | 14:17 | C152 | 10 | start | | | 56,1 | 60,2 | 72,7 |
| 198 | 12.11.2016 | 14:21 | C172 | 10 | start | ☒ | | 58,8 | 62,8 | 74,5 |
| 199 | 12.11.2016 | 14:30 | AT3 | 10 | start | ☒ | | 57,0 | 61,8 | 72,6 |
| 200 | 12.11.2016 | 14:38 | AT3 | 10 | start | ☒ | | 58,1 | 63,8 | 75,2 |
| 201 | 12.11.2016 | 14:40 | C152 | 10 | start | ☒ | | 55,1 | 57,7 | 71,1 |
| 202 | 12.11.2016 | 14:41 | C182 | 10 | start | ☒ | | 55,0 | 58,8 | 70,9 |
| 203 | 12.11.2016 | 14:47 | C172 | 10 | start | | | 57,3 | 61,6 | 72,9 |
| 204 | 12.11.2016 | 14:49 | C152 | 10 | start | ☒ | | 55,6 | 58,8 | 70,5 |
| 205 | 12.11.2016 | 14:49 | C172 | 10 | start | ☒ | | 57,1 | 60,9 | 72,6 |
| 206 | 12.11.2016 | 15:02 | AT3 | 10 | start | | | 60,1 | 66,7 | 77,1 |
| 207 | 12.11.2016 | 15:22 | PS28 | 10 | start | | | 56,5 | 63,2 | 73,4 |
| 208 | 12.11.2016 | 15:30 | P06T | 10 | start | | | 56,7 | 60,8 | 72,7 |
| 209 | 12.11.2016 | 15:39 | C152 | 10 | start | ☒ | | 56,8 | 62,4 | 75,2 |
| 210 | 12.11.2016 | 16:10 | C172 | 10 | start | ☒ | | 59,5 | 67,1 | 76,3 |
| 211 | 12.11.2016 | 16:18 | C172 | 10 | start | ☒ | | 63,6 | 71,1 | 79,3 |
| 212 | 12.11.2016 | 16:41 | C172 | 10 | start | ☒ | | 61,8 | 69,6 | 78,3 |
| 213 | 12.11.2016 | 16:48 | C172 | 10 | start | ☒ | | 62,0 | 71,1 | 79,3 |
| 214 | 12.11.2016 | 16:56 | C172 | 10 | start | ☒ | | 60,6 | 69,4 | 77,7 |
| 215 | 12.11.2016 | 17:00 | C172 | 10 | start | ☒ | | 55,7 | 60,1 | 71,1 |
| 216 | 12.11.2016 | 17:04 | C172 | 10 | start | ☒ | | 61,8 | 69,3 | 78,1 |
| 217 | 12.11.2016 | 17:19 | C172 | 10 | start | ☒ | | 55,2 | 59,0 | 70,5 |
| 218 | 12.11.2016 | 17:28 | C172 | 10 | start | ☒ | | 53,9 | 59,4 | 71,0 |

| Lp. | Data | Godzina | Typ statku powietrznego | Próg RWY | Typ operacji lotniczej | Warunki meteo | Zakłócenia | L _{Aeq} [dB] | L _{Amax} [dB] | L _{AE} [dB] |
|-----|------------|---------|-------------------------|----------|------------------------|-------------------------------------|------------|-----------------------|------------------------|----------------------|
| 219 | 12.11.2016 | 17:37 | C172 | 10 | start | <input checked="" type="checkbox"/> | | 56,2 | 61,5 | 72,2 |
| 220 | 12.11.2016 | 18:01 | C172 | 10 | start | <input checked="" type="checkbox"/> | | 54,7 | 58,3 | 70,9 |
| 221 | 12.11.2016 | 18:11 | C172 | 10 | start | <input checked="" type="checkbox"/> | | 54,0 | 56,9 | 71,1 |
| 222 | 12.11.2016 | 18:18 | C172 | 10 | start | <input checked="" type="checkbox"/> | | 56,2 | 61,7 | 71,8 |
| 223 | 12.11.2016 | 18:27 | C172 | 10 | start | <input checked="" type="checkbox"/> | | 54,2 | 58,4 | 70,1 |
| 224 | 12.11.2016 | 18:36 | C172 | 10 | start | <input checked="" type="checkbox"/> | | 55,2 | 57,3 | 70,9 |
| 225 | 12.11.2016 | 18:43 | C172 | 10 | start | <input checked="" type="checkbox"/> | | 54,7 | 58,6 | 70,5 |
| 226 | 12.11.2016 | 18:44 | C172 | 10 | start | <input checked="" type="checkbox"/> | | 53,8 | 57,1 | 70,0 |
| 227 | 12.11.2016 | 18:52 | DV-20 KATAN A | 10 | start | <input checked="" type="checkbox"/> | | 54,8 | 57,2 | 70,1 |
| 228 | 12.11.2016 | 18:53 | C172 | 10 | start | <input checked="" type="checkbox"/> | | 55,9 | 60,5 | 71,7 |
| 229 | 12.11.2016 | 19:11 | C172 | 10 | start | <input checked="" type="checkbox"/> | | 55,2 | 60,0 | 71,4 |
| 230 | 12.11.2016 | 19:12 | C172 | 10 | start | <input checked="" type="checkbox"/> | | 54,6 | 57,0 | 69,5 |
| 231 | 12.11.2016 | 19:20 | C172 | 10 | start | <input checked="" type="checkbox"/> | | 55,0 | 58,6 | 71,4 |
| 232 | 12.11.2016 | 19:21 | C172 | 10 | start | <input checked="" type="checkbox"/> | | 53,0 | 56,2 | 69,9 |
| 233 | 12.11.2016 | 19:29 | C172 | 10 | start | <input checked="" type="checkbox"/> | | 54,9 | 59,1 | 70,5 |
| 234 | 12.11.2016 | 19:39 | C172 | 10 | start | <input checked="" type="checkbox"/> | | 53,5 | 56,5 | 70,6 |
| 235 | 13.11.2016 | 14:01 | Bristell | 28 | ładowanie | <input checked="" type="checkbox"/> | | 60,1 | 67,3 | 75,7 |
| 236 | 14.11.2016 | 16:18 | C172 | 28 | ładowanie | | | 63,5 | 70,0 | 81,4 |
| 237 | 14.11.2016 | 19:48 | Beech King Air 250 | 28 | ładowanie | <input checked="" type="checkbox"/> | | 61,2 | 68,5 | 77,5 |
| 238 | 15.11.2016 | 09:20 | PA34 | 28 | ładowanie | <input checked="" type="checkbox"/> | | 61,6 | 68,6 | 76,7 |
| 239 | 15.11.2016 | 10:21 | HU-269 Schweizer | 28 | ładowanie | | | 57,2 | 62,8 | 75,6 |
| 240 | 15.11.2016 | 10:56 | C150 | 28 | ładowanie | | | 59,8 | 68,5 | 76,6 |
| 241 | 15.11.2016 | 11:28 | EC20 | 28 | ładowanie | | | 60,5 | 69,0 | 76,7 |
| 242 | 15.11.2016 | 14:18 | P68C | 28 | ładowanie | | | 57,5 | 61,8 | 73,6 |
| 243 | 15.11.2016 | 14:26 | PS28 | 28 | ładowanie | | | 61,6 | 67,6 | 77,9 |
| 244 | 15.11.2016 | 15:40 | EC20 | 28 | ładowanie | | | 57,1 | 62,8 | 74,1 |
| 245 | 15.11.2016 | 16:20 | SR22 | 28 | ładowanie | | | 61,2 | 67,9 | 76,5 |
| 246 | 15.11.2016 | 19:16 | EC35 | 28 | ładowanie | | | 58,2 | 61,5 | 73,7 |
| 247 | 16.11.2016 | 20:50 | PA34 | 10 | start | <input checked="" type="checkbox"/> | | 60,2 | 67,3 | 75,4 |
| 248 | 17.11.2016 | 14:15 | EC35 | 10 | start | <input checked="" type="checkbox"/> | | 57,6 | 63,4 | 75,3 |
| 249 | 17.11.2016 | 15:29 | C175 | 28 | ładowanie | <input checked="" type="checkbox"/> | | 66,1 | 74,6 | 82,8 |
| 250 | 17.11.2016 | 15:37 | EC35 | 28 | ładowanie | <input checked="" type="checkbox"/> | | 60,6 | 67,0 | 77,6 |
| 251 | 18.11.2016 | 12:37 | C175 | 10 | start | <input checked="" type="checkbox"/> | | 58,9 | 64,8 | 73,7 |
| 252 | 18.11.2016 | 12:58 | C150 | 10 | start | <input checked="" type="checkbox"/> | | 58,9 | 63,5 | 74,2 |
| 253 | 18.11.2016 | 13:07 | EC35 | 10 | start | <input checked="" type="checkbox"/> | | 58,9 | 65,7 | 74,8 |
| 254 | 18.11.2016 | 13:25 | EC35 | 10 | start | <input checked="" type="checkbox"/> | | 55,8 | 61,3 | 72,0 |
| 255 | 18.11.2016 | 13:34 | C182 | 10 | start | <input checked="" type="checkbox"/> | | 59,4 | 64,9 | 74,1 |
| 256 | 18.11.2016 | 13:40 | RALL | 10 | start | <input checked="" type="checkbox"/> | | 56,6 | 62,8 | 71,1 |
| 257 | 18.11.2016 | 13:42 | PS28 | 10 | start | <input checked="" type="checkbox"/> | | 57,2 | 63,5 | 72,3 |
| 258 | 18.11.2016 | 13:47 | C175 | 10 | start | <input checked="" type="checkbox"/> | | 57,5 | 63,5 | 72,6 |



| Lp. | Data | Godzina | Typ startu powietrznego | Próg RWY | Typ operacji lotniczej | Warunki meteo | Zakłócenia | L _{Aeq} [dB] | L _{Amax} [dB] | L _{AE} [dB] |
|-----|------------|---------|-------------------------|----------|------------------------|---------------|------------|-----------------------|------------------------|----------------------|
| 259 | 18.11.2016 | 13:50 | C172 | 10 | start | ☒ | | 56,8 | 62,0 | 71,9 |
| 260 | 18.11.2016 | 13:59 | PIVI | 10 | start | ☒ | | 55,8 | 61,4 | 71,2 |
| 261 | 18.11.2016 | 14:11 | PA34 | 28 | ładowanie | ☒ | | 55,5 | 61,6 | 71,8 |
| 262 | 18.11.2016 | 14:52 | C150 | 10 | start | ☒ | | 56,0 | 63,2 | 71,6 |
| 263 | 18.11.2016 | 14:55 | PS28 | 10 | start | ☒ | | 57,7 | 64,8 | 73,4 |
| 264 | 18.11.2016 | 14:59 | PA28 | 10 | start | ☒ | | 56,4 | 64,3 | 70,8 |
| 265 | 18.11.2016 | 15:02 | C172 | 10 | start | ☒ | | 55,9 | 62,7 | 71,5 |
| 266 | 18.11.2016 | 15:22 | C172 | 10 | start | ☒ | | 55,8 | 61,4 | 73,2 |
| 267 | 18.11.2016 | 15:26 | PA34 | 10 | start | ☒ | | 63,2 | 72,3 | 77,6 |
| 268 | 18.11.2016 | 15:34 | C172 | 10 | start | ☒ | | 60,2 | 67,4 | 75,8 |
| 269 | 18.11.2016 | 15:39 | PA28 | 10 | start | ☒ | | 60,4 | 66,5 | 76,1 |
| 270 | 18.11.2016 | 15:44 | PA34 | 10 | start | ☒ | | 55,1 | 62,9 | 70,9 |
| 271 | 18.11.2016 | 15:46 | C152 | 10 | start | ☒ | | 57,4 | 62,3 | 72,5 |
| 272 | 18.11.2016 | 15:52 | C172 | 10 | start | ☒ | | 60,4 | 68,0 | 75,9 |
| 273 | 18.11.2016 | 16:18 | C172 | 10 | start | ☒ | | 54,7 | 60,3 | 70,4 |
| 274 | 18.11.2016 | 17:07 | C152 | 10 | start | ☒ | | 57,4 | 63,7 | 72,5 |
| 275 | 18.11.2016 | 17:28 | C152 | 10 | start | ☒ | | 58,4 | 65,0 | 73,2 |
| 276 | 18.11.2016 | 17:40 | C152 | 10 | start | ☒ | | 56,6 | 63,8 | 72,6 |
| 277 | 18.11.2016 | 17:58 | C152 | 10 | start | ☒ | | 57,7 | 63,7 | 73,4 |
| 278 | 18.11.2016 | 18:15 | C152 | 10 | start | ☒ | | 57,3 | 63,8 | 71,8 |
| 279 | 18.11.2016 | 19:37 | SR22 | 10 | start | ☒ | | 59,9 | 67,0 | 75,9 |
| 280 | 18.11.2016 | 21:06 | EC35 | 28 | ładowanie | ☒ | | 60,6 | 69,5 | 79,3 |
| 281 | 19.11.2016 | 09:12 | PS28 | 10 | start | ☒ | | 57,4 | 61,3 | 73,2 |
| 282 | 19.11.2016 | 09:39 | C152 | 10 | start | ☒ | | 56,6 | 61,4 | 72,4 |
| 283 | 19.11.2016 | 09:48 | C152 | 10 | start | ☒ | | 54,8 | 59,7 | 70,7 |
| 284 | 19.11.2016 | 09:50 | C152 | 10 | start | ☒ | | 57,4 | 61,9 | 72,9 |
| 285 | 19.11.2016 | 10:00 | C152 | 10 | start | ☒ | | 59,3 | 67,9 | 75,4 |
| 286 | 19.11.2016 | 10:05 | PA34 | 10 | start | ☒ | | 63,2 | 71,7 | 79,5 |
| 287 | 19.11.2016 | 10:04 | EC35 | 28 | ładowanie | ☒ | | 62,5 | 67,7 | 79,1 |
| 288 | 19.11.2016 | 10:15 | C172 | 10 | start | ☒ | | 55,8 | 60,0 | 71,0 |
| 289 | 19.11.2016 | 10:33 | C175 | 10 | start | ☒ | | 55,8 | 61,8 | 72,7 |
| 290 | 19.11.2016 | 10:34 | C152 | 10 | start | ☒ | | 57,4 | 63,0 | 73,7 |
| 291 | 19.11.2016 | 10:46 | C150 | 10 | start | ☒ | | 59,1 | 64,5 | 75,5 |
| 292 | 19.11.2016 | 10:55 | C150 | 10 | start | ☒ | | 58,9 | 64,0 | 75,6 |
| 293 | 19.11.2016 | 11:13 | C150 | 10 | start | ☒ | | 54,0 | 56,5 | 70,1 |
| 294 | 19.11.2016 | 11:22 | C172 | 10 | start | ☒ | | 55,4 | 59,4 | 71,3 |
| 295 | 19.11.2016 | 11:23 | C150 | 10 | start | ☒ | | 58,3 | 63,1 | 75,1 |
| 296 | 19.11.2016 | 11:31 | C150 | 10 | start | ☒ | | 57,8 | 63,4 | 74,0 |
| 297 | 19.11.2016 | 11:37 | Da - 20 | 10 | start | ☒ | | 52,2 | 55,0 | 68,5 |
| 298 | 19.11.2016 | 11:40 | C172 | 10 | start | ☒ | | 58,2 | 62,9 | 73,6 |
| 299 | 19.11.2016 | 11:43 | C150 | 10 | start | ☒ | | 59,3 | 63,4 | 71,9 |
| 300 | 19.11.2016 | 11:49 | C172 | 10 | start | ☒ | | 54,5 | 57,5 | 70,5 |



| Lp. | Data | Godzina | Typ statku powietrznego | Próg RWY | Typ operacji lotniczej | Warunki meteo | Zakłócenia | L _{Aeq} [dB] | L _{Amax} [dB] | L _{AE} [dB] |
|-----|------------|---------|-------------------------|----------|------------------------|---------------|------------|-----------------------|------------------------|----------------------|
| 301 | 19.11.2016 | 11:58 | C172 | 10 | start | ☒ | | 54,7 | 59,1 | 71,0 |
| 302 | 19.11.2016 | 12:24 | C150 | 10 | start | ☒ | | 57,5 | 63,2 | 73,0 |
| 303 | 19.11.2016 | 12:34 | C150 | 10 | start | ☒ | | 57,6 | 62,9 | 72,5 |
| 304 | 19.11.2016 | 12:44 | C150 | 10 | start | ☒ | | 55,9 | 59,7 | 71,7 |
| 305 | 19.11.2016 | 13:49 | C152 | 10 | start | ☒ | | 55,6 | 60,5 | 72,3 |
| 306 | 19.11.2016 | 13:54 | C152 | 10 | start | ☒ | | 54,6 | 60,2 | 70,8 |
| 307 | 19.11.2016 | 14:09 | C152 | 10 | start | ☒ | | 54,2 | 59,3 | 70,9 |
| 308 | 19.11.2016 | 14:24 | R44 | 10 | start | ☒ | | 56,9 | 62,4 | 73,0 |
| 309 | 19.11.2016 | 14:28 | C152 | 10 | start | ☒ | | 55,1 | 59,4 | 70,8 |
| 310 | 19.11.2016 | 19:18 | EC35 | 28 | ładowanie | ☒ | | 59,9 | 67,4 | 76,7 |
| 311 | 20.11.2016 | 08:59 | C150 | 10 | start | ☒ | | 53,6 | 58,9 | 69,5 |
| 312 | 20.11.2016 | 09:00 | C150 | 10 | start | ☒ | | 59,2 | 63,2 | 75,4 |
| 313 | 20.11.2016 | 09:06 | C152 | 10 | start | ☒ | | 55,4 | 61,8 | 71,8 |
| 314 | 20.11.2016 | 09:09 | C150 | 10 | start | ☒ | | 55,5 | 59,9 | 71,6 |
| 315 | 20.11.2016 | 09:18 | C182 | 10 | start | ☒ | | 59,4 | 65,0 | 75,7 |
| 316 | 20.11.2016 | 09:27 | C150 | 10 | start | ☒ | | 56,9 | 61,5 | 72,2 |
| 317 | 20.11.2016 | 09:44 | C- 150 | 10 | start | ☒ | | 56,9 | 62,7 | 73,5 |
| 318 | 20.11.2016 | 09:48 | C152 | 10 | start | ☒ | | 53,3 | 59,1 | 69,2 |
| 319 | 20.11.2016 | 10:18 | C152 | 10 | start | ☒ | | 55,6 | 61,2 | 71,3 |
| 320 | 20.11.2016 | 10:46 | C152 | 10 | start | ☒ | | 56,7 | 62,4 | 71,4 |
| 321 | 20.11.2016 | 10:53 | C172 | 10 | start | ☒ | | 63,4 | 70,7 | 79,5 |
| 322 | 20.11.2016 | 11:15 | C182 | 10 | start | | | 55,8 | 61,1 | 70,7 |
| 323 | 20.11.2016 | 11:20 | C152 | 10 | start | | | 56,1 | 60,8 | 71,7 |
| 324 | 20.11.2016 | 11:28 | AT3 | 10 | start | | | 58,4 | 66,2 | 73,6 |
| 325 | 20.11.2016 | 11:42 | P06T | 10 | start | | | 50,8 | 57,2 | 65,4 |
| 326 | 21.11.2016 | 08:34 | C152 | 10 | start | | | 56,5 | 62,9 | 71,9 |
| 327 | 21.11.2016 | 08:37 | BE58 | 10 | start | | | 62,7 | 70,8 | 79,1 |
| 328 | 21.11.2016 | 09:45 | C152 | 10 | start | | | 55,1 | 60,8 | 71,1 |
| 329 | 21.11.2016 | 10:18 | C152 | 10 | start | | | 61,5 | 68,7 | 76,4 |
| 330 | 21.11.2016 | 10:28 | PA34 | 10 | start | | | 60,1 | 64,5 | 75,0 |
| 331 | 21.11.2016 | 10:57 | C172 | 10 | start | | | 62,6 | 71,5 | 77,8 |
| 332 | 21.11.2016 | 11:01 | PA28 | 10 | start | | | 57,1 | 71,0 | 72,9 |
| 333 | 21.11.2016 | 11:04 | PA34 | 10 | start | | | 62,0 | 70,9 | 77,7 |
| 334 | 21.11.2016 | 11:12 | C150 | 10 | start | | | 61,5 | 69,9 | 76,8 |
| 335 | 21.11.2016 | 11:15 | PA34 | - | start | | | 56,8 | 62,4 | 72,3 |
| 336 | 21.11.2016 | 11:19 | C172 | 10 | start | | | 61,2 | 72,2 | 77,2 |
| 337 | 21.11.2016 | 11:26 | PA34 | 10 | start | | | 61,4 | 72,8 | 76,7 |
| 338 | 21.11.2016 | 11:40 | PA34 | 10 | start | | | 59,5 | 69,6 | 75,3 |
| 339 | 21.11.2016 | 11:42 | EC35 | 10 | start | | | 56,2 | 63,0 | 73,4 |
| 340 | 21.11.2016 | 11:50 | C172 | 10 | start | | | 58,4 | 65,3 | 73,3 |
| 341 | 21.11.2016 | 12:14 | P06T | 10 | start | | | 56,1 | 62,2 | 72,3 |
| 342 | 21.11.2016 | 12:22 | PA34 | 10 | start | | | 62,4 | 69,1 | 77,8 |

| Lp. | Data | Godzina | Typ statku powietrznego | Próg RWY | Typ operacji lotniczej | Warunki meteo | Zakłócenia | L _{Aeq} [dB] | L _{Amax} [dB] | L _{AE} [dB] |
|-----|------------|---------|-------------------------|----------|------------------------|---------------|------------|-----------------------|------------------------|----------------------|
| 343 | 21.11.2016 | 12:35 | PS28 | 10 | start | | | 53,5 | 57,1 | 69,9 |
| 344 | 21.11.2016 | 13:04 | C152 | 10 | start | | | 53,1 | 60,0 | 70,0 |
| 345 | 21.11.2016 | 13:33 | Bristell | 10 | start | | | 55,9 | 61,2 | 71,6 |
| 346 | 21.11.2016 | 13:44 | C150 | 10 | start | | | 56,2 | 59,9 | 70,4 |
| 347 | 21.11.2016 | 13:48 | C172 | 10 | start | | | 54,6 | 58,7 | 70,1 |
| 348 | 21.11.2016 | 13:51 | Bristell | 10 | start | | | 57,5 | 68,5 | 73,2 |
| 349 | 21.11.2016 | 13:58 | C172 | 10 | start | | | 58,8 | 66,7 | 74,6 |
| 350 | 21.11.2016 | 14:01 | Bristell | 10 | start | | | 53,5 | 57,1 | 70,1 |
| 351 | 21.11.2016 | 14:16 | PS28 | 10 | start | | | 55,6 | 63,0 | 72,1 |
| 352 | 21.11.2016 | 15:29 | GA8 | 10 | start | | | 55,7 | 62,7 | 70,8 |
| 353 | 21.11.2016 | 15:32 | C152 | 10 | start | | | 56,2 | 61,3 | 72,5 |
| 354 | 21.11.2016 | 16:25 | EC35 | 10 | start | | | 57,5 | 63,8 | 72,9 |
| 355 | 21.11.2016 | 16:42 | EC35 | 10 | start | | | 57,7 | 64,4 | 73,5 |
| 356 | 21.11.2016 | 17:08 | C152 | 10 | start | | | 55,9 | 62,8 | 72,5 |
| 357 | 21.11.2016 | 17:21 | EC35 | 10 | start | | | 56,2 | 61,0 | 73,6 |
| 358 | 21.11.2016 | 17:44 | EC35 | 28 | ładowanie | | | 62,8 | 67,4 | 79,3 |
| 359 | 21.11.2016 | 19:09 | EC35 | 10 | start | | | 60,9 | 68,7 | 78,6 |
| 360 | 21.11.2016 | 19:11 | C182 | 10 | start | | | 55,9 | 62,8 | 72,1 |
| 361 | 21.11.2016 | 19:19 | EC35 | 28 | ładowanie | | | 58,8 | 64,6 | 75,1 |
| 362 | 22.11.2016 | 05:14 | M20D | 10 | start | ☒ | | 56,3 | 64,6 | 71,8 |
| 363 | 22.11.2016 | 09:15 | Beech King Air 250 | 10 | start | | | 60,8 | 69,8 | 75,0 |
| 364 | 22.11.2016 | 09:28 | C-150 | 10 | start | | | 57,2 | 64,2 | 72,3 |
| 365 | 22.11.2016 | 10:01 | C152 | 10 | start | | | 63,3 | 69,1 | 80,9 |
| 366 | 22.11.2016 | 10:16 | P06T | 10 | start | | | 60,3 | 68,1 | 76,8 |
| 367 | 22.11.2016 | 10:31 | COL3 | 10 | start | | | 59,5 | 68,3 | 75,0 |
| 368 | 22.11.2016 | 10:29 | TL96 | 10 | start | | | 58,2 | 64,6 | 74,6 |
| 369 | 22.11.2016 | 10:52 | EC35 | 10 | start | | | 61,9 | 71,7 | 78,1 |
| 370 | 22.11.2016 | 11:03 | TL96 | 10 | start | | | 55,5 | 59,4 | 70,4 |
| 371 | 22.11.2016 | 11:12 | TL96 | 10 | start | | | 55,0 | 60,0 | 70,7 |
| 372 | 22.11.2016 | 11:19 | TL96 | 28 | ładowanie | | | 67,5 | 74,7 | 84,9 |
| 373 | 22.11.2016 | 11:23 | C152 | 10 | start | | | 64,0 | 72,3 | 78,7 |
| 374 | 22.11.2016 | 11:31 | PA34 | 10 | start | | | 64,0 | 73,2 | 79,0 |
| 375 | 22.11.2016 | 11:38 | C152 | 10 | start | | | 65,2 | 76,0 | 81,8 |
| 376 | 22.11.2016 | 11:47 | C152 | 10 | start | | | 60,9 | 68,0 | 77,0 |
| 377 | 22.11.2016 | 11:52 | C152 | 28 | ładowanie | | | 57,7 | 62,7 | 72,9 |
| 378 | 22.11.2016 | 11:53 | PS28 | 28 | ładowanie | | | 59,5 | 65,7 | 74,8 |
| 379 | 22.11.2016 | 12:39 | C182 | 10 | start | | | 54,4 | 60,3 | 70,7 |
| 380 | 22.11.2016 | 12:42 | EC35 | 10 | start | | | 58,2 | 66,7 | 75,3 |
| 381 | 22.11.2016 | 12:46 | C182 | 10 | start | | | 57,0 | 62,1 | 72,9 |
| 382 | 22.11.2016 | 12:53 | C182 | 10 | start | | | 55,5 | 63,2 | 71,7 |
| 383 | 22.11.2016 | 13:03 | C152 | 10 | start | | | 55,8 | 62,4 | 71,4 |



| Lp. | Data | Godzina | Typ statku powietrznego | Próg RWY | Typ operacji lotniczej | Warunki meteo | Zakłócenia | L _{Aeq} [dB] | L _{Amax} [dB] | L _{AE} [dB] |
|-----|------------|---------|-------------------------|----------|------------------------|---------------|------------|-----------------------|------------------------|----------------------|
| 384 | 22.11.2016 | 13:04 | PA34 | 10 | start | | | 56,5 | 64,1 | 72,6 |
| 385 | 22.11.2016 | 13:12 | C152 | 10 | start | | | 63,4 | 72,3 | 79,5 |
| 386 | 22.11.2016 | 13:23 | C152 | 10 | start | | | 55,8 | 60,8 | 72,0 |
| 387 | 22.11.2016 | 13:32 | SIRA | 10 | start | | | 58,0 | 66,3 | 74,1 |
| 388 | 22.11.2016 | 13:40 | C172 | 10 | start | | | 55,1 | 60,0 | 70,9 |
| 389 | 22.11.2016 | 13:43 | C152 | 10 | start | | | 55,8 | 61,9 | 73,2 |
| 390 | 22.11.2016 | 13:50 | C172 | 10 | start | | | 54,0 | 60,1 | 70,5 |
| 391 | 22.11.2016 | 13:59 | EC35 | 10 | start | | | 57,7 | 64,0 | 73,3 |
| 392 | 22.11.2016 | 14:00 | C172 | 10 | start | | | 56,7 | 61,6 | 72,4 |
| 393 | 22.11.2016 | 14:32 | PA34 | 10 | start | | | 61,0 | 68,7 | 76,9 |
| 394 | 22.11.2016 | 14:57 | PS28 | 10 | start | | | 61,3 | 71,1 | 76,3 |
| 395 | 22.11.2016 | 14:59 | C152 | 10 | start | | | 54,8 | 61,1 | 72,1 |
| 396 | 22.11.2016 | 15:35 | R44 | 10 | start | | | 58,9 | 67,3 | 75,9 |
| 397 | 22.11.2016 | 15:51 | C172 | 10 | start | | | 59,8 | 66,1 | 75,8 |
| 398 | 22.11.2016 | 15:54 | C152 | 10 | start | | | 57,0 | 63,0 | 74,5 |
| 399 | 22.11.2016 | 16:37 | C172 | 10 | start | | | 57,7 | 64,5 | 74,1 |
| 400 | 22.11.2016 | 17:14 | Beech King Air 250 | 10 | start | | | 60,5 | 71,6 | 76,4 |
| 401 | 22.11.2016 | 17:35 | C152 | 10 | start | | | 55,4 | 60,9 | 71,8 |
| 402 | 22.11.2016 | 17:39 | C172 | 10 | start | | | 57,1 | 64,9 | 74,1 |
| 403 | 22.11.2016 | 17:41 | C152 | 10 | start | | | 55,7 | 62,1 | 71,4 |
| 404 | 22.11.2016 | 17:46 | C152 | 10 | start | | | 56,6 | 64,4 | 72,4 |
| 405 | 22.11.2016 | 18:46 | C172 | 10 | start | | | 55,3 | 61,3 | 72,7 |
| 406 | 22.11.2016 | 19:20 | C182 | 10 | start | | | 57,3 | 64,8 | 72,7 |
| 407 | 22.11.2016 | 19:28 | C182 | 10 | start | | | 59,0 | 65,3 | 74,0 |
| 408 | 22.11.2016 | 19:44 | C182 | 10 | start | | | 56,7 | 63,4 | 73,2 |
| 409 | 23.11.2016 | 05:24 | PA34 | 10 | start | ☒ | | 60,1 | 69,8 | 75,7 |
| 410 | 23.11.2016 | 08:24 | C152 | 10 | start | ☒ | | 56,9 | 61,9 | 72,6 |
| 411 | 23.11.2016 | 08:26 | C150 | 10 | start | ☒ | | 61,7 | 68,3 | 76,9 |
| 412 | 23.11.2016 | 09:28 | C172 | 10 | start | | | 56,4 | 63,9 | 72,4 |
| 413 | 23.11.2016 | 09:32 | PS28 | 10 | start | | | 57,8 | 63,6 | 73,2 |
| 414 | 23.11.2016 | 09:37 | C172 | 10 | start | | | 61,4 | 66,9 | 75,8 |
| 415 | 23.11.2016 | 09:45 | PA34 | 10 | start | | | 65,3 | 76,5 | 81,0 |
| 416 | 23.11.2016 | 09:47 | C172 | 10 | start | | | 60,8 | 69,5 | 76,5 |
| 417 | 23.11.2016 | 09:49 | C172 | 10 | start | | | 59,8 | 64,2 | 74,8 |
| 418 | 23.11.2016 | 09:50 | C172 | 10 | start | | | 58,5 | 64,3 | 73,9 |
| 419 | 23.11.2016 | 09:56 | PS28 | 10 | start | | | 61,6 | 69,9 | 77,7 |
| 420 | 23.11.2016 | 09:59 | C152 | 10 | start | | | 58,1 | 64,4 | 74,4 |
| 421 | 23.11.2016 | 10:01 | C172 | 10 | start | | | 56,4 | 61,0 | 72,7 |
| 422 | 23.11.2016 | 10:08 | C150 | 10 | start | | | 58,3 | 61,8 | 72,9 |
| 423 | 23.11.2016 | 10:14 | B412 | 10 | start | | | 69,5 | 77,6 | 86,7 |
| 424 | 23.11.2016 | 10:17 | PS28 | 10 | start | | | 56,9 | 61,1 | 74,6 |

| Lp. | Data | Godzina | Typ statku powietrznego | Próg RWY | Typ operacji lotniczej | Warunki meteo | Zakłócenia | L _{Aeq} [dB] | L _{Amax} [dB] | L _{AE} [dB] |
|----------------|-----------------------|------------------|-------------------------|---------------|------------------------|---------------|------------|-----------------------|------------------------|----------------------|
| 425 | 23.11.2016 | 10:24 | PA34 | 10 | start | | | 57,0 | 63,4 | 72,7 |
| 426 | 23.11.2016 | 10:27 | C172 | 10 | start | | | 56,1 | 60,1 | 71,6 |
| 427 | 23.11.2016 | 10:30 | C150 | 10 | start | | | 65,7 | 75,2 | 81,8 |
| 428 | 23.11.2016 | 10:33 | C152 | 10 | start | | | 55,8 | 61,5 | 71,9 |
| 429 | 23.11.2016 | 10:37 | C152 | 10 | start | | | 56,4 | 62,2 | 71,0 |
| 430 | 23.11.2016 | 10:38 | C172 | 10 | start | | | 62,6 | 70,4 | 77,6 |
| 431 | 23.11.2016 | 10:40 | C152 | 10 | start | | | 55,8 | 60,5 | 69,8 |
| 432 | 23.11.2016 | 10:42 | PA34 | 10 | start | | | 55,3 | 60,8 | 71,5 |
| 433 | 23.11.2016 | 10:47 | C172 | 10 | start | | | 63,5 | 73,0 | 80,1 |
| 434 | 23.11.2016 | 10:54 | C152 | 10 | start | | | 64,1 | 73,6 | 79,6 |
| 435 | 23.11.2016 | 10:56 | C182 | 10 | start | | | 57,9 | 63,6 | 73,2 |
| 436 | 23.11.2016 | 11:00 | PA34 | 10 | start | | | 61,7 | 70,2 | 77,8 |
| 437 | 23.11.2016 | 11:00 | B412 | 28 | ładowanie | | | 61,7 | 70,2 | 77,8 |
| 438 | 23.11.2016 | 11:07 | C152 | 10 | start | | | 63,1 | 73,3 | 78,2 |
| 439 | 23.11.2016 | 11:16 | C172 | 10 | start | | | 59,7 | 66,5 | 75,2 |
| 440 | 23.11.2016 | 11:33 | SR22 | 10 | start | | | 56,9 | 61,2 | 73,9 |
| 441 | 23.11.2016 | 11:36 | PA34 | 10 | start | | | 66,4 | 75,1 | 82,0 |
| 442 | 23.11.2016 | 11:39 | C152 | 10 | start | | | 64,4 | 73,6 | 79,4 |
| 443 | 23.11.2016 | 11:46 | SIRA | 10 | start | | | 61,7 | 70,5 | 76,9 |
| 444 | 23.11.2016 | 11:52 | C152 | 10 | start | | | 56,1 | 61,4 | 72,9 |
| 445 | 23.11.2016 | 12:16 | C172 | 10 | start | | | 59,8 | 66,4 | 75,3 |
| 446 | 23.11.2016 | 12:19 | C150 | 10 | start | | | 54,4 | 59,2 | 70,8 |
| 447 | 23.11.2016 | 12:28 | C172 | 10 | start | | | 58,2 | 65,2 | 74,2 |
| 448 | 23.11.2016 | 12:38 | C172 | 10 | start | | | 58,1 | 63,2 | 73,6 |
| 449 | 23.11.2016 | 12:45 | UF10 | 10 | start | | | 59,9 | 64,3 | 74,7 |
| 450 | 23.11.2016 | 12:52 | PS28 | 10 | start | | | 54,9 | 61,2 | 70,8 |
| 451 | 23.11.2016 | 12:57 | C172 | 10 | start | | | 56,9 | 62,6 | 73,0 |
| 452 | 23.11.2016 | 13:12 | PS28 | 10 | start | | | 54,2 | 60,2 | 70,3 |
| 453 | 23.11.2016 | 13:16 | P06T | 10 | start | | | 56,4 | 62,0 | 72,1 |
| 454 | 23.11.2016 | 13:22 | PA34 | 10 | start | | | 63,5 | 74,2 | 79,5 |
| 455 | 23.11.2016 | 13:29 | PS28 | 10 | start | | | 56,3 | 62,4 | 72,3 |
| 456 | 23.11.2016 | 13:34 | C172 | 10 | start | | | 55,2 | 63,2 | 72,0 |
| 457 | 23.11.2016 | 13:37 | C152 | 10 | start | | | 61,9 | 71,7 | 78,6 |
| 458 | 23.11.2016 | 13:38 | PA34 | 10 | start | | | 57,4 | 63,3 | 73,3 |
| 459 | 23.11.2016 | 13:44 | PS28 | 10 | start | | | 62,3 | 71,4 | 78,3 |
| 460 | 23.11.2016 | 13:51 | C152 | 10 | start | | | 58,4 | 62,1 | 73,6 |
| 461 | 23.11.2016 | 13:52 | C150 | 10 | start | | | 61,0 | 68,9 | 77,3 |
| 462 | 23.11.2016 | 13:53 | C152 | 10 | start | | | 60,5 | 67,8 | 75,8 |
| 463 | 23.11.2016 | 14:00 | C152 | 10 | start | | | 61,1 | 70,1 | 78,0 |
| 464 | 23.11.2016 | 14:02 | PS28 | 10 | start | | | 55,8 | 61,5 | 73,2 |
| 465 | 23.11.2016 | 14:12 | C152 | 10 | start | | | 57,1 | 62,4 | 73,3 |
| 466 | 23.11.2016 | 14:14 | C152 | 10 | start | | | 55,6 | 60,9 | 71,8 |

| Lp. | Data | Godzina | Typ statku powietrznego | Próg RWY | Typ operacji lotniczej | Warunki meteo | Zakłócenia | L _{Aeq} [dB] | L _{Amax} [dB] | L _{AE} [dB] |
|-----|------------|---------|-------------------------|----------|------------------------|---------------|------------|-----------------------|------------------------|----------------------|
| 467 | 23.11.2016 | 14:21 | AT3 | 10 | start | | | 56,0 | 61,8 | 73,2 |
| 468 | 23.11.2016 | 14:26 | PA34 | 10 | start | | | 60,6 | 66,0 | 76,3 |
| 469 | 23.11.2016 | 14:35 | C152 | 10 | start | | | 59,7 | 69,0 | 75,2 |
| 470 | 23.11.2016 | 14:39 | C152 | 10 | start | | | 59,3 | 63,7 | 73,8 |
| 471 | 23.11.2016 | 14:45 | PA34 | 10 | start | | | 60,9 | 69,0 | 76,5 |
| 472 | 23.11.2016 | 14:47 | C172 | 10 | start | | | 57,0 | 61,4 | 73,0 |
| 473 | 23.11.2016 | 14:48 | PA34 | 10 | start | | | 55,9 | 61,4 | 71,0 |
| 474 | 23.11.2016 | 14:53 | C152 | 10 | start | | | 58,2 | 62,4 | 73,1 |
| 475 | 23.11.2016 | 14:57 | C172 | 10 | start | | | 60,2 | 66,4 | 76,3 |
| 476 | 23.11.2016 | 15:03 | K150 | 10 | start | | | 59,1 | 65,7 | 74,7 |
| 477 | 23.11.2016 | 15:07 | C172 | 10 | start | | | 56,5 | 63,2 | 73,3 |
| 478 | 23.11.2016 | 15:10 | SIRA | 10 | start | | | 61,7 | 69,1 | 76,9 |
| 479 | 23.11.2016 | 15:17 | C172 | 10 | start | | | 58,9 | 66,9 | 75,4 |
| 480 | 23.11.2016 | 15:27 | C172 | 10 | start | | | 61,1 | 68,5 | 77,5 |
| 481 | 23.11.2016 | 15:29 | SIRA | 10 | start | | | 57,8 | 64,5 | 74,0 |
| 482 | 23.11.2016 | 15:39 | C172 | 10 | start | | | 58,0 | 63,3 | 73,8 |
| 483 | 23.11.2016 | 15:51 | Piper PA-46 - Meridi | 10 | start | | | 57,3 | 63,2 | 72,1 |
| 484 | 23.11.2016 | 16:36 | AT3 | 10 | start | | | 59,7 | 64,9 | 75,6 |
| 485 | 23.11.2016 | 16:48 | AT3 | 10 | start | | | 54,9 | 59,4 | 70,9 |
| 486 | 23.11.2016 | 16:50 | C- 150 | 10 | start | | | 54,2 | 59,0 | 69,9 |
| 487 | 23.11.2016 | 16:53 | C152 | 10 | start | | | 56,4 | 61,4 | 71,5 |
| 488 | 23.11.2016 | 16:58 | C152 | 10 | start | | | 58,9 | 64,5 | 74,8 |
| 489 | 23.11.2016 | 17:00 | AT3 | 10 | start | | | 57,5 | 63,7 | 73,6 |
| 490 | 23.11.2016 | 17:07 | C152 | 10 | start | | | 57,7 | 64,0 | 73,4 |
| 491 | 23.11.2016 | 17:17 | AT3 | 10 | start | | | 58,8 | 63,1 | 74,8 |
| 492 | 23.11.2016 | 17:23 | C172 | 10 | start | | | 57,6 | 63,5 | 73,6 |
| 493 | 23.11.2016 | 17:27 | AT3 | 10 | start | | | 57,2 | 63,8 | 73,2 |
| 494 | 23.11.2016 | 17:29 | C152 | 10 | start | | | 57,4 | 63,2 | 73,0 |
| 495 | 23.11.2016 | 17:33 | C172 | 10 | start | | | 56,9 | 63,0 | 74,0 |
| 496 | 23.11.2016 | 17:37 | C152 | 10 | start | | | 55,7 | 61,3 | 71,5 |
| 497 | 23.11.2016 | 17:42 | C- 150 | 10 | start | | | 59,3 | 67,1 | 75,0 |
| 498 | 23.11.2016 | 17:44 | C152 | 10 | start | | | 57,1 | 63,3 | 72,1 |
| 499 | 23.11.2016 | 17:50 | C172 | 10 | start | | | 56,7 | 62,5 | 72,4 |
| 500 | 23.11.2016 | 17:52 | C- 150 | 10 | start | | | 59,2 | 64,3 | 75,4 |
| 501 | 23.11.2016 | 17:58 | C172 | 10 | start | | | 58,5 | 63,7 | 73,5 |
| 502 | 23.11.2016 | 18:01 | C172 | 10 | start | | | 58,8 | 64,6 | 74,7 |
| 503 | 23.11.2016 | 18:06 | C- 150 | 10 | start | | | 58,7 | 63,4 | 74,7 |
| 504 | 23.11.2016 | 18:08 | C172 | 10 | start | | | 60,7 | 66,7 | 76,2 |
| 505 | 23.11.2016 | 18:11 | C172 | 10 | start | | | 59,0 | 65,1 | 74,9 |
| 506 | 23.11.2016 | 18:15 | C172 | 10 | start | | | 54,5 | 61,1 | 71,5 |
| 507 | 23.11.2016 | 18:21 | C172 | 10 | start | | | 65,0 | 70,1 | 82,5 |



| Lp. | Data | Godzina | Typ statku powietrznego | Próg RWY | Typ operacji lotniczej | Warunki meteo | Zakłócenia | L _{Aeq} [dB] | L _{Amax} [dB] | L _{AE} [dB] |
|-----|------------|---------|-------------------------|----------|------------------------|-------------------------------------|------------|-----------------------|------------------------|----------------------|
| 508 | 23.11.2016 | 18:24 | C172 | 10 | start | | | 60,3 | 69,8 | 76,3 |
| 509 | 23.11.2016 | 18:30 | C172 | 10 | start | | | 58,2 | 66,4 | 74,2 |
| 510 | 23.11.2016 | 18:32 | C172 | 10 | start | | | 58,9 | 63,7 | 74,9 |
| 511 | 23.11.2016 | 18:40 | C172 | 10 | start | | | 57,8 | 64,2 | 73,4 |
| 512 | 23.11.2016 | 18:41 | C172 | 10 | start | | | 58,1 | 65,3 | 72,7 |
| 513 | 23.11.2016 | 18:51 | C172 | 10 | start | | | 57,3 | 64,6 | 72,7 |
| 514 | 23.11.2016 | 19:00 | C172 | 10 | start | | | 59,8 | 65,5 | 75,3 |
| 515 | 23.11.2016 | 19:08 | AT3 | 10 | start | | | 56,4 | 64,7 | 72,9 |
| 516 | 23.11.2016 | 19:15 | C172 | 10 | start | | | 58,4 | 65,7 | 73,7 |
| 517 | 23.11.2016 | 19:17 | C182 | 10 | start | | | 59,6 | 65,2 | 75,7 |
| 518 | 23.11.2016 | 19:24 | C182 | 10 | start | | | 59,2 | 66,9 | 75,0 |
| 519 | 23.11.2016 | 19:31 | AT3 | 10 | start | | | 58,1 | 64,9 | 73,2 |
| 520 | 23.11.2016 | 19:37 | AT3 | 10 | start | | | 57,5 | 62,5 | 72,3 |
| 521 | 23.11.2016 | 19:52 | C182 | 10 | start | | | 58,2 | 64,4 | 73,1 |
| 522 | 24.11.2016 | 09:00 | BE58 | 10 | start | <input checked="" type="checkbox"/> | | 58,5 | 63,8 | 76,1 |
| 523 | 26.11.2016 | 11:10 | EC35 | 28 | ładowanie | <input checked="" type="checkbox"/> | | 61,0 | 66,0 | 77,6 |
| 524 | 26.11.2016 | 12:09 | C152 | 28 | ładowanie | <input checked="" type="checkbox"/> | | 60,0 | 66,5 | 74,7 |
| 525 | 26.11.2016 | 12:42 | C152 | 28 | ładowanie | <input checked="" type="checkbox"/> | | 64,4 | 69,1 | 80,4 |
| 526 | 26.11.2016 | 13:19 | Bristell | 28 | ładowanie | <input checked="" type="checkbox"/> | | 58,5 | 64,2 | 74,7 |
| 527 | 26.11.2016 | 13:50 | C152 | 28 | ładowanie | <input checked="" type="checkbox"/> | | 59,8 | 63,4 | 74,1 |
| 528 | 26.11.2016 | 13:58 | SBACH-42 | 28 | ładowanie | <input checked="" type="checkbox"/> | | 58,6 | 64,4 | 74,9 |
| 529 | 26.11.2016 | 14:07 | SBACH-42 | 28 | ładowanie | <input checked="" type="checkbox"/> | | 60,3 | 65,9 | 74,7 |
| 530 | 26.11.2016 | 14:15 | EC30 | 28 | ładowanie | <input checked="" type="checkbox"/> | | 62,8 | 69,5 | 79,5 |
| 531 | 26.11.2016 | 14:25 | C152 | 28 | ładowanie | <input checked="" type="checkbox"/> | | 57,5 | 61,0 | 72,9 |
| 532 | 26.11.2016 | 14:27 | C150 | 28 | ładowanie | <input checked="" type="checkbox"/> | | 58,1 | 62,2 | 74,1 |
| 533 | 26.11.2016 | 14:40 | RALL | 28 | ładowanie | <input checked="" type="checkbox"/> | | 56,5 | 61,0 | 73,0 |
| 534 | 26.11.2016 | 15:09 | C152 | 28 | ładowanie | <input checked="" type="checkbox"/> | | 54,7 | 58,7 | 69,4 |
| 535 | 26.11.2016 | 15:44 | C172 | 28 | ładowanie | <input checked="" type="checkbox"/> | | 55,7 | 58,2 | 71,8 |
| 536 | 26.11.2016 | 16:34 | EC20 | 28 | ładowanie | <input checked="" type="checkbox"/> | | 58,4 | 62,7 | 74,2 |
| 537 | 27.11.2016 | 11:16 | C172 | 28 | ładowanie | <input checked="" type="checkbox"/> | | 55,6 | 60,7 | 69,4 |
| 538 | 27.11.2016 | 14:01 | C152 | 10 | start | <input checked="" type="checkbox"/> | | 57,3 | 63,1 | 72,9 |
| 539 | 27.11.2016 | 14:56 | EC35 | 28 | ładowanie | <input checked="" type="checkbox"/> | | 64,6 | 73,1 | 80,5 |
| 540 | 28.11.2016 | 10:44 | P06T | 10 | start | <input checked="" type="checkbox"/> | | 60,9 | 67,1 | 76,0 |
| 541 | 28.11.2016 | 10:51 | PA34 | 28 | ładowanie | <input checked="" type="checkbox"/> | | 58,8 | 64,9 | 74,3 |
| 542 | 28.11.2016 | 11:26 | EC35 | 28 | ładowanie | <input checked="" type="checkbox"/> | | 60,4 | 68,7 | 77,1 |
| 543 | 28.11.2016 | 11:43 | PS28 | 28 | ładowanie | <input checked="" type="checkbox"/> | | 73,0 | 77,0 | 89,1 |
| 544 | 28.11.2016 | 11:58 | P06T | 28 | ładowanie | <input checked="" type="checkbox"/> | | 69,3 | 72,7 | 83,9 |
| 545 | 28.11.2016 | 12:01 | PS28 | 28 | ładowanie | <input checked="" type="checkbox"/> | | 59,9 | 64,1 | 74,5 |
| 546 | 28.11.2016 | 12:07 | PS28 | 28 | ładowanie | <input checked="" type="checkbox"/> | | 60,5 | 65,2 | 75,9 |
| 547 | 28.11.2016 | 12:26 | PS28 | 28 | ładowanie | <input checked="" type="checkbox"/> | | 59,8 | 64,6 | 74,1 |
| 548 | 28.11.2016 | 12:45 | C152 | 28 | ładowanie | <input checked="" type="checkbox"/> | | 54,8 | 58,1 | 68,1 |
| 549 | 28.11.2016 | 13:01 | PS28 | 28 | ładowanie | <input checked="" type="checkbox"/> | | 63,6 | 69,6 | 78,1 |

| Lp. | Data | Godzina | Typ statku powietrznego | Próg RWY | Typ operacji lotniczej | Warunki meteo | Zakłócenia | L _{Aeq} [dB] | L _{Amax} [dB] | L _{AE} [dB] |
|---|------------|---------|-------------------------|----------|------------------------|---------------|------------|-----------------------|------------------------|----------------------|
| 550 | 28.11.2016 | 13:02 | Beech King Air 250 | 28 | ładowanie | ☒ | | 61,9 | 67,0 | 79,0 |
| 551 | 28.11.2016 | 13:20 | P06T | 28 | ładowanie | | | 58,6 | 63,3 | 74,8 |
| 552 | 28.11.2016 | 13:26 | C152 | 28 | ładowanie | | | 70,0 | 74,9 | 85,5 |
| 553 | 28.11.2016 | 13:53 | SR22 | 28 | ładowanie | | | 65,0 | 73,3 | 78,3 |
| 554 | 28.11.2016 | 13:58 | C152 | 28 | ładowanie | | | 65,4 | 73,4 | 79,7 |
| 555 | 28.11.2016 | 14:07 | PS28 | 10 | start | | | 54,1 | 58,5 | 70,9 |
| 556 | 28.11.2016 | 14:10 | PA34 | 28 | ładowanie | | | 60,4 | 69,1 | 75,9 |
| 557 | 28.11.2016 | 15:21 | C172 | 28 | ładowanie | | | 56,8 | 63,0 | 73,4 |
| 558 | 28.11.2016 | 15:22 | C172 | 28 | ładowanie | | | 53,3 | 58,1 | 68,7 |
| 559 | 28.11.2016 | 15:31 | C172 | 28 | ładowanie | | | 54,4 | 59,3 | 70,0 |
| 560 | 28.11.2016 | 15:47 | SIRA | 28 | ładowanie | | | 58,1 | 64,6 | 73,9 |
| 561 | 28.11.2016 | 15:53 | C172 | 28 | ładowanie | | | 56,8 | 60,7 | 71,3 |
| 562 | 28.11.2016 | 15:58 | Socata TB21 | 28 | ładowanie | | | 56,8 | 62,2 | 72,4 |
| 563 | 28.11.2016 | 17:44 | C152 | 28 | ładowanie | | | 56,2 | 62,5 | 71,7 |
| 564 | 28.11.2016 | 17:52 | C- 150 | 28 | ładowanie | | | 55,1 | 62,1 | 69,7 |
| 565 | 28.11.2016 | 21:09 | BE58 | 28 | ładowanie | | | 62,7 | 71,0 | 78,7 |
| 566 | 29.11.2016 | 10:26 | EC35 | 28 | ładowanie | | | 62,2 | 68,8 | 78,4 |
| 567 | 30.11.2016 | 05:41 | EC35 | 28 | ładowanie | | | 63,7 | 73,4 | 79,1 |
| 568 | 30.11.2016 | 09:11 | PS28 | 10 | start | | | 58,3 | 63,2 | 74,7 |
| 569 | 30.11.2016 | 10:06 | M20D | 10 | start | | | 66,2 | 77,1 | 79,9 |
| 570 | 30.11.2016 | 10:15 | EC20 | 10 | start | | | 63,4 | 70,4 | 78,1 |
| średnia wartość poziomu ekspozycji L_{AEsr} [dB] | | | | | | | | | | 76,0 |
| odchylenie standardowe σ [dB] | | | | | | | | | | 3,4 |
| przedział ufności na poziomie 95% U_{AE} [dB] | | | | | | | | | | 0,5 |

Tabela 8. Wyniki pomiarów poziomu dźwięku dla poszczególnych zdarzeń akustycznych w ciągu miesiąca w punkcie pomiarowym PP.2.

| Lp. | Data | Godzina | Typ statku powietrznego | Próg RWY | Typ operacji lotniczej | Warunki meteo | Zakłócenia | L _{Aeq} [dB] | L _{Amax} [dB] | L _{AE} [dB] |
|-----|------------|---------|-------------------------|----------|------------------------|---------------|------------|-----------------------|------------------------|----------------------|
| 1 | 01.11.2016 | 09:04 | B412 | 10 | start | | | 56,3 | 67,9 | 73,0 |
| 2 | 01.11.2016 | 13:50 | EC35 | 10 | start | | | 55,7 | 64,1 | 75,6 |
| 3 | 01.11.2016 | 19:55 | BE58 | 10 | start | | | 53,7 | 60,6 | 71,6 |
| 4 | 02.11.2016 | 08:28 | C152 | 28 | ładowanie | | | 50,5 | 55,9 | 65,5 |
| 5 | 02.11.2016 | 08:40 | C152 | 28 | ładowanie | | | 56,2 | 63,5 | 71,1 |
| 6 | 02.11.2016 | 08:49 | C152 | 28 | ładowanie | | | 58,8 | 66,2 | 73,4 |
| 7 | 02.11.2016 | 08:56 | C152 | 28 | ładowanie | | | 61,8 | 70,0 | 75,9 |
| 8 | 02.11.2016 | 09:08 | PC12 | 28 | ładowanie | | | 62,5 | 71,8 | 76,6 |
| 9 | 02.11.2016 | 09:18 | C152 | 28 | ładowanie | | | 50,7 | 61,0 | 66,4 |
| 10 | 02.11.2016 | 09:27 | C152 | 28 | ładowanie | | | 58,7 | 66,1 | 73,9 |
| 11 | 02.11.2016 | 09:37 | C152 | 28 | ładowanie | | | 63,3 | 72,3 | 77,4 |



| Lp. | Data | Godzina | Typ statku powietrznego | Próg RWY | Typ operacji lotniczej | Warunki meteo | Zakłócenia | L _{Aeq} [dB] | L _{Amax} [dB] | L _{AE} [dB] |
|-----|------------|---------|-------------------------|----------|------------------------|---------------|------------|-----------------------|------------------------|----------------------|
| 12 | 02.11.2016 | 09:42 | SR22 | 28 | ładowanie | | | 59,4 | 66,7 | 72,7 |
| 13 | 02.11.2016 | 09:46 | C152 | 28 | ładowanie | | | 56,8 | 63,5 | 71,4 |
| 14 | 02.11.2016 | 10:49 | PS28 | 28 | ładowanie | | | 60,9 | 68,6 | 73,9 |
| 15 | 02.11.2016 | 11:09 | B407 | 28 | ładowanie | | | 58,3 | 64,8 | 74,5 |
| 16 | 02.11.2016 | 12:45 | EC30 | 28 | ładowanie | | | 48,9 | 53,9 | 64,4 |
| 17 | 02.11.2016 | 14:03 | C172 | 28 | ładowanie | | | 63,7 | 72,3 | 77,6 |
| 18 | 02.11.2016 | 14:10 | C172 | 28 | ładowanie | | | 58,7 | 65,4 | 73,1 |
| 19 | 02.11.2016 | 14:20 | C172 | 28 | ładowanie | | | 54,0 | 60,1 | 67,3 |
| 20 | 02.11.2016 | 14:27 | C172 | 28 | ładowanie | | | 58,0 | 65,7 | 72,0 |
| 21 | 02.11.2016 | 14:32 | EC35 | 28 | ładowanie | | | 70,3 | 76,9 | 84,2 |
| 22 | 02.11.2016 | 14:38 | PS28 | 28 | ładowanie | | | 69,3 | 75,8 | 84,8 |
| 23 | 02.11.2016 | 14:54 | C150 | 28 | ładowanie | | | 53,5 | 60,4 | 70,0 |
| 24 | 02.11.2016 | 14:57 | C152 | 28 | ładowanie | | | 62,2 | 71,8 | 76,0 |
| 25 | 02.11.2016 | 15:04 | PS28 | 28 | ładowanie | | | 72,9 | 78,4 | 90,1 |
| 26 | 02.11.2016 | 15:20 | PS28 | 28 | ładowanie | | | 63,0 | 70,5 | 76,0 |
| 27 | 02.11.2016 | 15:20 | C152 | 28 | ładowanie | | | 59,1 | 62,8 | 70,9 |
| 28 | 02.11.2016 | 15:29 | PS28 | 28 | ładowanie | | | 58,3 | 64,7 | 71,3 |
| 29 | 02.11.2016 | 15:40 | PS28 | 28 | ładowanie | | | 57,5 | 65,8 | 72,8 |
| 30 | 02.11.2016 | 15:42 | C152 | 28 | ładowanie | | | 57,7 | 63,1 | 72,6 |
| 31 | 02.11.2016 | 15:53 | C152 | 28 | ładowanie | | | 57,0 | 66,6 | 71,0 |
| 32 | 02.11.2016 | 15:57 | C152 | 28 | ładowanie | | | 59,5 | 67,4 | 73,7 |
| 33 | 02.11.2016 | 16:11 | C152 | 28 | ładowanie | | | 57,3 | 65,3 | 72,0 |
| 34 | 02.11.2016 | 16:18 | PS28 | 28 | ładowanie | | | 59,3 | 66,9 | 72,8 |
| 35 | 02.11.2016 | 16:31 | PS28 | 28 | ładowanie | | | 60,4 | 67,2 | 73,1 |
| 36 | 02.11.2016 | 16:44 | C152 | 28 | ładowanie | | | 54,8 | 61,8 | 68,6 |
| 37 | 02.11.2016 | 16:54 | C152 | 28 | ładowanie | | | 57,9 | 67,3 | 72,6 |
| 38 | 02.11.2016 | 17:07 | C152 | 28 | ładowanie | | | 59,6 | 67,4 | 74,2 |
| 39 | 02.11.2016 | 17:05 | EC35 | 28 | ładowanie | | | 67,0 | 76,6 | 81,9 |
| 40 | 02.11.2016 | 17:19 | C152 | 28 | ładowanie | | | 57,1 | 64,5 | 70,6 |
| 41 | 02.11.2016 | 17:27 | C152 | 28 | ładowanie | | | 54,5 | 61,9 | 70,5 |
| 42 | 02.11.2016 | 18:10 | PC12 | 28 | ładowanie | | | 57,1 | 65,7 | 71,4 |
| 43 | 02.11.2016 | 18:16 | C172 | 28 | ładowanie | | | 60,1 | 67,4 | 72,4 |
| 44 | 02.11.2016 | 18:56 | C172 | 28 | ładowanie | | | 51,8 | 55,8 | 69,5 |
| 45 | 02.11.2016 | 21:08 | BE58 | 28 | ładowanie | | | 48,8 | 57,2 | 66,2 |
| 46 | 02.11.2016 | 22:23 | EC35 | 28 | ładowanie | | | 47,2 | 51,1 | 66,3 |
| 47 | 03.11.2016 | 09:08 | B407 | 10 | start | | | 68,1 | 75,1 | 84,4 |
| 48 | 03.11.2016 | 10:21 | EC20 | 28 | ładowanie | | | 60,8 | 70,8 | 76,0 |
| 49 | 03.11.2016 | 10:41 | EC30 | 10 | start | | | 54,4 | 62,3 | 70,0 |
| 50 | 03.11.2016 | 10:44 | EC35 | 10 | start | | | 55,8 | 64,6 | 71,0 |
| 51 | 03.11.2016 | 11:00 | C152 | 10 | start | | | 62,2 | 72,1 | 77,2 |
| 52 | 03.11.2016 | 11:04 | EC35 | 10 | start | | | 56,6 | 65,1 | 71,6 |
| 53 | 03.11.2016 | 11:22 | EC35 | 10 | start | | | 55,2 | 61,4 | 72,0 |

| Lp. | Data | Godzina | Typ statku powietrznego | Próg RWY | Typ operacji lotniczej | Warunki meteo | Zakłócenia | L _{Aeq} [dB] | L _{Amax} [dB] | L _{AE} [dB] |
|-----|------------|---------|-------------------------|----------|------------------------|---------------|------------|-----------------------|------------------------|----------------------|
| 54 | 03.11.2016 | 11:31 | C152 | 28 | ładowanie | | | 52,3 | 57,6 | 65,9 |
| 55 | 03.11.2016 | 11:35 | EC35 | 10 | start | | | 55,7 | 62,9 | 70,5 |
| 56 | 03.11.2016 | 11:36 | C152 | 10 | start | | | 52,8 | 60,0 | 67,0 |
| 57 | 03.11.2016 | 11:41 | C172 | 10 | start | | | 58,3 | 67,5 | 73,8 |
| 58 | 03.11.2016 | 11:50 | EC35 | 10 | start | | | 59,6 | 67,6 | 74,2 |
| 59 | 03.11.2016 | 12:13 | EC35 | 10 | start | | | 57,1 | 64,4 | 71,3 |
| 60 | 03.11.2016 | 13:05 | C152 | 10 | start | | | 62,9 | 70,3 | 77,1 |
| 61 | 03.11.2016 | 13:29 | C152 | 10 | start | | | 58,6 | 64,2 | 74,3 |
| 62 | 03.11.2016 | 13:38 | C152 | 10 | start | | | 59,9 | 69,5 | 75,3 |
| 63 | 03.11.2016 | 13:43 | EC35 | 10 | start | | | 60,2 | 70,7 | 75,9 |
| 64 | 03.11.2016 | 13:48 | C152 | 10 | start | | | 59,2 | 65,4 | 74,4 |
| 65 | 03.11.2016 | 13:55 | EC35 | 10 | start | | | 59,9 | 68,5 | 74,2 |
| 66 | 03.11.2016 | 14:00 | C152 | 10 | start | | | 59,6 | 68,5 | 74,1 |
| 67 | 03.11.2016 | 14:08 | EC35 | 28 | ładowanie | | | 53,3 | 62,5 | 69,1 |
| 68 | 03.11.2016 | 14:10 | EC35 | 10 | start | | | 58,1 | 66,4 | 73,0 |
| 69 | 03.11.2016 | 14:12 | C152 | 10 | start | | | 57,1 | 65,3 | 71,6 |
| 70 | 03.11.2016 | 14:13 | M18 | 10 | start | | | 54,9 | 61,8 | 72,1 |
| 71 | 03.11.2016 | 14:15 | EC35 | 28 | ładowanie | | | 57,7 | 64,7 | 74,5 |
| 72 | 03.11.2016 | 14:25 | C152 | 28 | ładowanie | | | 54,2 | 65,6 | 72,5 |
| 73 | 03.11.2016 | 14:26 | C152 | 10 | start | | | 56,1 | 65,3 | 71,1 |
| 74 | 03.11.2016 | 14:33 | EC35 | 28 | ładowanie | | | 49,7 | 55,2 | 65,9 |
| 75 | 03.11.2016 | 14:36 | EC35 | 28 | ładowanie | | | 48,9 | 55,4 | 64,8 |
| 76 | 03.11.2016 | 14:39 | M18 | 28 | ładowanie | | | 53,6 | 63,8 | 71,1 |
| 77 | 03.11.2016 | 14:44 | EC35 | 28 | ładowanie | | | 56,2 | 64,2 | 72,6 |
| 78 | 03.11.2016 | 14:50 | C152 | 28 | ładowanie | | | 51,6 | 57,5 | 67,0 |
| 79 | 03.11.2016 | 14:53 | EC35 | 28 | ładowanie | | | 55,0 | 61,0 | 73,1 |
| 80 | 03.11.2016 | 15:01 | M18 | 28 | ładowanie | | | 58,9 | 66,8 | 75,5 |
| 81 | 03.11.2016 | 15:04 | EC35 | 28 | ładowanie | | | 59,1 | 65,4 | 77,9 |
| 82 | 03.11.2016 | 15:12 | C152 | 28 | ładowanie | | | 54,3 | 62,8 | 70,8 |
| 83 | 03.11.2016 | 15:24 | C152 | 28 | ładowanie | | | 56,7 | 62,2 | 71,1 |
| 84 | 03.11.2016 | 15:35 | C152 | 28 | ładowanie | | | 62,1 | 65,8 | 77,2 |
| 85 | 03.11.2016 | 15:56 | C152 | 28 | ładowanie | | | 59,9 | 68,4 | 75,4 |
| 86 | 03.11.2016 | 16:07 | C152 | 28 | ładowanie | | | 57,7 | 66,6 | 72,0 |
| 87 | 03.11.2016 | 16:18 | C152 | 28 | ładowanie | | | 60,9 | 68,6 | 74,9 |
| 88 | 03.11.2016 | 16:28 | EC35 | 28 | ładowanie | | | 58,6 | 67,4 | 73,1 |
| 89 | 03.11.2016 | 16:46 | EC35 | 28 | ładowanie | | | 54,0 | 62,5 | 71,9 |
| 90 | 03.11.2016 | 16:48 | M18 | 10 | start | | | 55,2 | 65,3 | 74,7 |
| 91 | 03.11.2016 | 16:55 | EC35 | 28 | ładowanie | | | 58,6 | 70,7 | 74,8 |
| 92 | 03.11.2016 | 17:03 | M18 | 28 | ładowanie | | | 58,1 | 68,9 | 73,5 |
| 93 | 03.11.2016 | 17:11 | EC35 | 28 | ładowanie | | | 57,3 | 66,4 | 73,3 |
| 94 | 03.11.2016 | 17:19 | M18 | 28 | ładowanie | | | 55,4 | 61,2 | 75,0 |
| 95 | 03.11.2016 | 17:24 | EC35 | 28 | ładowanie | | | 57,3 | 64,6 | 75,7 |



| Lp. | Data | Godzina | Typ statku powietrznego | Próg RWY | Typ operacji lotniczej | Warunki meteo | Zakłócenia | L _{Aeq} [dB] | L _{Amax} [dB] | L _{AE} [dB] |
|-----|------------|---------|-------------------------|----------|------------------------|---------------|------------|-----------------------|------------------------|----------------------|
| 96 | 03.11.2016 | 17:32 | M18 | 28 | ładowanie | | | 55,9 | 65,0 | 75,0 |
| 97 | 03.11.2016 | 17:34 | PC12 | 28 | ładowanie | | | 56,6 | 62,4 | 75,5 |
| 98 | 03.11.2016 | 17:36 | EC35 | 28 | ładowanie | | | 60,5 | 67,3 | 78,2 |
| 99 | 03.11.2016 | 17:38 | DA20 | 28 | ładowanie | | | 54,3 | 62,1 | 72,5 |
| 100 | 03.11.2016 | 17:45 | EC35 | 28 | ładowanie | | | 57,1 | 72,2 | 74,7 |
| 101 | 03.11.2016 | 17:48 | C152 | 10 | start | | | 56,5 | 62,9 | 73,3 |
| 102 | 03.11.2016 | 17:53 | C152 | 10 | start | | | 59,3 | 66,7 | 73,9 |
| 103 | 03.11.2016 | 17:54 | C152 | 10 | start | | | 57,7 | 64,3 | 73,2 |
| 104 | 03.11.2016 | 18:18 | EC35 | 10 | start | | | 62,2 | 70,7 | 78,6 |
| 105 | 03.11.2016 | 18:35 | C152 | 28 | ładowanie | | | 64,2 | 73,6 | 81,2 |
| 106 | 03.11.2016 | 18:39 | EC35 | 28 | ładowanie | | | 52,8 | 58,6 | 71,8 |
| 107 | 03.11.2016 | 18:47 | C152 | 28 | ładowanie | | | 59,8 | 67,1 | 74,9 |
| 108 | 03.11.2016 | 19:37 | C152 | 28 | ładowanie | | | 56,6 | 62,4 | 72,6 |
| 109 | 03.11.2016 | 19:44 | C152 | 28 | ładowanie | | | 58,4 | 66,3 | 72,4 |
| 110 | 03.11.2016 | 22:08 | EC35 | 28 | ładowanie | | | 62,7 | 68,6 | 79,4 |
| 111 | 04.11.2016 | 08:46 | C152 | 10 | start | | | 60,5 | 66,7 | 74,3 |
| 112 | 04.11.2016 | 08:53 | P06T | 10 | start | | | 60,5 | 68,5 | 74,4 |
| 113 | 04.11.2016 | 09:01 | C150 | 10 | start | | | 60,3 | 68,3 | 74,0 |
| 114 | 04.11.2016 | 09:35 | C152 | 28 | ładowanie | | | 57,6 | 65,9 | 72,0 |
| 115 | 04.11.2016 | 09:44 | C152 | 10 | start | | | 56,8 | 65,2 | 71,7 |
| 116 | 04.11.2016 | 09:51 | C152 | 28 | ładowanie | | | 56,5 | 65,2 | 70,7 |
| 117 | 04.11.2016 | 10:11 | AT3 | 28 | ładowanie | | | 56,3 | 65,2 | 71,9 |
| 118 | 04.11.2016 | 10:13 | AT3 | 10 | start | | | 55,9 | 64,5 | 70,4 |
| 119 | 04.11.2016 | 10:16 | C172 | 10 | start | | | 53,5 | 61,5 | 68,3 |
| 120 | 04.11.2016 | 10:23 | P06T | 28 | ładowanie | | | 62,4 | 71,1 | 75,9 |
| 121 | 04.11.2016 | 10:27 | Bristell | 10 | start | | | 59,4 | 68,8 | 73,8 |
| 122 | 04.11.2016 | 10:42 | C150 | 28 | ładowanie | | | 55,4 | 63,4 | 69,0 |
| 123 | 04.11.2016 | 10:47 | AT3 | 28 | ładowanie | | | 60,6 | 67,0 | 73,1 |
| 124 | 04.11.2016 | 10:49 | C152 | 10 | start | | | 64,1 | 74,2 | 78,8 |
| 125 | 04.11.2016 | 10:51 | PS28 | 28 | ładowanie | | | 59,5 | 63,4 | 75,7 |
| 126 | 04.11.2016 | 11:21 | PS28 | 28 | ładowanie | | | 61,8 | 72,3 | 76,4 |
| 127 | 05.11.2016 | 07:51 | EC35 | 28 | ładowanie | ☒ | | 54,4 | 60,7 | 72,5 |
| 128 | 05.11.2016 | 08:09 | EC35 | 10 | start | ☒ | | 58,9 | 68,2 | 73,6 |
| 129 | 05.11.2016 | 08:20 | PS28 | 10 | start | ☒ | | 55,3 | 63,3 | 70,6 |
| 130 | 05.11.2016 | 08:43 | C152 | 10 | start | ☒ | | 53,6 | 61,4 | 69,9 |
| 131 | 05.11.2016 | 08:53 | C152 | 28 | ładowanie | ☒ | | 53,1 | 61,0 | 69,7 |
| 132 | 05.11.2016 | 08:57 | C182 | 28 | ładowanie | ☒ | | 61,7 | 70,3 | 76,3 |
| 133 | 05.11.2016 | 08:55 | C152 | 10 | start | ☒ | | 53,7 | 60,0 | 69,2 |
| 134 | 05.11.2016 | 09:00 | C182 | 10 | start | ☒ | | 65,7 | 74,8 | 81,7 |
| 135 | 05.11.2016 | 09:03 | C152 | 28 | ładowanie | ☒ | | 56,9 | 64,0 | 72,0 |
| 136 | 05.11.2016 | 09:05 | C150 | 28 | ładowanie | ☒ | | 58,1 | 66,9 | 72,4 |
| 137 | 05.11.2016 | 09:16 | C150 | 28 | ładowanie | ☒ | | 55,4 | 60,7 | 70,5 |



| Lp. | Data | Godzina | Typ statku powietrznego | Próg RWY | Typ operacji lotniczej | Warunki meteo | Zakłócenia | L _{Aeq} [dB] | L _{Amax} [dB] | L _{AE} [dB] |
|-----|------------|---------|-------------------------|----------|------------------------|-------------------------------------|------------|-----------------------|------------------------|----------------------|
| 138 | 05.11.2016 | 09:29 | C150 | 10 | start | <input checked="" type="checkbox"/> | | 63,4 | 69,4 | 75,0 |
| 139 | 05.11.2016 | 09:57 | C172 | 10 | start | <input checked="" type="checkbox"/> | | 59,4 | 68,7 | 73,8 |
| 140 | 05.11.2016 | 09:58 | EC20 | 28 | ładowanie | <input checked="" type="checkbox"/> | | 56,4 | 66,1 | 72,4 |
| 141 | 05.11.2016 | 10:00 | C152 | 28 | ładowanie | <input checked="" type="checkbox"/> | | 57,8 | 66,2 | 72,8 |
| 142 | 05.11.2016 | 10:09 | C172 | 10 | start | <input checked="" type="checkbox"/> | | 55,0 | 60,2 | 71,6 |
| 143 | 05.11.2016 | 10:12 | C152 | 10 | start | <input checked="" type="checkbox"/> | | 56,1 | 61,2 | 72,5 |
| 144 | 05.11.2016 | 10:25 | C152 | 28 | ładowanie | <input checked="" type="checkbox"/> | | 55,5 | 62,0 | 70,2 |
| 145 | 05.11.2016 | 10:28 | AT3 | 28 | ładowanie | <input checked="" type="checkbox"/> | | 60,9 | 68,9 | 75,6 |
| 146 | 05.11.2016 | 10:36 | C172 | 10 | start | <input checked="" type="checkbox"/> | | 59,7 | 67,0 | 73,1 |
| 147 | 05.11.2016 | 10:44 | C172 | 10 | start | <input checked="" type="checkbox"/> | | 53,9 | 62,1 | 69,9 |
| 148 | 05.11.2016 | 10:49 | AT3 | 10 | start | <input checked="" type="checkbox"/> | | 54,6 | 61,0 | 69,0 |
| 149 | 05.11.2016 | 10:53 | C150 | 10 | start | <input checked="" type="checkbox"/> | | 57,2 | 65,9 | 72,9 |
| 150 | 05.11.2016 | 10:57 | AT3 | 10 | start | <input checked="" type="checkbox"/> | | 55,8 | 62,5 | 72,3 |
| 151 | 05.11.2016 | 11:02 | C172 | 10 | start | <input checked="" type="checkbox"/> | | 58,0 | 66,5 | 72,6 |
| 152 | 05.11.2016 | 11:03 | C150 | 10 | start | <input checked="" type="checkbox"/> | | 51,5 | 56,5 | 68,1 |
| 153 | 05.11.2016 | 11:06 | Bristell | 10 | start | <input checked="" type="checkbox"/> | | 53,3 | 58,8 | 69,2 |
| 154 | 05.11.2016 | 11:12 | PS28 | 10 | start | <input checked="" type="checkbox"/> | | 51,7 | 56,6 | 68,0 |
| 155 | 05.11.2016 | 11:13 | C172 | 10 | start | <input checked="" type="checkbox"/> | | 49,7 | 54,7 | 65,6 |
| 156 | 05.11.2016 | 11:20 | C152 | 28 | ładowanie | | | 52,4 | 59,6 | 68,6 |
| 157 | 05.11.2016 | 11:24 | C172 | 10 | start | | | 65,6 | 75,8 | 81,3 |
| 158 | 05.11.2016 | 11:37 | C172 | 10 | start | | | 60,3 | 68,6 | 75,5 |
| 159 | 05.11.2016 | 11:43 | C150 | 10 | start | | | 60,7 | 70,3 | 77,2 |
| 160 | 05.11.2016 | 11:50 | AT3 | 10 | start | | | 56,6 | 62,4 | 72,1 |
| 161 | 05.11.2016 | 11:51 | C172 | 10 | start | | | 57,1 | 62,1 | 72,9 |
| 162 | 05.11.2016 | 11:54 | PS28 | 10 | start | | | 61,2 | 68,5 | 75,0 |
| 163 | 05.11.2016 | 11:56 | SIRA | 10 | start | | | 56,7 | 63,5 | 74,0 |
| 164 | 05.11.2016 | 12:06 | C172 | 10 | start | | | 55,7 | 61,8 | 70,7 |
| 165 | 05.11.2016 | 12:07 | C150 | 10 | start | | | 55,3 | 62,1 | 72,0 |
| 166 | 05.11.2016 | 12:09 | RALL | 10 | start | | | 55,1 | 61,4 | 70,8 |
| 167 | 05.11.2016 | 12:11 | C172 | 10 | start | | | 56,4 | 61,8 | 71,2 |
| 168 | 05.11.2016 | 12:12 | C172 | 10 | start | | | 60,7 | 69,9 | 77,1 |
| 169 | 05.11.2016 | 12:16 | C152 | 10 | start | | | 52,1 | 57,6 | 69,1 |
| 170 | 05.11.2016 | 12:19 | C150 | 10 | start | | | 56,9 | 65,4 | 73,1 |
| 171 | 05.11.2016 | 12:21 | C152 | 10 | start | | | 60,5 | 69,1 | 75,6 |
| 172 | 05.11.2016 | 12:27 | PS28 | 28 | ładowanie | | | 56,7 | 61,2 | 72,1 |
| 173 | 05.11.2016 | 12:29 | C150 | 28 | ładowanie | | | 55,4 | 63,1 | 71,5 |
| 174 | 05.11.2016 | 12:30 | C150 | 10 | start | | | 59,9 | 69,1 | 75,7 |
| 175 | 05.11.2016 | 12:42 | C172 | 10 | start | | | 60,3 | 69,7 | 76,0 |
| 176 | 05.11.2016 | 12:45 | AT3 | 10 | start | | | 61,6 | 70,1 | 75,3 |
| 177 | 05.11.2016 | 12:46 | AT3 | 10 | start | | | 56,2 | 64,0 | 71,4 |
| 178 | 05.11.2016 | 12:47 | TB9 | 10 | start | | | 55,1 | 61,8 | 71,4 |
| 179 | 05.11.2016 | 12:56 | C152 | 10 | start | <input checked="" type="checkbox"/> | | 59,5 | 67,2 | 74,2 |



| Lp. | Data | Godzina | Typ statku powietrznego | Próg RWY | Typ operacji lotniczej | Warunki meteo | Zakłócenia | L _{Aeq} [dB] | L _{Amax} [dB] | L _{AE} [dB] |
|-----|------------|---------|-------------------------|----------|------------------------|-------------------------------------|------------|-----------------------|------------------------|----------------------|
| 180 | 05.11.2016 | 13:05 | PA28 | 10 | start | <input checked="" type="checkbox"/> | | 54,6 | 61,4 | 69,5 |
| 181 | 05.11.2016 | 13:12 | PS28 | 10 | start | <input checked="" type="checkbox"/> | | 50,8 | 58,1 | 66,7 |
| 182 | 05.11.2016 | 13:14 | PA28 | 10 | start | <input checked="" type="checkbox"/> | | 55,3 | 62,7 | 71,2 |
| 183 | 05.11.2016 | 13:15 | C172 | 10 | start | <input checked="" type="checkbox"/> | | 58,3 | 65,4 | 74,6 |
| 184 | 05.11.2016 | 13:18 | ZODIAK | 10 | start | <input checked="" type="checkbox"/> | | 55,6 | 60,2 | 72,5 |
| 185 | 05.11.2016 | 13:21 | C150 | 10 | start | <input checked="" type="checkbox"/> | | 55,6 | 65,0 | 71,0 |
| 186 | 05.11.2016 | 13:22 | PA28 | 10 | start | <input checked="" type="checkbox"/> | | 52,3 | 59,2 | 67,7 |
| 187 | 05.11.2016 | 13:28 | AT3 | 10 | start | <input checked="" type="checkbox"/> | | 53,6 | 60,9 | 69,6 |
| 188 | 05.11.2016 | 13:33 | C172 | 10 | start | <input checked="" type="checkbox"/> | | 62,5 | 70,7 | 80,4 |
| 189 | 05.11.2016 | 13:39 | C182 | 10 | start | <input checked="" type="checkbox"/> | | 58,6 | 68,8 | 74,9 |
| 190 | 05.11.2016 | 13:43 | C150 | 10 | start | <input checked="" type="checkbox"/> | | 56,1 | 64,9 | 72,7 |
| 191 | 05.11.2016 | 13:46 | RALL | 10 | start | <input checked="" type="checkbox"/> | | 60,0 | 68,7 | 74,6 |
| 192 | 05.11.2016 | 13:55 | C150 | 10 | start | <input checked="" type="checkbox"/> | | 57,2 | 63,5 | 70,8 |
| 193 | 05.11.2016 | 14:05 | C152 | 10 | start | <input checked="" type="checkbox"/> | | 54,1 | 60,5 | 70,2 |
| 194 | 05.11.2016 | 14:07 | P06T | 10 | start | <input checked="" type="checkbox"/> | | 54,3 | 62,6 | 70,5 |
| 195 | 05.11.2016 | 14:08 | C150 | 10 | start | <input checked="" type="checkbox"/> | | 52,1 | 58,0 | 69,2 |
| 196 | 05.11.2016 | 14:10 | PS28 | 10 | start | <input checked="" type="checkbox"/> | | 60,6 | 69,4 | 74,2 |
| 197 | 05.11.2016 | 14:12 | UL45 | 10 | start | <input checked="" type="checkbox"/> | | 58,0 | 64,5 | 71,4 |
| 198 | 05.11.2016 | 14:15 | C172 | 10 | start | <input checked="" type="checkbox"/> | | 55,6 | 63,3 | 70,9 |
| 199 | 05.11.2016 | 14:19 | DA20 | 10 | start | <input checked="" type="checkbox"/> | | 58,5 | 65,7 | 72,3 |
| 200 | 05.11.2016 | 14:20 | C172 | 10 | start | <input checked="" type="checkbox"/> | | 58,0 | 62,9 | 73,4 |
| 201 | 05.11.2016 | 14:21 | C172 | 10 | start | <input checked="" type="checkbox"/> | | 56,1 | 62,5 | 71,2 |
| 202 | 05.11.2016 | 14:22 | C150 | 10 | start | <input checked="" type="checkbox"/> | | 61,5 | 68,7 | 78,4 |
| 203 | 05.11.2016 | 14:26 | C152 | 10 | start | <input checked="" type="checkbox"/> | | 55,0 | 60,7 | 69,8 |
| 204 | 05.11.2016 | 14:27 | PS28 | 10 | start | <input checked="" type="checkbox"/> | | 55,0 | 63,0 | 71,0 |
| 205 | 05.11.2016 | 14:28 | AT3 | 10 | start | <input checked="" type="checkbox"/> | | 51,4 | 57,6 | 66,8 |
| 206 | 05.11.2016 | 14:33 | C150 | 10 | start | <input checked="" type="checkbox"/> | | 53,3 | 57,2 | 68,4 |
| 207 | 05.11.2016 | 14:51 | C152 | 10 | start | <input checked="" type="checkbox"/> | | 64,8 | 74,1 | 78,3 |
| 208 | 05.11.2016 | 14:58 | C152 | 10 | start | <input checked="" type="checkbox"/> | | 60,9 | 70,2 | 74,7 |
| 209 | 05.11.2016 | 14:59 | AT3 | 10 | start | <input checked="" type="checkbox"/> | | 60,6 | 68,3 | 74,6 |
| 210 | 05.11.2016 | 15:06 | PS28 | 10 | start | <input checked="" type="checkbox"/> | | 60,3 | 68,1 | 74,0 |
| 211 | 05.11.2016 | 15:06 | SBACH -42 | 10 | start | <input checked="" type="checkbox"/> | | 68,6 | 81,7 | 85,1 |
| 212 | 05.11.2016 | 15:07 | C150 | 10 | start | <input checked="" type="checkbox"/> | | 55,7 | 59,9 | 71,3 |
| 213 | 05.11.2016 | 15:11 | PS28 | 10 | start | <input checked="" type="checkbox"/> | | 54,2 | 60,7 | 69,9 |
| 214 | 05.11.2016 | 15:15 | TL96 | 10 | start | <input checked="" type="checkbox"/> | | 57,0 | 64,6 | 71,0 |
| 215 | 05.11.2016 | 15:17 | C150 | 10 | start | <input checked="" type="checkbox"/> | | 55,8 | 60,3 | 70,7 |
| 216 | 05.11.2016 | 15:23 | C152 | 10 | start | <input checked="" type="checkbox"/> | | 54,4 | 62,2 | 69,9 |
| 217 | 05.11.2016 | 15:27 | UL45 | 10 | start | <input checked="" type="checkbox"/> | | 54,1 | 59,0 | 68,8 |
| 218 | 05.11.2016 | 15:37 | C152 | 10 | start | <input checked="" type="checkbox"/> | | 52,7 | 58,6 | 68,6 |
| 219 | 05.11.2016 | 15:39 | PS28 | 10 | start | <input checked="" type="checkbox"/> | | 51,5 | 57,8 | 67,3 |
| 220 | 05.11.2016 | 15:49 | C152 | 10 | start | <input checked="" type="checkbox"/> | | 54,9 | 61,4 | 69,4 |
| 221 | 05.11.2016 | 16:08 | PS28 | 28 | ładowanie | <input checked="" type="checkbox"/> | | 54,8 | 60,1 | 70,1 |



| Lp. | Data | Godzina | Typ statku powietrznego | Próg RWY | Typ operacji lotniczej | Warunki meteo | Zakłócenia | L _{Aeq} [dB] | L _{Amax} [dB] | L _{AE} [dB] |
|-----|------------|---------|-------------------------|----------|------------------------|-------------------------------------|------------|-----------------------|------------------------|----------------------|
| 222 | 05.11.2016 | 16:25 | C152 | 28 | ładowanie | <input checked="" type="checkbox"/> | | 54,4 | 59,6 | 69,5 |
| 223 | 05.11.2016 | 16:28 | C152 | 10 | start | <input checked="" type="checkbox"/> | | 57,7 | 65,4 | 73,0 |
| 224 | 05.11.2016 | 16:29 | PS28 | 28 | ładowanie | <input checked="" type="checkbox"/> | | 59,7 | 67,2 | 73,3 |
| 225 | 05.11.2016 | 17:47 | C172 | 10 | start | <input checked="" type="checkbox"/> | | 57,6 | 66,9 | 72,5 |
| 226 | 05.11.2016 | 17:53 | C152 | 10 | start | <input checked="" type="checkbox"/> | | 54,0 | 59,6 | 67,8 |
| 227 | 05.11.2016 | 18:21 | C152 | 10 | start | <input checked="" type="checkbox"/> | | 52,3 | 58,4 | 68,1 |
| 228 | 05.11.2016 | 18:30 | C152 | 10 | start | <input checked="" type="checkbox"/> | | 52,7 | 59,5 | 67,4 |
| 229 | 05.11.2016 | 18:40 | EC35 | 10 | start | <input checked="" type="checkbox"/> | | 57,0 | 64,3 | 74,0 |
| 230 | 05.11.2016 | 19:11 | C152 | 10 | start | <input checked="" type="checkbox"/> | | 56,2 | 60,7 | 70,5 |
| 231 | 05.11.2016 | 19:14 | C172 | 10 | start | <input checked="" type="checkbox"/> | | 59,3 | 67,9 | 75,9 |
| 232 | 05.11.2016 | 19:19 | C152 | 10 | start | <input checked="" type="checkbox"/> | | 53,9 | 61,5 | 69,1 |
| 233 | 05.11.2016 | 19:30 | C152 | 10 | start | <input checked="" type="checkbox"/> | | 53,2 | 58,5 | 69,2 |
| 234 | 05.11.2016 | 19:41 | C152 | 10 | start | <input checked="" type="checkbox"/> | | 55,2 | 60,7 | 71,8 |
| 235 | 05.11.2016 | 19:48 | C152 | 28 | ładowanie | <input checked="" type="checkbox"/> | | 55,3 | 62,1 | 72,3 |
| 236 | 05.11.2016 | 23:12 | EC35 | 28 | ładowanie | <input checked="" type="checkbox"/> | | 52,1 | 57,8 | 71,4 |
| 237 | 06.11.2016 | 11:52 | PA34 | 10 | start | <input checked="" type="checkbox"/> | | 59,3 | 71,5 | 76,2 |
| 238 | 06.11.2016 | 12:34 | PA34 | 10 | start | <input checked="" type="checkbox"/> | | 54,7 | 64,2 | 70,8 |
| 239 | 06.11.2016 | 13:05 | EC30 | 28 | ładowanie | <input checked="" type="checkbox"/> | | 55,2 | 68,2 | 74,2 |
| 240 | 06.11.2016 | 13:48 | C152 | 10 | start | <input checked="" type="checkbox"/> | | 48,5 | 54,2 | 62,4 |
| 241 | 06.11.2016 | 13:58 | C152 | 28 | ładowanie | <input checked="" type="checkbox"/> | | 56,4 | 67,2 | 73,1 |
| 242 | 06.11.2016 | 16:29 | PA34 | 28 | ładowanie | <input checked="" type="checkbox"/> | | 40,2 | 47,5 | 60,0 |
| 243 | 07.11.2016 | 10:57 | PA34 | 10 | start | <input checked="" type="checkbox"/> | | 58,6 | 72,1 | 75,4 |
| 244 | 07.11.2016 | 11:14 | BE58 | 10 | start | <input checked="" type="checkbox"/> | | 54,4 | 63,8 | 72,5 |
| 245 | 07.11.2016 | 11:22 | EC35 | 10 | start | <input checked="" type="checkbox"/> | | 58,1 | 68,7 | 74,3 |
| 246 | 07.11.2016 | 12:10 | EC30 | 28 | ładowanie | <input checked="" type="checkbox"/> | | 57,9 | 65,6 | 74,3 |
| 247 | 07.11.2016 | 12:45 | EC35 | 28 | ładowanie | <input checked="" type="checkbox"/> | | 54,8 | 63,8 | 71,9 |
| 248 | 07.11.2016 | 14:28 | PA34 | 28 | ładowanie | <input checked="" type="checkbox"/> | | 54,4 | 63,4 | 71,1 |
| 249 | 07.11.2016 | 14:47 | M20D | 28 | ładowanie | <input checked="" type="checkbox"/> | | 55,9 | 65,9 | 72,0 |
| 250 | 07.11.2016 | 15:29 | HU-269 Schweizer | 28 | ładowanie | <input checked="" type="checkbox"/> | | 56,9 | 66,9 | 73,4 |
| 251 | 07.11.2016 | 16:18 | R44 | 28 | ładowanie | <input checked="" type="checkbox"/> | | 57,2 | 65,6 | 73,7 |
| 252 | 07.11.2016 | 16:27 | PA34 | 28 | ładowanie | <input checked="" type="checkbox"/> | | 64,7 | 71,9 | 82,5 |
| 253 | 08.11.2016 | 05:13 | M20D | 10 | start | <input checked="" type="checkbox"/> | | 48,7 | 60,0 | 65,4 |
| 254 | 08.11.2016 | 05:28 | PA34 | 10 | start | <input checked="" type="checkbox"/> | | 54,1 | 62,9 | 70,9 |
| 255 | 08.11.2016 | 08:57 | R44 | 10 | start | <input checked="" type="checkbox"/> | | 55,9 | 60,7 | 72,5 |
| 256 | 08.11.2016 | 10:11 | PA34 | 10 | start | <input checked="" type="checkbox"/> | | 59,9 | 69,4 | 75,1 |
| 257 | 08.11.2016 | 10:54 | EC20 | 10 | start | <input checked="" type="checkbox"/> | | 61,5 | 66,6 | 77,8 |
| 258 | 08.11.2016 | 11:26 | RALL | 10 | start | <input checked="" type="checkbox"/> | | 56,9 | 65,5 | 73,4 |
| 259 | 08.11.2016 | 12:24 | PA34 | 28 | ładowanie | | | 60,1 | 69,9 | 75,1 |
| 260 | 08.11.2016 | 12:32 | RALL | 28 | ładowanie | | | 60,3 | 67,5 | 73,3 |
| 261 | 08.11.2016 | 12:44 | C182 | 10 | start | | | 60,2 | 70,0 | 75,2 |
| 262 | 08.11.2016 | 12:46 | HU-269 Schweizer | 10 | start | | | 57,7 | 64,5 | 73,5 |

| Lp. | Data | Godzina | Typ statku powietrznego | Próg RWY | Typ operacji lotniczej | Warunki meteo | Zakłócenia | L _{Aeq} [dB] | L _{Amax} [dB] | L _{AE} [dB] |
|-----|------------|---------|-------------------------|----------|------------------------|---------------|------------|-----------------------|------------------------|----------------------|
| | | | er | | | | | | | |
| 263 | 08.11.2016 | 12:51 | C152 | 10 | start | | | 59,4 | 69,4 | 76,6 |
| 264 | 08.11.2016 | 12:52 | C152 | 10 | start | | | 58,8 | 64,4 | 73,3 |
| 265 | 08.11.2016 | 13:00 | C152 | 10 | start | | | 59,6 | 68,5 | 74,3 |
| 266 | 08.11.2016 | 13:01 | PS28 | 10 | start | | | 52,9 | 61,0 | 69,2 |
| 267 | 08.11.2016 | 13:04 | C152 | 10 | start | | | 63,6 | 73,2 | 77,4 |
| 268 | 08.11.2016 | 13:04 | C150 | 10 | start | | | 52,7 | 58,3 | 68,1 |
| 269 | 08.11.2016 | 13:10 | C152 | 10 | start | | | 54,1 | 59,8 | 70,6 |
| 270 | 08.11.2016 | 13:12 | C152 | 10 | start | | | 57,7 | 64,1 | 73,9 |
| 271 | 08.11.2016 | 13:13 | C150 | 10 | start | | | 53,7 | 59,2 | 69,4 |
| 272 | 08.11.2016 | 13:21 | C152 | 10 | start | | | 52,5 | 57,2 | 68,1 |
| 273 | 08.11.2016 | 13:22 | C152 | 10 | start | | | 49,4 | 53,9 | 65,5 |
| 274 | 08.11.2016 | 13:23 | PS28 | 10 | start | | | 52,8 | 58,3 | 68,7 |
| 275 | 08.11.2016 | 13:25 | PS28 | 10 | start | | | 51,8 | 59,7 | 67,4 |
| 276 | 08.11.2016 | 13:27 | C150 | 10 | start | | | 56,7 | 62,3 | 69,8 |
| 277 | 08.11.2016 | 13:33 | Bristell | 10 | start | | | 64,4 | 70,8 | 78,7 |
| 278 | 08.11.2016 | 13:34 | C150 | 10 | start | | | 64,8 | 75,1 | 79,2 |
| 279 | 08.11.2016 | 13:35 | C152 | 10 | start | | | 54,5 | 59,7 | 70,2 |
| 280 | 08.11.2016 | 13:38 | C152 | 10 | start | | | 53,2 | 58,1 | 69,2 |
| 281 | 08.11.2016 | 13:40 | PS28 | 10 | start | | | 63,2 | 72,0 | 77,3 |
| 282 | 08.11.2016 | 13:45 | C150 | 10 | start | | | 49,8 | 54,9 | 65,4 |
| 283 | 08.11.2016 | 13:48 | P06T | 10 | start | | | 54,6 | 60,9 | 69,3 |
| 284 | 08.11.2016 | 13:52 | C150 | 10 | start | | | 55,7 | 62,0 | 71,8 |
| 285 | 08.11.2016 | 13:54 | C182 | 10 | start | | | 53,4 | 58,4 | 67,8 |
| 286 | 08.11.2016 | 14:09 | C172 | 10 | start | | | 58,3 | 63,2 | 74,4 |
| 287 | 08.11.2016 | 14:17 | PS28 | 10 | start | | | 58,5 | 69,1 | 72,9 |
| 288 | 08.11.2016 | 14:19 | SIRA | 10 | start | | | 57,8 | 63,8 | 73,6 |
| 289 | 08.11.2016 | 14:21 | C152 | 10 | start | | | 61,6 | 64,9 | 77,8 |
| 290 | 08.11.2016 | 14:22 | HU-269 Schweizer | 28 | ładowanie | | | 56,5 | 63,3 | 73,0 |
| 291 | 08.11.2016 | 14:29 | PA28 | 28 | ładowanie | | | 58,0 | 61,5 | 74,2 |
| 292 | 08.11.2016 | 14:33 | R66 | 28 | ładowanie | | | 54,9 | 60,3 | 71,5 |
| 293 | 08.11.2016 | 14:34 | Piper PA-46 - Meridi | 28 | ładowanie | | | 59,0 | 66,9 | 72,0 |
| 294 | 08.11.2016 | 14:35 | C152 | 28 | ładowanie | | | 57,0 | 63,7 | 72,1 |
| 295 | 08.11.2016 | 14:38 | C150 | 28 | ładowanie | | | 57,6 | 63,3 | 73,1 |
| 296 | 08.11.2016 | 14:40 | SIRA | 28 | ładowanie | | | 54,4 | 61,5 | 69,3 |
| 297 | 08.11.2016 | 14:42 | C152 | 28 | ładowanie | | | 51,8 | 57,3 | 67,1 |
| 298 | 08.11.2016 | 14:42 | PS28 | 28 | ładowanie | | | 58,9 | 66,9 | 72,9 |
| 299 | 08.11.2016 | 14:45 | C182 | 28 | ładowanie | | | 55,9 | 63,3 | 69,2 |
| 300 | 08.11.2016 | 14:46 | C172 | 28 | ładowanie | | | 54,5 | 60,8 | 71,0 |
| 301 | 08.11.2016 | 14:50 | C152 | 28 | ładowanie | | | 58,0 | 67,4 | 73,6 |

| Lp. | Data | Godzina | Typ statku powietrznego | Próg RWY | Typ operacji lotniczej | Warunki meteo | Zakłócenia | L _{Aeq} [dB] | L _{Amax} [dB] | L _{AE} [dB] |
|-----|------------|---------|-------------------------|----------|------------------------|---------------|------------|-----------------------|------------------------|----------------------|
| 302 | 08.11.2016 | 14:56 | R66 | 10 | start | | | 61,4 | 69,4 | 75,5 |
| 303 | 08.11.2016 | 14:59 | C172 | 10 | start | | | 51,9 | 57,7 | 68,0 |
| 304 | 08.11.2016 | 15:00 | RALL | 10 | start | | | 60,8 | 67,2 | 78,0 |
| 305 | 08.11.2016 | 15:01 | SIRA | 10 | start | | | 59,4 | 66,7 | 75,6 |
| 306 | 08.11.2016 | 15:02 | C152 | 10 | start | | | 57,8 | 62,9 | 73,7 |
| 307 | 08.11.2016 | 15:04 | C- 150 | 10 | start | | | 59,5 | 67,6 | 75,2 |
| 308 | 08.11.2016 | 15:05 | C150 | 10 | start | | | 54,3 | 59,8 | 68,9 |
| 309 | 08.11.2016 | 15:06 | C150 | 10 | start | | | 58,5 | 65,6 | 73,6 |
| 310 | 08.11.2016 | 15:07 | PS28 | 10 | start | | | 52,7 | 59,8 | 68,3 |
| 311 | 08.11.2016 | 15:07 | C152 | 10 | start | | | 51,4 | 57,5 | 67,8 |
| 312 | 08.11.2016 | 15:10 | C182 | 10 | start | | | 60,8 | 64,2 | 75,6 |
| 313 | 08.11.2016 | 15:10 | C152 | 10 | start | | | 60,2 | 68,3 | 74,4 |
| 314 | 08.11.2016 | 15:17 | C- 150 | 10 | start | | | 61,0 | 68,1 | 74,4 |
| 315 | 08.11.2016 | 15:19 | C152 | 28 | ładowanie | | | 55,5 | 63,0 | 71,2 |
| 316 | 08.11.2016 | 15:20 | PS28 | 28 | ładowanie | | | 60,2 | 66,9 | 73,9 |
| 317 | 08.11.2016 | 15:22 | C152 | 28 | ładowanie | | | 60,8 | 67,2 | 74,1 |
| 318 | 08.11.2016 | 15:24 | RALL | 28 | ładowanie | | | 52,1 | 56,9 | 69,1 |
| 319 | 08.11.2016 | 15:26 | PS28 | 28 | ładowanie | | | 52,3 | 57,9 | 68,2 |
| 320 | 08.11.2016 | 15:28 | C- 150 | 28 | ładowanie | | | 58,6 | 66,4 | 73,6 |
| 321 | 08.11.2016 | 15:30 | C150 | 28 | ładowanie | | | 51,5 | 57,1 | 66,8 |
| 322 | 08.11.2016 | 15:31 | S330 | 28 | ładowanie | | | 53,3 | 60,4 | 68,2 |
| 323 | 08.11.2016 | 15:33 | P06T | 28 | ładowanie | | | 63,3 | 73,1 | 78,2 |
| 324 | 08.11.2016 | 15:34 | B427 | 28 | ładowanie | | | 55,7 | 60,0 | 70,9 |
| 325 | 08.11.2016 | 15:34 | C152 | 28 | ładowanie | | | 55,1 | 60,0 | 72,0 |
| 326 | 08.11.2016 | 15:35 | C152 | 28 | ładowanie | | | 60,8 | 67,7 | 76,0 |
| 327 | 08.11.2016 | 15:37 | AT3 | 28 | ładowanie | | | 60,7 | 66,8 | 77,0 |
| 328 | 08.11.2016 | 15:38 | C- 150 | 28 | ładowanie | | | 59,1 | 67,4 | 74,2 |
| 329 | 08.11.2016 | 15:41 | C152 | 28 | ładowanie | | | 60,3 | 69,2 | 76,0 |
| 330 | 08.11.2016 | 15:43 | C150 | 28 | ładowanie | | | 53,5 | 58,9 | 68,8 |
| 331 | 08.11.2016 | 15:44 | C152 | 28 | ładowanie | | | 57,1 | 60,8 | 73,3 |
| 332 | 08.11.2016 | 15:46 | SR22 | 28 | ładowanie | | | 59,2 | 69,0 | 74,5 |
| 333 | 08.11.2016 | 15:51 | C182 | 28 | ładowanie | | | 60,4 | 66,3 | 75,0 |
| 334 | 08.11.2016 | 15:53 | Bristell | 28 | ładowanie | | | 55,0 | 63,9 | 71,1 |
| 335 | 08.11.2016 | 15:55 | C172 | 28 | ładowanie | | | 59,1 | 67,1 | 72,7 |
| 336 | 08.11.2016 | 15:55 | C152 | 28 | ładowanie | | | 58,8 | 64,7 | 71,8 |
| 337 | 08.11.2016 | 15:55 | AT3 | 28 | ładowanie | | | 56,6 | 64,2 | 71,3 |
| 338 | 08.11.2016 | 16:00 | C150 | 28 | ładowanie | | | 62,2 | 68,4 | 75,6 |
| 339 | 08.11.2016 | 16:00 | C- 150 | 28 | ładowanie | | | 62,1 | 72,5 | 76,1 |
| 340 | 08.11.2016 | 16:01 | AT3 | 28 | ładowanie | | | 65,2 | 72,5 | 79,4 |
| 341 | 08.11.2016 | 16:04 | EC35 | 28 | ładowanie | | | 60,6 | 65,3 | 73,1 |
| 342 | 08.11.2016 | 16:13 | AT3 | 28 | ładowanie | | | 58,6 | 68,1 | 74,7 |
| 343 | 08.11.2016 | 16:14 | Bristell | 28 | ładowanie | | | 59,5 | 67,6 | 73,8 |

| Lp. | Data | Godzina | Typ statku powietrznego | Próg RWY | Typ operacji lotniczej | Warunki meteo | Zakłócenia | L _{Aeq} [dB] | L _{Amax} [dB] | L _{AE} [dB] |
|-----|------------|---------|-------------------------|----------|------------------------|---------------|------------|-----------------------|------------------------|----------------------|
| 344 | 08.11.2016 | 16:28 | EC35 | 28 | ładowanie | | | 57,8 | 66,9 | 74,0 |
| 345 | 08.11.2016 | 16:29 | EC35 | 10 | start | | | 60,4 | 72,7 | 78,1 |
| 346 | 08.11.2016 | 16:51 | EC35 | 10 | start | | | 52,2 | 57,5 | 70,0 |
| 347 | 08.11.2016 | 16:53 | EC35 | 10 | start | | | 53,8 | 59,6 | 70,4 |
| 348 | 08.11.2016 | 17:03 | EC35 | 10 | start | | | 53,8 | 61,0 | 70,6 |
| 349 | 08.11.2016 | 17:14 | PA28 | 10 | start | ☒ | | 61,3 | 69,2 | 79,4 |
| 350 | 08.11.2016 | 17:24 | C- 150 | 10 | start | | | 54,3 | 59,4 | 70,7 |
| 351 | 08.11.2016 | 17:26 | EC35 | 10 | start | | | 58,1 | 69,3 | 74,6 |
| 352 | 08.11.2016 | 17:38 | EC35 | 10 | start | ☒ | | 57,1 | 63,0 | 74,2 |
| 353 | 08.11.2016 | 17:43 | C152 | 10 | start | ☒ | | 56,2 | 60,3 | 70,3 |
| 354 | 08.11.2016 | 17:45 | C152 | 10 | start | ☒ | | 54,2 | 58,1 | 68,4 |
| 355 | 08.11.2016 | 17:49 | C- 150 | 10 | start | ☒ | | 57,3 | 61,4 | 74,9 |
| 356 | 08.11.2016 | 17:50 | C152 | 10 | start | ☒ | | 53,0 | 58,1 | 69,3 |
| 357 | 08.11.2016 | 17:53 | C152 | 10 | start | ☒ | | 56,9 | 66,6 | 73,8 |
| 358 | 08.11.2016 | 17:59 | EC35 | 10 | start | ☒ | | 54,8 | 60,4 | 72,5 |
| 359 | 08.11.2016 | 18:02 | C152 | 10 | start | ☒ | | 54,2 | 58,8 | 69,3 |
| 360 | 08.11.2016 | 18:07 | C152 | 10 | start | ☒ | | 51,8 | 56,5 | 69,0 |
| 361 | 08.11.2016 | 18:11 | C152 | 10 | start | ☒ | | 57,5 | 62,3 | 72,7 |
| 362 | 08.11.2016 | 18:16 | C152 | 10 | start | ☒ | | 50,9 | 56,1 | 67,6 |
| 363 | 08.11.2016 | 18:21 | C152 | 10 | start | ☒ | | 53,4 | 59,0 | 70,0 |
| 364 | 08.11.2016 | 18:26 | C152 | 10 | start | ☒ | | 52,2 | 58,7 | 68,2 |
| 365 | 08.11.2016 | 18:30 | C152 | 10 | start | ☒ | | 53,1 | 59,5 | 69,7 |
| 366 | 08.11.2016 | 18:36 | C152 | 10 | start | ☒ | | 50,4 | 55,1 | 67,1 |
| 367 | 08.11.2016 | 18:56 | EC35 | 10 | start | ☒ | | 53,8 | 58,7 | 71,3 |
| 368 | 08.11.2016 | 19:06 | C152 | 10 | start | ☒ | | 53,1 | 58,0 | 69,8 |
| 369 | 08.11.2016 | 19:13 | C152 | 10 | start | ☒ | | 58,5 | 65,6 | 72,9 |
| 370 | 08.11.2016 | 19:27 | C152 | 10 | start | ☒ | | 55,6 | 61,6 | 72,5 |
| 371 | 08.11.2016 | 19:36 | C152 | 10 | start | ☒ | | 53,6 | 59,8 | 70,3 |
| 372 | 08.11.2016 | 19:46 | C152 | 10 | start | ☒ | | 50,9 | 55,4 | 67,8 |
| 373 | 08.11.2016 | 20:12 | EC35 | 28 | ładowanie | ☒ | | 55,9 | 67,7 | 72,4 |
| 374 | 09.11.2016 | 07:46 | EC35 | 10 | start | ☒ | | 59,4 | 66,9 | 75,5 |
| 375 | 09.11.2016 | 08:00 | EC35 | 28 | ładowanie | ☒ | | 60,1 | 70,3 | 75,7 |
| 376 | 09.11.2016 | 08:01 | EC35 | 10 | start | ☒ | | 54,2 | 60,2 | 68,0 |
| 377 | 09.11.2016 | 08:13 | EC35 | 28 | ładowanie | ☒ | | 59,5 | 69,4 | 75,0 |
| 378 | 09.11.2016 | 08:15 | EC35 | 10 | start | ☒ | | 59,8 | 67,0 | 78,0 |
| 379 | 09.11.2016 | 08:20 | Piper PA-46 - Meridi | 10 | start | ☒ | | 65,3 | 71,1 | 84,5 |
| 380 | 09.11.2016 | 08:26 | EC35 | 28 | ładowanie | ☒ | | 50,6 | 58,9 | 68,8 |
| 381 | 10.11.2016 | 08:00 | EC35 | 10 | start | ☒ | | 57,2 | 64,0 | 72,9 |
| 382 | 10.11.2016 | 08:55 | EC35 | 28 | ładowanie | ☒ | | 57,1 | 65,5 | 72,3 |
| 383 | 10.11.2016 | 09:07 | EC35 | 10 | start | ☒ | | 57,0 | 66,3 | 72,3 |
| 384 | 10.11.2016 | 09:14 | PA34 | 28 | ładowanie | ☒ | | 55,6 | 63,6 | 71,3 |

| Lp. | Data | Godzina | Typ statku powietrznego | Próg RWY | Typ operacji lotniczej | Warunki meteo | Zakłócenia | L _{Aeq} [dB] | L _{Amax} [dB] | L _{AE} [dB] |
|-----|------------|---------|-------------------------|----------|------------------------|-------------------------------------|------------|-----------------------|------------------------|----------------------|
| 385 | 10.11.2016 | 09:48 | EC35 | 10 | start | <input checked="" type="checkbox"/> | | 63,7 | 70,3 | 79,5 |
| 386 | 10.11.2016 | 09:51 | EC30 | 10 | start | <input checked="" type="checkbox"/> | | 59,8 | 65,9 | 76,3 |
| 387 | 10.11.2016 | 10:07 | EC35 | 10 | start | <input checked="" type="checkbox"/> | | 60,4 | 72,2 | 76,0 |
| 388 | 10.11.2016 | 10:23 | C-206 | 10 | start | <input checked="" type="checkbox"/> | | 60,4 | 68,9 | 74,4 |
| 389 | 10.11.2016 | 10:26 | C152 | 10 | start | <input checked="" type="checkbox"/> | | 56,4 | 64,1 | 70,1 |
| 390 | 10.11.2016 | 10:26 | C172 | 10 | start | <input checked="" type="checkbox"/> | | 52,2 | 58,9 | 67,6 |
| 391 | 10.11.2016 | 10:30 | PS28 | 10 | start | <input checked="" type="checkbox"/> | | 53,8 | 62,8 | 69,1 |
| 392 | 10.11.2016 | 10:34 | EC35 | 10 | start | <input checked="" type="checkbox"/> | | 57,7 | 68,1 | 73,6 |
| 393 | 10.11.2016 | 10:39 | PS28 | 10 | start | <input checked="" type="checkbox"/> | | 57,6 | 66,6 | 74,3 |
| 394 | 10.11.2016 | 10:41 | C152 | 10 | start | <input checked="" type="checkbox"/> | | 51,5 | 57,2 | 65,6 |
| 395 | 10.11.2016 | 10:43 | C152 | 10 | start | <input checked="" type="checkbox"/> | | 56,3 | 64,2 | 71,2 |
| 396 | 10.11.2016 | 10:49 | C172 | 10 | start | <input checked="" type="checkbox"/> | | 46,2 | 53,7 | 61,5 |
| 397 | 10.11.2016 | 10:51 | EC35 | 28 | ładowanie | <input checked="" type="checkbox"/> | | 66,1 | 72,0 | 82,9 |
| 398 | 10.11.2016 | 10:55 | C152 | 10 | start | <input checked="" type="checkbox"/> | | 59,7 | 68,2 | 73,1 |
| 399 | 10.11.2016 | 10:59 | PS28 | 10 | start | <input checked="" type="checkbox"/> | | 55,8 | 64,8 | 71,5 |
| 400 | 10.11.2016 | 11:02 | PS28 | 10 | start | <input checked="" type="checkbox"/> | | 54,8 | 64,4 | 71,7 |
| 401 | 10.11.2016 | 11:09 | PA34 | 10 | start | <input checked="" type="checkbox"/> | | 56,5 | 61,7 | 72,9 |
| 402 | 10.11.2016 | 11:14 | PS28 | 10 | start | <input checked="" type="checkbox"/> | | 63,7 | 70,7 | 75,8 |
| 403 | 10.11.2016 | 11:16 | C152 | 10 | start | <input checked="" type="checkbox"/> | | 61,7 | 67,8 | 73,4 |
| 404 | 10.11.2016 | 11:24 | PS28 | 10 | start | <input checked="" type="checkbox"/> | | 61,7 | 69,7 | 74,9 |
| 405 | 10.11.2016 | 11:26 | C152 | 10 | start | <input checked="" type="checkbox"/> | | 60,4 | 68,1 | 74,1 |
| 406 | 10.11.2016 | 11:27 | EC35 | 10 | start | <input checked="" type="checkbox"/> | | 58,1 | 67,7 | 73,9 |
| 407 | 10.11.2016 | 11:49 | R44 | 10 | start | <input checked="" type="checkbox"/> | | 55,1 | 61,3 | 69,4 |
| 408 | 10.11.2016 | 11:52 | EC35 | 28 | ładowanie | <input checked="" type="checkbox"/> | | 61,7 | 70,4 | 79,4 |
| 409 | 10.11.2016 | 11:55 | EC35 | 28 | ładowanie | <input checked="" type="checkbox"/> | | 55,5 | 68,8 | 74,3 |
| 410 | 10.11.2016 | 11:57 | PS28 | 28 | ładowanie | <input checked="" type="checkbox"/> | | 52,3 | 56,8 | 69,4 |
| 411 | 10.11.2016 | 11:58 | C152 | 28 | ładowanie | <input checked="" type="checkbox"/> | | 49,0 | 55,3 | 65,0 |
| 412 | 10.11.2016 | 12:01 | PS28 | 28 | ładowanie | <input checked="" type="checkbox"/> | | 49,3 | 54,1 | 63,0 |
| 413 | 10.11.2016 | 12:05 | PS28 | 28 | ładowanie | <input checked="" type="checkbox"/> | | 49,2 | 55,1 | 64,0 |
| 414 | 10.11.2016 | 12:07 | C152 | 28 | ładowanie | <input checked="" type="checkbox"/> | | 51,8 | 56,7 | 65,9 |
| 415 | 10.11.2016 | 12:08 | EC35 | 28 | ładowanie | <input checked="" type="checkbox"/> | | 56,8 | 64,0 | 73,5 |
| 416 | 10.11.2016 | 12:15 | PS28 | 28 | ładowanie | <input checked="" type="checkbox"/> | | 54,9 | 63,1 | 69,1 |
| 417 | 10.11.2016 | 12:19 | C172 | 28 | ładowanie | <input checked="" type="checkbox"/> | | 55,3 | 61,7 | 68,6 |
| 418 | 10.11.2016 | 12:21 | EC35 | 28 | ładowanie | <input checked="" type="checkbox"/> | | 62,8 | 70,0 | 74,8 |
| 419 | 10.11.2016 | 12:24 | PS28 | 28 | ładowanie | <input checked="" type="checkbox"/> | | 50,9 | 56,2 | 65,4 |
| 420 | 10.11.2016 | 12:30 | C172 | 28 | ładowanie | <input checked="" type="checkbox"/> | | 61,2 | 69,3 | 74,7 |
| 421 | 10.11.2016 | 12:36 | EC35 | 28 | ładowanie | <input checked="" type="checkbox"/> | | 61,4 | 67,4 | 77,6 |
| 422 | 10.11.2016 | 12:41 | C152 | 28 | ładowanie | <input checked="" type="checkbox"/> | | 58,3 | 64,4 | 71,1 |
| 423 | 10.11.2016 | 12:42 | C172 | 28 | ładowanie | <input checked="" type="checkbox"/> | | 56,7 | 62,8 | 71,0 |
| 424 | 10.11.2016 | 13:00 | C182 | 28 | ładowanie | <input checked="" type="checkbox"/> | | 60,1 | 67,6 | 74,5 |
| 425 | 10.11.2016 | 13:02 | C172 | 28 | ładowanie | <input checked="" type="checkbox"/> | | 63,9 | 68,4 | 76,2 |
| 426 | 10.11.2016 | 13:06 | PS28 | 28 | ładowanie | <input checked="" type="checkbox"/> | | 52,0 | 62,7 | 67,6 |



| Lp. | Data | Godzina | Typ statku powietrznego | Próg RWY | Typ operacji lotniczej | Warunki meteo | Zakłócenia | L _{Aeq} [dB] | L _{Amax} [dB] | L _{AE} [dB] |
|-----|------------|---------|-------------------------|----------|------------------------|---------------|------------|-----------------------|------------------------|----------------------|
| 427 | 10.11.2016 | 13:23 | P06T | 10 | start | ☒ | | 58,0 | 66,0 | 72,1 |
| 428 | 10.11.2016 | 13:24 | C172 | 10 | start | ☒ | | 60,3 | 68,0 | 74,1 |
| 429 | 10.11.2016 | 13:32 | EC35 | 10 | start | ☒ | | 57,2 | 65,9 | 71,8 |
| 430 | 10.11.2016 | 13:47 | P06T | 10 | start | ☒ | | 55,2 | 65,9 | 71,7 |
| 431 | 10.11.2016 | 13:50 | EC35 | 28 | ładowanie | ☒ | | 58,7 | 68,3 | 76,5 |
| 432 | 10.11.2016 | 14:00 | PS28 | 28 | ładowanie | ☒ | | 53,5 | 59,1 | 68,6 |
| 433 | 10.11.2016 | 14:03 | EC35 | 10 | start | ☒ | | 65,1 | 73,3 | 81,4 |
| 434 | 10.11.2016 | 14:08 | P06T | 10 | start | ☒ | | 61,6 | 67,2 | 78,8 |
| 435 | 10.11.2016 | 14:11 | AT3 | 10 | start | ☒ | | 63,3 | 68,9 | 80,6 |
| 436 | 10.11.2016 | 14:15 | C152 | 10 | start | ☒ | | 52,7 | 58,5 | 68,6 |
| 437 | 10.11.2016 | 14:24 | EC35 | 28 | ładowanie | ☒ | | 58,9 | 62,5 | 75,3 |
| 438 | 10.11.2016 | 14:28 | PS28 | 10 | start | ☒ | | 54,3 | 63,0 | 69,6 |
| 439 | 10.11.2016 | 14:35 | P06T | 28 | ładowanie | ☒ | | 55,8 | 66,2 | 71,6 |
| 440 | 10.11.2016 | 14:38 | C152 | 28 | ładowanie | ☒ | | 58,1 | 67,2 | 72,3 |
| 441 | 10.11.2016 | 14:42 | PS28 | 28 | ładowanie | ☒ | | 58,2 | 66,2 | 72,7 |
| 442 | 10.11.2016 | 14:43 | PS28 | 28 | ładowanie | ☒ | | 62,0 | 71,9 | 76,0 |
| 443 | 10.11.2016 | 14:51 | PS28 | 28 | ładowanie | ☒ | | 62,2 | 69,5 | 80,0 |
| 444 | 10.11.2016 | 14:55 | S330 | 28 | ładowanie | ☒ | | 59,7 | 69,1 | 74,1 |
| 445 | 10.11.2016 | 14:55 | P06T | 28 | ładowanie | ☒ | | 55,3 | 64,1 | 70,2 |
| 446 | 10.11.2016 | 14:57 | C152 | 28 | ładowanie | ☒ | | 58,6 | 65,3 | 73,2 |
| 447 | 10.11.2016 | 15:12 | TL96 | 28 | ładowanie | ☒ | | 66,3 | 74,7 | 82,3 |
| 448 | 10.11.2016 | 15:14 | AT3 | 28 | ładowanie | ☒ | | 55,8 | 63,5 | 71,6 |
| 449 | 10.11.2016 | 15:19 | P06T | 28 | ładowanie | ☒ | | 54,4 | 60,0 | 70,9 |
| 450 | 10.11.2016 | 15:21 | C152 | 28 | ładowanie | ☒ | | 61,1 | 69,6 | 77,0 |
| 451 | 10.11.2016 | 15:22 | EC35 | 28 | ładowanie | ☒ | | 59,5 | 69,2 | 76,3 |
| 452 | 10.11.2016 | 15:27 | P68 | 28 | ładowanie | ☒ | | 59,1 | 67,0 | 75,0 |
| 453 | 10.11.2016 | 15:31 | EC35 | 28 | ładowanie | ☒ | | 55,6 | 63,7 | 72,6 |
| 454 | 10.11.2016 | 15:42 | P06T | 28 | ładowanie | ☒ | | 55,0 | 62,3 | 69,1 |
| 455 | 10.11.2016 | 15:44 | C182 | 10 | start | ☒ | | 56,4 | 63,1 | 73,2 |
| 456 | 10.11.2016 | 15:53 | C182 | 28 | ładowanie | ☒ | | 54,7 | 62,3 | 71,7 |
| 457 | 10.11.2016 | 15:54 | EC35 | 28 | ładowanie | ☒ | | 60,1 | 68,1 | 74,3 |
| 458 | 10.11.2016 | 16:05 | C182 | 28 | ładowanie | ☒ | | 59,8 | 69,2 | 75,6 |
| 459 | 10.11.2016 | 16:11 | EC35 | 28 | ładowanie | ☒ | | 54,5 | 64,1 | 70,5 |
| 460 | 10.11.2016 | 16:12 | C182 | 28 | ładowanie | ☒ | | 59,3 | 68,5 | 73,9 |
| 461 | 10.11.2016 | 16:14 | C152 | 28 | ładowanie | ☒ | | 58,6 | 67,6 | 73,1 |
| 462 | 10.11.2016 | 16:19 | C182 | 28 | ładowanie | ☒ | | 54,5 | 61,8 | 71,0 |
| 463 | 10.11.2016 | 16:28 | EC35 | 28 | ładowanie | ☒ | | 64,7 | 74,9 | 80,5 |
| 464 | 10.11.2016 | 16:29 | C182 | 28 | ładowanie | ☒ | | 61,6 | 68,5 | 77,0 |
| 465 | 10.11.2016 | 16:36 | C182 | 28 | ładowanie | ☒ | | 60,2 | 68,3 | 74,6 |
| 466 | 10.11.2016 | 17:45 | EC35 | 10 | start | ☒ | | 60,6 | 67,7 | 79,3 |
| 467 | 10.11.2016 | 18:04 | EC35 | 10 | start | ☒ | | 55,4 | 62,3 | 72,1 |
| 468 | 10.11.2016 | 18:20 | EC35 | 10 | start | ☒ | | 56,9 | 63,1 | 69,6 |

| Lp. | Data | Godzina | Typ statku powietrznego | Próg RWY | Typ operacji lotniczej | Warunki meteo | Zakłócenia | L _{Aeq} [dB] | L _{Amax} [dB] | L _{AE} [dB] |
|-----|------------|---------|-------------------------|----------|------------------------|---------------|------------|-----------------------|------------------------|----------------------|
| 469 | 10.11.2016 | 18:29 | C172 | 10 | start | ☒ | | 49,9 | 56,5 | 65,7 |
| 470 | 10.11.2016 | 19:06 | EC35 | 28 | ładowanie | ☒ | | 57,5 | 63,0 | 72,5 |
| 471 | 10.11.2016 | 19:28 | C172 | 28 | ładowanie | ☒ | | 48,8 | 52,9 | 66,6 |
| 472 | 11.11.2016 | 12:50 | EC20 | 10 | start | ☒ | | 53,0 | 63,0 | 71,1 |
| 473 | 11.11.2016 | 14:09 | EC35 | 28 | ładowanie | ☒ | | 73,5 | 81,7 | 94,4 |
| 474 | 11.11.2016 | 15:07 | EC20 | 28 | ładowanie | ☒ | | 53,3 | 60,0 | 73,5 |
| 475 | 11.11.2016 | 15:45 | B412 | 28 | ładowanie | ☒ | | 71,8 | 83,4 | 91,7 |
| 476 | 12.11.2016 | 10:42 | EC35 | 10 | start | ☒ | | 55,2 | 63,6 | 73,9 |
| 477 | 12.11.2016 | 11:03 | EC35 | 28 | ładowanie | ☒ | | 57,4 | 66,6 | 75,5 |
| 478 | 12.11.2016 | 11:06 | EC35 | 10 | start | ☒ | | 57,6 | 65,8 | 76,5 |
| 479 | 12.11.2016 | 11:22 | PS28 | 10 | start | ☒ | | 57,1 | 64,9 | 72,9 |
| 480 | 12.11.2016 | 12:09 | EC35 | 28 | ładowanie | ☒ | | 60,6 | 69,8 | 77,9 |
| 481 | 12.11.2016 | 12:18 | C172 | 10 | start | ☒ | | 57,0 | 65,4 | 74,6 |
| 482 | 12.11.2016 | 12:33 | C172 | 28 | ładowanie | ☒ | | 54,5 | 64,4 | 71,7 |
| 483 | 12.11.2016 | 12:56 | PA28 | 10 | start | ☒ | | 54,7 | 61,1 | 70,9 |
| 484 | 12.11.2016 | 12:57 | C152 | 10 | start | ☒ | | 54,0 | 60,7 | 69,7 |
| 485 | 12.11.2016 | 12:59 | C172 | 10 | start | ☒ | | 53,2 | 58,3 | 68,8 |
| 486 | 12.11.2016 | 13:03 | TL96 | 10 | start | ☒ | | 53,7 | 58,4 | 70,3 |
| 487 | 12.11.2016 | 13:04 | EC35 | 10 | start | ☒ | | 52,7 | 56,9 | 68,7 |
| 488 | 12.11.2016 | 13:08 | C150 | 10 | start | ☒ | | 54,8 | 63,2 | 71,5 |
| 489 | 12.11.2016 | 13:21 | EC30 | 28 | ładowanie | ☒ | | 59,9 | 65,2 | 73,9 |
| 490 | 12.11.2016 | 13:25 | C152 | 28 | ładowanie | ☒ | | 54,1 | 60,6 | 70,5 |
| 491 | 12.11.2016 | 13:27 | C172 | 28 | ładowanie | ☒ | | 50,1 | 55,8 | 67,1 |
| 492 | 12.11.2016 | 13:29 | Maule MX-7 | 10 | start | ☒ | | 53,8 | 59,9 | 71,3 |
| 493 | 12.11.2016 | 13:30 | EC35 | 10 | start | ☒ | | 55,2 | 61,6 | 70,9 |
| 494 | 12.11.2016 | 13:34 | C175 | 10 | start | ☒ | | 59,8 | 66,3 | 75,4 |
| 495 | 12.11.2016 | 13:36 | C150 | 10 | start | ☒ | | 48,4 | 53,8 | 64,0 |
| 496 | 12.11.2016 | 13:40 | EC35 | 10 | start | | | 55,8 | 63,6 | 72,5 |
| 497 | 12.11.2016 | 13:46 | PS28 | 10 | start | ☒ | | 57,6 | 65,2 | 74,0 |
| 498 | 12.11.2016 | 13:48 | C152 | 10 | start | ☒ | | 53,3 | 61,5 | 70,1 |
| 499 | 12.11.2016 | 13:50 | SIRA | 10 | start | ☒ | | 48,0 | 53,7 | 64,8 |
| 500 | 12.11.2016 | 13:56 | C152 | 10 | start | ☒ | | 62,4 | 69,7 | 78,6 |
| 501 | 12.11.2016 | 13:58 | C175 | 10 | start | ☒ | | 61,2 | 66,4 | 77,1 |
| 502 | 12.11.2016 | 13:59 | EC35 | 10 | start | ☒ | | 55,8 | 62,9 | 72,6 |
| 503 | 12.11.2016 | 14:02 | PS28 | 10 | start | ☒ | | 66,0 | 74,8 | 79,1 |
| 504 | 12.11.2016 | 14:06 | AT3 | 10 | start | ☒ | | 53,7 | 58,9 | 68,6 |
| 505 | 12.11.2016 | 14:07 | C152 | 10 | start | ☒ | | 51,1 | 56,7 | 67,7 |
| 506 | 12.11.2016 | 14:11 | EC35 | 10 | start | ☒ | | 54,3 | 61,4 | 72,5 |
| 507 | 12.11.2016 | 14:13 | C172 | 10 | start | ☒ | | 55,7 | 62,3 | 70,9 |
| 508 | 12.11.2016 | 14:15 | PS28 | 10 | start | ☒ | | 54,2 | 61,9 | 68,7 |
| 509 | 12.11.2016 | 14:17 | C152 | 10 | start | ☒ | | 52,7 | 60,1 | 68,3 |
| 510 | 12.11.2016 | 14:18 | AT3 | 10 | start | | | 60,0 | 69,0 | 76,0 |



| Lp. | Data | Godzina | Typ statku powietrznego | Próg RWY | Typ operacji lotniczej | Warunki meteo | Zakłócenia | L _{Aeq} [dB] | L _{Amax} [dB] | L _{AE} [dB] |
|-----|------------|---------|-------------------------|----------|------------------------|-------------------------------------|------------|-----------------------|------------------------|----------------------|
| 511 | 12.11.2016 | 14:18 | C150 | 10 | start | <input checked="" type="checkbox"/> | | 56,5 | 63,6 | 70,8 |
| 512 | 12.11.2016 | 14:19 | C172 | 10 | start | <input checked="" type="checkbox"/> | | 59,7 | 65,9 | 75,5 |
| 513 | 12.11.2016 | 14:22 | P06T | 10 | start | <input checked="" type="checkbox"/> | | 54,0 | 61,1 | 70,7 |
| 514 | 12.11.2016 | 14:24 | C172 | 10 | start | <input checked="" type="checkbox"/> | | 52,3 | 58,3 | 68,2 |
| 515 | 12.11.2016 | 14:26 | PS28 | 10 | start | <input checked="" type="checkbox"/> | | 51,7 | 56,6 | 67,6 |
| 516 | 12.11.2016 | 14:27 | C172 | 10 | start | <input checked="" type="checkbox"/> | | 57,6 | 63,3 | 73,6 |
| 517 | 12.11.2016 | 14:29 | AT3 | 10 | start | <input checked="" type="checkbox"/> | | 60,0 | 65,0 | 75,8 |
| 518 | 12.11.2016 | 14:30 | C182 | 10 | start | <input checked="" type="checkbox"/> | | 55,3 | 61,1 | 71,1 |
| 519 | 12.11.2016 | 14:35 | C172 | 10 | start | <input checked="" type="checkbox"/> | | 50,2 | 55,5 | 67,5 |
| 520 | 12.11.2016 | 14:36 | AT3 | 10 | start | <input checked="" type="checkbox"/> | | 54,0 | 59,5 | 70,2 |
| 521 | 12.11.2016 | 14:38 | C152 | 10 | start | <input checked="" type="checkbox"/> | | 55,3 | 61,5 | 71,3 |
| 522 | 12.11.2016 | 14:39 | C182 | 10 | start | <input checked="" type="checkbox"/> | | 53,5 | 57,5 | 69,9 |
| 523 | 12.11.2016 | 14:43 | PS28 | 10 | start | <input checked="" type="checkbox"/> | | 65,9 | 75,2 | 79,5 |
| 524 | 12.11.2016 | 14:45 | C172 | 10 | start | <input checked="" type="checkbox"/> | | 55,0 | 63,0 | 71,4 |
| 525 | 12.11.2016 | 14:46 | C152 | 10 | start | | | 57,0 | 63,3 | 71,5 |
| 526 | 12.11.2016 | 14:47 | C172 | 10 | start | | | 59,9 | 66,4 | 76,0 |
| 527 | 12.11.2016 | 14:51 | C150 | 10 | start | <input checked="" type="checkbox"/> | | 51,7 | 56,6 | 67,1 |
| 528 | 12.11.2016 | 14:54 | P06T | 10 | start | <input checked="" type="checkbox"/> | | 65,7 | 75,3 | 81,0 |
| 529 | 12.11.2016 | 14:57 | AT3 | 10 | start | <input checked="" type="checkbox"/> | | 60,2 | 69,8 | 76,2 |
| 530 | 12.11.2016 | 15:00 | AT3 | 10 | start | | | 55,0 | 62,0 | 70,7 |
| 531 | 12.11.2016 | 15:05 | C172 | 10 | start | | | 54,0 | 60,0 | 69,8 |
| 532 | 12.11.2016 | 15:08 | C182 | 10 | start | | | 56,1 | 61,7 | 72,7 |
| 533 | 12.11.2016 | 15:17 | C182 | 10 | start | | | 56,0 | 61,3 | 72,9 |
| 534 | 12.11.2016 | 15:19 | C172 | 10 | start | | | 57,8 | 64,1 | 74,1 |
| 535 | 12.11.2016 | 15:21 | PS28 | 10 | start | | | 60,6 | 70,0 | 75,5 |
| 536 | 12.11.2016 | 15:23 | EC35 | 10 | start | | | 60,6 | 67,9 | 76,3 |
| 537 | 12.11.2016 | 15:27 | C152 | 10 | start | | | 54,0 | 59,0 | 69,8 |
| 538 | 12.11.2016 | 15:29 | P06T | 10 | start | | | 58,7 | 66,4 | 73,7 |
| 539 | 12.11.2016 | 15:38 | C152 | 10 | start | <input checked="" type="checkbox"/> | | 53,0 | 57,8 | 69,1 |
| 540 | 12.11.2016 | 15:50 | C152 | 10 | start | <input checked="" type="checkbox"/> | | 53,5 | 59,9 | 70,9 |
| 541 | 12.11.2016 | 16:07 | EC35 | 28 | ładowanie | <input checked="" type="checkbox"/> | | 58,0 | 66,5 | 76,7 |
| 542 | 12.11.2016 | 16:08 | C172 | 10 | start | <input checked="" type="checkbox"/> | | 61,0 | 69,2 | 78,2 |
| 543 | 12.11.2016 | 16:16 | C172 | 10 | start | <input checked="" type="checkbox"/> | | 59,7 | 69,2 | 76,9 |
| 544 | 12.11.2016 | 16:28 | C172 | 10 | start | <input checked="" type="checkbox"/> | | 55,3 | 64,9 | 70,7 |
| 545 | 12.11.2016 | 16:31 | EC35 | 28 | ładowanie | <input checked="" type="checkbox"/> | | 59,6 | 66,6 | 78,6 |
| 546 | 12.11.2016 | 16:39 | C172 | 10 | start | <input checked="" type="checkbox"/> | | 59,3 | 68,9 | 77,7 |
| 547 | 12.11.2016 | 16:47 | C172 | 10 | start | <input checked="" type="checkbox"/> | | 60,8 | 70,2 | 77,7 |
| 548 | 12.11.2016 | 16:54 | C172 | 10 | start | <input checked="" type="checkbox"/> | | 58,5 | 68,8 | 76,2 |
| 549 | 12.11.2016 | 16:58 | C172 | 10 | start | <input checked="" type="checkbox"/> | | 56,0 | 63,0 | 73,4 |
| 550 | 12.11.2016 | 17:02 | C172 | 10 | start | <input checked="" type="checkbox"/> | | 60,6 | 69,7 | 77,3 |
| 551 | 12.11.2016 | 17:16 | C172 | 10 | start | <input checked="" type="checkbox"/> | | 55,5 | 63,1 | 72,2 |
| 552 | 12.11.2016 | 17:25 | C172 | 10 | start | <input checked="" type="checkbox"/> | | 55,1 | 63,7 | 73,0 |



| Lp. | Data | Godzina | Typ statku powietrznego | Próg RWY | Typ operacji lotniczej | Warunki meteo | Zakłócenia | L _{Aeq} [dB] | L _{Amax} [dB] | L _{AE} [dB] |
|-----|------------|---------|-------------------------|----------|------------------------|-------------------------------------|------------|-----------------------|------------------------|----------------------|
| 553 | 12.11.2016 | 17:35 | C172 | 10 | start | <input checked="" type="checkbox"/> | | 55,1 | 62,2 | 72,5 |
| 554 | 12.11.2016 | 17:59 | C172 | 10 | start | <input checked="" type="checkbox"/> | | 55,7 | 61,9 | 72,6 |
| 555 | 12.11.2016 | 18:09 | C172 | 10 | start | <input checked="" type="checkbox"/> | | 54,8 | 61,4 | 71,6 |
| 556 | 12.11.2016 | 18:16 | C172 | 10 | start | <input checked="" type="checkbox"/> | | 57,1 | 64,8 | 72,8 |
| 557 | 12.11.2016 | 18:25 | C172 | 10 | start | <input checked="" type="checkbox"/> | | 56,1 | 63,5 | 73,0 |
| 558 | 12.11.2016 | 18:34 | C172 | 10 | start | <input checked="" type="checkbox"/> | | 54,6 | 63,3 | 72,0 |
| 559 | 12.11.2016 | 18:40 | C172 | 10 | start | <input checked="" type="checkbox"/> | | 56,8 | 63,8 | 73,0 |
| 560 | 12.11.2016 | 18:42 | C172 | 10 | start | <input checked="" type="checkbox"/> | | 56,5 | 62,8 | 73,0 |
| 561 | 12.11.2016 | 18:50 | DV-20 KATAN A | 10 | start | <input checked="" type="checkbox"/> | | 55,9 | 62,5 | 72,3 |
| 562 | 12.11.2016 | 18:51 | C172 | 10 | start | <input checked="" type="checkbox"/> | | 56,0 | 63,4 | 72,5 |
| 563 | 12.11.2016 | 18:53 | DV-20 KATAN A | 10 | start | <input checked="" type="checkbox"/> | | 53,5 | 60,9 | 69,2 |
| 564 | 12.11.2016 | 18:59 | C172 | 10 | start | <input checked="" type="checkbox"/> | | 57,1 | 63,5 | 73,6 |
| 565 | 12.11.2016 | 19:00 | C172 | 10 | start | <input checked="" type="checkbox"/> | | 55,5 | 60,4 | 71,5 |
| 566 | 12.11.2016 | 19:08 | C172 | 10 | start | <input checked="" type="checkbox"/> | | 55,8 | 62,8 | 72,7 |
| 567 | 12.11.2016 | 19:09 | C172 | 10 | start | <input checked="" type="checkbox"/> | | 57,8 | 65,3 | 73,9 |
| 568 | 12.11.2016 | 19:18 | C172 | 10 | start | <input checked="" type="checkbox"/> | | 56,2 | 62,4 | 72,6 |
| 569 | 12.11.2016 | 19:19 | C172 | 10 | start | <input checked="" type="checkbox"/> | | 57,7 | 66,4 | 73,0 |
| 570 | 12.11.2016 | 19:27 | C172 | 10 | start | <input checked="" type="checkbox"/> | | 56,3 | 63,1 | 72,2 |
| 571 | 12.11.2016 | 19:36 | C172 | 10 | start | <input checked="" type="checkbox"/> | | 55,2 | 61,9 | 72,4 |
| 572 | 13.11.2016 | 09:20 | EC35 | 10 | start | <input checked="" type="checkbox"/> | | 56,8 | 66,1 | 76,2 |
| 573 | 13.11.2016 | 09:41 | EC35 | 28 | ładowanie | <input checked="" type="checkbox"/> | | 57,9 | 66,5 | 75,8 |
| 574 | 13.11.2016 | 12:09 | C150 | 10 | start | <input checked="" type="checkbox"/> | | 47,7 | 59,6 | 65,5 |
| 575 | 13.11.2016 | 12:36 | C 152 | 10 | start | <input checked="" type="checkbox"/> | | 52,9 | 61,7 | 70,1 |
| 576 | 13.11.2016 | 12:50 | EC30 | 10 | start | <input checked="" type="checkbox"/> | | 51,7 | 57,9 | 68,9 |
| 577 | 13.11.2016 | 13:02 | C150 | 10 | start | <input checked="" type="checkbox"/> | | 48,4 | 58,6 | 65,8 |
| 578 | 13.11.2016 | 13:07 | EC35 | 10 | start | <input checked="" type="checkbox"/> | | 58,9 | 67,1 | 77,0 |
| 579 | 13.11.2016 | 13:26 | C150 | 28 | ładowanie | <input checked="" type="checkbox"/> | | 52,6 | 60,1 | 68,8 |
| 580 | 13.11.2016 | 14:03 | Bristell | 28 | ładowanie | <input checked="" type="checkbox"/> | | 54,1 | 61,8 | 69,9 |
| 581 | 13.11.2016 | 15:10 | Beech King Air 250 | 28 | ładowanie | <input checked="" type="checkbox"/> | | 57,1 | 66,4 | 73,1 |
| 582 | 13.11.2016 | 15:35 | Beech King Air 250 | 10 | start | <input checked="" type="checkbox"/> | | 61,9 | 72,4 | 77,3 |
| 583 | 13.11.2016 | 15:37 | EC30 | 28 | ładowanie | <input checked="" type="checkbox"/> | | 59,8 | 71,1 | 77,4 |
| 584 | 13.11.2016 | 15:40 | EC35 | 28 | ładowanie | <input checked="" type="checkbox"/> | | 67,0 | 76,3 | 84,3 |
| 585 | 13.11.2016 | 15:53 | C152 | 28 | ładowanie | <input checked="" type="checkbox"/> | | 56,5 | 64,3 | 74,8 |
| 586 | 14.11.2016 | 08:36 | EC35 | 10 | start | <input checked="" type="checkbox"/> | | 65,2 | 74,5 | 83,3 |
| 587 | 14.11.2016 | 09:26 | PS28 | 28 | ładowanie | | | 58,2 | 68,9 | 74,5 |
| 588 | 14.11.2016 | 09:43 | PS28 | 28 | ładowanie | | | 59,7 | 67,6 | 73,3 |
| 589 | 14.11.2016 | 09:46 | C152 | 28 | ładowanie | | | 58,6 | 67,9 | 73,6 |
| 590 | 14.11.2016 | 09:56 | PS28 | 28 | ładowanie | | | 56,0 | 64,5 | 71,0 |
| 591 | 14.11.2016 | 10:10 | PS28 | 28 | ładowanie | | | 56,7 | 63,2 | 71,5 |



| Lp. | Data | Godzina | Typ statku powietrznego | Próg RWY | Typ operacji lotniczej | Warunki meteo | Zakłócenia | L _{Aeq} [dB] | L _{Amax} [dB] | L _{AE} [dB] |
|-----|------------|---------|-------------------------|----------|------------------------|---------------|------------|-----------------------|------------------------|----------------------|
| 592 | 14.11.2016 | 10:29 | PS28 | 28 | ładowanie | | | 51,8 | 58,0 | 68,0 |
| 593 | 14.11.2016 | 10:42 | PS28 | 28 | ładowanie | | | 57,4 | 67,5 | 73,1 |
| 594 | 14.11.2016 | 11:34 | P06T | 28 | ładowanie | | | 67,8 | 75,9 | 84,2 |
| 595 | 14.11.2016 | 11:51 | P06T | 28 | ładowanie | | | 53,8 | 63,0 | 69,1 |
| 596 | 14.11.2016 | 11:57 | P06T | 28 | ładowanie | | | 59,1 | 69,0 | 75,3 |
| 597 | 14.11.2016 | 12:12 | PS28 | 28 | ładowanie | | | 62,2 | 71,6 | 76,2 |
| 598 | 14.11.2016 | 12:25 | AT3 | 28 | ładowanie | | | 55,8 | 65,3 | 71,5 |
| 599 | 14.11.2016 | 12:27 | TL96 | 28 | ładowanie | | | 53,3 | 61,1 | 69,1 |
| 600 | 14.11.2016 | 12:42 | C152 | 28 | ładowanie | | | 55,2 | 63,1 | 71,1 |
| 601 | 14.11.2016 | 13:16 | AT3 | 28 | ładowanie | | | 61,1 | 67,3 | 78,4 |
| 602 | 14.11.2016 | 13:23 | C175 | 28 | ładowanie | | | 56,5 | 64,2 | 70,9 |
| 603 | 14.11.2016 | 13:31 | PS28 | 28 | ładowanie | | | 58,0 | 65,1 | 72,9 |
| 604 | 14.11.2016 | 13:50 | Beech King Air 250 | 28 | ładowanie | | | 56,2 | 62,7 | 70,4 |
| 605 | 14.11.2016 | 14:07 | AT3 | 28 | ładowanie | | | 53,5 | 59,2 | 70,9 |
| 606 | 14.11.2016 | 14:09 | PS28 | 28 | ładowanie | | | 53,8 | 62,8 | 71,0 |
| 607 | 14.11.2016 | 14:13 | C172 | 28 | ładowanie | | | 59,1 | 66,8 | 73,5 |
| 608 | 14.11.2016 | 14:19 | C172 | 28 | ładowanie | | | 64,0 | 76,3 | 82,5 |
| 609 | 14.11.2016 | 14:23 | C182 | 28 | ładowanie | | | 50,8 | 57,8 | 68,6 |
| 610 | 14.11.2016 | 14:25 | C150 | 28 | ładowanie | | | 59,6 | 69,6 | 75,2 |
| 611 | 14.11.2016 | 14:27 | C150 | 28 | ładowanie | | | 50,0 | 56,2 | 66,5 |
| 612 | 14.11.2016 | 14:32 | C172 | 28 | ładowanie | | | 58,2 | 67,4 | 73,4 |
| 613 | 14.11.2016 | 14:34 | C172 | 28 | ładowanie | | | 52,3 | 57,9 | 69,4 |
| 614 | 14.11.2016 | 14:37 | C152 | 28 | ładowanie | | | 54,6 | 61,5 | 71,5 |
| 615 | 14.11.2016 | 14:38 | C150 | 28 | ładowanie | | | 58,8 | 66,3 | 73,9 |
| 616 | 14.11.2016 | 14:42 | C172 | 28 | ładowanie | | | 61,3 | 69,0 | 75,2 |
| 617 | 14.11.2016 | 14:42 | C172 | 28 | ładowanie | | | 51,9 | 58,1 | 68,0 |
| 618 | 14.11.2016 | 14:46 | C150 | 28 | ładowanie | | | 50,1 | 59,4 | 67,9 |
| 619 | 14.11.2016 | 14:48 | C152 | 28 | ładowanie | | | 49,3 | 56,2 | 65,7 |
| 620 | 14.11.2016 | 14:50 | PS28 | 28 | ładowanie | | | 56,1 | 66,0 | 72,2 |
| 621 | 14.11.2016 | 14:53 | C172 | 28 | ładowanie | | | 55,3 | 63,4 | 72,1 |
| 622 | 14.11.2016 | 14:55 | C172 | 28 | ładowanie | | | 58,9 | 67,0 | 73,4 |
| 623 | 14.11.2016 | 14:56 | C152 | 28 | ładowanie | | | 61,1 | 69,6 | 75,5 |
| 624 | 14.11.2016 | 14:58 | Beech King Air 250 | 10 | start | | | 69,2 | 77,0 | 86,5 |
| 625 | 14.11.2016 | 15:01 | C152 | 28 | ładowanie | | | 53,4 | 63,7 | 70,1 |
| 626 | 14.11.2016 | 15:05 | C172 | 28 | ładowanie | | | 60,9 | 72,4 | 77,0 |
| 627 | 14.11.2016 | 15:06 | C172 | 28 | ładowanie | | | 49,8 | 55,4 | 66,4 |
| 628 | 14.11.2016 | 15:08 | C150 | 28 | ładowanie | | | 63,9 | 73,9 | 80,6 |
| 629 | 14.11.2016 | 15:10 | C150 | 28 | ładowanie | | | 61,8 | 67,8 | 78,3 |
| 630 | 14.11.2016 | 15:11 | M18 | 28 | ładowanie | | | 74,4 | 83,7 | 93,6 |
| 631 | 14.11.2016 | 15:15 | C152 | 28 | ładowanie | | | 60,9 | 69,8 | 75,9 |



| Lp. | Data | Godzina | Typ statku powietrznego | Próg RWY | Typ operacji lotniczej | Warunki meteo | Zakłócenia | L _{Aeq} [dB] | L _{Amax} [dB] | L _{AE} [dB] |
|-----|------------|---------|-------------------------|----------|------------------------|-------------------------------------|------------|-----------------------|------------------------|----------------------|
| 632 | 14.11.2016 | 15:17 | EC35 | 28 | ładowanie | | | 56,4 | 64,2 | 72,7 |
| 633 | 14.11.2016 | 15:21 | C172 | 28 | ładowanie | | | 61,1 | 70,2 | 76,2 |
| 634 | 14.11.2016 | 15:24 | C172 | 28 | ładowanie | | | 60,1 | 69,2 | 76,2 |
| 635 | 14.11.2016 | 15:27 | C150 | 28 | ładowanie | | | 63,8 | 72,3 | 77,8 |
| 636 | 14.11.2016 | 15:29 | C152 | 28 | ładowanie | | | 54,1 | 58,7 | 69,8 |
| 637 | 14.11.2016 | 15:34 | TL96 | 28 | ładowanie | | | 52,2 | 57,9 | 68,5 |
| 638 | 14.11.2016 | 15:36 | C172 | 28 | ładowanie | | | 51,7 | 59,0 | 68,0 |
| 639 | 14.11.2016 | 15:37 | C150 | 28 | ładowanie | | | 57,0 | 63,8 | 71,5 |
| 640 | 14.11.2016 | 15:43 | C172 | 28 | ładowanie | | | 52,2 | 58,9 | 68,2 |
| 641 | 14.11.2016 | 15:47 | C150 | 28 | ładowanie | | | 53,6 | 64,3 | 71,0 |
| 642 | 14.11.2016 | 15:51 | C152 | 28 | ładowanie | | | 55,2 | 62,7 | 70,8 |
| 643 | 14.11.2016 | 15:53 | C150 | 28 | ładowanie | | | 56,3 | 65,4 | 71,6 |
| 644 | 14.11.2016 | 16:01 | C152 | 28 | ładowanie | | | 59,4 | 66,1 | 74,6 |
| 645 | 14.11.2016 | 16:06 | C150 | 28 | ładowanie | | | 61,0 | 69,2 | 75,5 |
| 646 | 14.11.2016 | 16:20 | C172 | 28 | ładowanie | | | 60,3 | 67,4 | 75,1 |
| 647 | 14.11.2016 | 16:22 | EC35 | 28 | ładowanie | | | 60,3 | 67,3 | 77,9 |
| 648 | 14.11.2016 | 16:39 | C150 | 28 | ładowanie | | | 55,9 | 61,9 | 70,8 |
| 649 | 14.11.2016 | 16:51 | C150 | 28 | ładowanie | | | 54,8 | 62,5 | 70,0 |
| 650 | 14.11.2016 | 17:05 | C150 | 28 | ładowanie | | | 55,3 | 61,9 | 71,3 |
| 651 | 14.11.2016 | 17:25 | C172 | 28 | ładowanie | <input checked="" type="checkbox"/> | | 51,6 | 58,0 | 68,8 |
| 652 | 14.11.2016 | 17:34 | C152 | 28 | ładowanie | <input checked="" type="checkbox"/> | | 52,9 | 58,9 | 69,7 |
| 653 | 14.11.2016 | 17:36 | C172 | 28 | ładowanie | <input checked="" type="checkbox"/> | | 51,1 | 57,1 | 66,9 |
| 654 | 14.11.2016 | 17:49 | C172 | 28 | ładowanie | <input checked="" type="checkbox"/> | | 51,4 | 58,5 | 68,4 |
| 655 | 14.11.2016 | 18:00 | C152 | 28 | ładowanie | <input checked="" type="checkbox"/> | | 51,9 | 57,6 | 68,6 |
| 656 | 14.11.2016 | 18:03 | C172 | 28 | ładowanie | <input checked="" type="checkbox"/> | | 59,4 | 68,0 | 74,4 |
| 657 | 14.11.2016 | 18:20 | C152 | 28 | ładowanie | <input checked="" type="checkbox"/> | | 52,7 | 58,4 | 70,0 |
| 658 | 14.11.2016 | 18:29 | C172 | 28 | ładowanie | <input checked="" type="checkbox"/> | | 53,8 | 60,0 | 70,5 |
| 659 | 14.11.2016 | 18:42 | C152 | 28 | ładowanie | <input checked="" type="checkbox"/> | | 52,2 | 58,2 | 68,9 |
| 660 | 14.11.2016 | 19:05 | C172 | 28 | ładowanie | <input checked="" type="checkbox"/> | | 51,8 | 59,0 | 69,4 |
| 661 | 14.11.2016 | 19:14 | C172 | 28 | ładowanie | <input checked="" type="checkbox"/> | | 52,6 | 63,8 | 69,9 |
| 662 | 14.11.2016 | 19:51 | Beech King Air 250 | 28 | ładowanie | <input checked="" type="checkbox"/> | | 63,8 | 73,4 | 83,2 |
| 663 | 15.11.2016 | 09:23 | PA34 | 28 | ładowanie | <input checked="" type="checkbox"/> | | 57,2 | 65,7 | 72,4 |
| 664 | 15.11.2016 | 09:33 | M18 | 10 | start | <input checked="" type="checkbox"/> | | 74,0 | 83,8 | 92,5 |
| 665 | 15.11.2016 | 09:46 | EC20 | 28 | ładowanie | <input checked="" type="checkbox"/> | | 59,8 | 65,6 | 75,2 |
| 666 | 15.11.2016 | 10:23 | HU-269 Schweizer | 28 | ładowanie | | | 62,2 | 70,2 | 78,0 |
| 667 | 15.11.2016 | 10:41 | C150 | 28 | ładowanie | | | 60,3 | 67,3 | 75,2 |
| 668 | 15.11.2016 | 10:48 | C150 | 28 | ładowanie | | | 55,4 | 63,2 | 71,4 |
| 669 | 15.11.2016 | 10:58 | C150 | 28 | ładowanie | | | 59,2 | 69,2 | 75,9 |
| 670 | 15.11.2016 | 11:08 | EC35 | 28 | ładowanie | | | 59,3 | 68,9 | 75,5 |
| 671 | 15.11.2016 | 11:17 | Beech King Air 250 | 10 | start | | | 74,2 | 82,6 | 94,4 |



| Lp. | Data | Godzina | Typ statku powietrznego | Próg RWY | Typ operacji lotniczej | Warunki meteo | Zakłócenia | L _{Aeq} [dB] | L _{Amax} [dB] | L _{AE} [dB] |
|-----|------------|---------|-------------------------|----------|------------------------|---------------|------------|-----------------------|------------------------|----------------------|
| 672 | 15.11.2016 | 11:30 | EC20 | 28 | ładowanie | | | 60,0 | 64,7 | 76,2 |
| 673 | 15.11.2016 | 11:45 | PS28 | 28 | ładowanie | | | 63,3 | 71,9 | 80,8 |
| 674 | 15.11.2016 | 11:50 | C152 | 28 | ładowanie | | | 59,3 | 65,5 | 76,2 |
| 675 | 15.11.2016 | 11:53 | C152 | 28 | ładowanie | | | 58,3 | 64,3 | 74,6 |
| 676 | 15.11.2016 | 12:00 | PS28 | 28 | ładowanie | | | 58,3 | 65,0 | 74,0 |
| 677 | 15.11.2016 | 12:04 | C152 | 28 | ładowanie | | | 58,7 | 64,3 | 73,9 |
| 678 | 15.11.2016 | 12:14 | C152 | 28 | ładowanie | | | 58,1 | 63,0 | 73,4 |
| 679 | 15.11.2016 | 12:17 | PS28 | 28 | ładowanie | | | 61,3 | 70,7 | 77,0 |
| 680 | 15.11.2016 | 12:36 | C152 | 28 | ładowanie | | | 57,8 | 66,4 | 73,5 |
| 681 | 15.11.2016 | 12:41 | C152 | 28 | ładowanie | | | 61,5 | 71,0 | 76,5 |
| 682 | 15.11.2016 | 12:44 | C152 | 28 | ładowanie | | | 53,7 | 57,0 | 69,9 |
| 683 | 15.11.2016 | 13:00 | C182 | 28 | ładowanie | | | 62,7 | 71,5 | 76,9 |
| 684 | 15.11.2016 | 13:06 | C152 | 28 | ładowanie | | | 55,6 | 61,5 | 69,9 |
| 685 | 15.11.2016 | 13:08 | S330 | 28 | ładowanie | | | 59,3 | 66,7 | 73,7 |
| 686 | 15.11.2016 | 13:13 | PS28 | 28 | ładowanie | | | 63,9 | 75,4 | 79,5 |
| 687 | 15.11.2016 | 13:17 | C152 | 28 | ładowanie | | | 54,7 | 62,5 | 71,3 |
| 688 | 15.11.2016 | 13:26 | C152 | 28 | ładowanie | | | 57,7 | 67,2 | 73,0 |
| 689 | 15.11.2016 | 13:31 | C152 | 28 | ładowanie | | | 60,0 | 68,4 | 73,4 |
| 690 | 15.11.2016 | 13:34 | PS28 | 28 | ładowanie | | | 60,3 | 69,0 | 73,4 |
| 691 | 15.11.2016 | 13:47 | C152 | 28 | ładowanie | | | 55,3 | 61,8 | 71,4 |
| 692 | 15.11.2016 | 13:50 | PS28 | 28 | ładowanie | | | 60,8 | 70,1 | 75,6 |
| 693 | 15.11.2016 | 13:56 | PS28 | 28 | ładowanie | | | 60,8 | 70,3 | 75,6 |
| 694 | 15.11.2016 | 14:19 | P68C | 28 | ładowanie | | | 58,0 | 64,8 | 73,2 |
| 695 | 15.11.2016 | 14:20 | RALL | 28 | ładowanie | | | 64,2 | 75,4 | 79,3 |
| 696 | 15.11.2016 | 14:29 | PS28 | 28 | ładowanie | | | 60,4 | 68,8 | 76,2 |
| 697 | 15.11.2016 | 14:30 | C182 | 28 | ładowanie | | | 58,5 | 67,0 | 73,8 |
| 698 | 15.11.2016 | 14:33 | AT3 | 28 | ładowanie | | | 64,4 | 74,4 | 78,9 |
| 699 | 15.11.2016 | 14:40 | PS28 | 28 | ładowanie | | | 60,5 | 65,3 | 78,5 |
| 700 | 15.11.2016 | 14:42 | M18 | 28 | ładowanie | | | 71,2 | 80,2 | 90,5 |
| 701 | 15.11.2016 | 14:48 | PS28 | 28 | ładowanie | | | 57,7 | 66,4 | 72,1 |
| 702 | 15.11.2016 | 14:50 | PS28 | 28 | ładowanie | | | 60,7 | 68,1 | 74,4 |
| 703 | 15.11.2016 | 15:01 | C152 | 28 | ładowanie | | | 54,7 | 61,9 | 70,4 |
| 704 | 15.11.2016 | 15:09 | PS28 | 28 | ładowanie | | | 59,4 | 67,4 | 74,3 |
| 705 | 15.11.2016 | 15:22 | PS28 | 28 | ładowanie | | | 60,4 | 67,6 | 72,7 |
| 706 | 15.11.2016 | 15:41 | EC20 | 28 | ładowanie | | | 61,6 | 71,2 | 76,1 |
| 707 | 15.11.2016 | 15:42 | PS28 | 28 | ładowanie | | | 59,2 | 67,0 | 72,6 |
| 708 | 15.11.2016 | 15:44 | PS28 | 28 | ładowanie | | | 52,7 | 59,2 | 67,1 |
| 709 | 15.11.2016 | 15:46 | C175 | 28 | ładowanie | | | 55,4 | 61,3 | 69,6 |
| 710 | 15.11.2016 | 15:48 | C150 | 28 | ładowanie | | | 54,8 | 61,3 | 70,6 |
| 711 | 15.11.2016 | 15:49 | C152 | 28 | ładowanie | | | 51,4 | 56,5 | 68,5 |
| 712 | 15.11.2016 | 16:00 | PS28 | 28 | ładowanie | | | 56,2 | 64,6 | 70,9 |
| 713 | 15.11.2016 | 16:03 | Bristell | 28 | ładowanie | | | 58,5 | 66,6 | 72,5 |



| Lp. | Data | Godzina | Typ statku powietrznego | Próg RWY | Typ operacji lotniczej | Warunki meteo | Zakłócenia | L _{Aeq} [dB] | L _{Amax} [dB] | L _{AE} [dB] |
|-----|------------|---------|-------------------------|----------|------------------------|---------------|------------|-----------------------|------------------------|----------------------|
| 714 | 15.11.2016 | 16:22 | SR22 | 28 | ładowanie | | | 47,8 | 54,6 | 65,4 |
| 715 | 15.11.2016 | 17:21 | C152 | 28 | ładowanie | | | 54,2 | 63,2 | 69,8 |
| 716 | 15.11.2016 | 18:00 | C152 | 28 | ładowanie | | | 59,1 | 67,3 | 75,9 |
| 717 | 15.11.2016 | 19:08 | C152 | 28 | ładowanie | | | 57,4 | 64,4 | 71,8 |
| 718 | 15.11.2016 | 19:18 | EC35 | 28 | ładowanie | | | 52,9 | 61,0 | 72,2 |
| 719 | 16.11.2016 | 14:14 | EC35 | 28 | ładowanie | ☒ | | 62,0 | 72,8 | 77,5 |
| 720 | 16.11.2016 | 20:49 | PA34 | 10 | start | ☒ | | 54,5 | 62,6 | 70,4 |
| 721 | 17.11.2016 | 13:16 | EC35 | 10 | start | ☒ | | 63,5 | 72,3 | 83,1 |
| 722 | 17.11.2016 | 13:36 | EC35 | 10 | start | ☒ | | 68,6 | 80,8 | 82,8 |
| 723 | 17.11.2016 | 13:56 | EC35 | 10 | start | ☒ | | 61,2 | 67,3 | 77,4 |
| 724 | 17.11.2016 | 14:13 | EC35 | 10 | start | ☒ | | 66,6 | 76,5 | 84,1 |
| 725 | 17.11.2016 | 14:24 | C175 | 10 | start | ☒ | | 58,6 | 66,5 | 72,7 |
| 726 | 17.11.2016 | 14:34 | EC35 | 28 | ładowanie | ☒ | | 62,3 | 69,6 | 80,1 |
| 727 | 17.11.2016 | 14:39 | EC35 | 10 | start | ☒ | | 63,3 | 70,8 | 80,2 |
| 728 | 17.11.2016 | 14:58 | EC35 | 28 | ładowanie | ☒ | | 59,3 | 69,1 | 75,0 |
| 729 | 17.11.2016 | 15:15 | EC35 | 28 | ładowanie | ☒ | | 54,7 | 62,2 | 73,1 |
| 730 | 17.11.2016 | 15:18 | EC35 | 10 | start | ☒ | | 59,7 | 70,0 | 75,6 |
| 731 | 17.11.2016 | 15:31 | C175 | 28 | ładowanie | ☒ | | 53,3 | 57,2 | 70,0 |
| 732 | 17.11.2016 | 15:39 | EC35 | 28 | ładowanie | ☒ | | 59,4 | 66,6 | 75,9 |
| 733 | 17.11.2016 | 16:16 | EC35 | 28 | ładowanie | ☒ | | 63,5 | 72,1 | 80,4 |
| 734 | 17.11.2016 | 16:30 | EC35 | 28 | ładowanie | ☒ | | 64,8 | 72,9 | 81,2 |
| 735 | 18.11.2016 | 09:25 | PS28 | 10 | start | ☒ | | 61,8 | 70,4 | 77,1 |
| 736 | 18.11.2016 | 09:40 | PS28 | 10 | start | ☒ | | 62,5 | 70,5 | 76,9 |
| 737 | 18.11.2016 | 10:00 | PS28 | 10 | start | ☒ | | 58,7 | 63,5 | 73,5 |
| 738 | 18.11.2016 | 10:10 | PA34 | 10 | start | ☒ | | 58,0 | 70,4 | 73,6 |
| 739 | 18.11.2016 | 10:12 | C152 | 10 | start | ☒ | | 59,6 | 67,8 | 74,3 |
| 740 | 18.11.2016 | 10:50 | C172 | 10 | start | ☒ | | 60,5 | 69,2 | 76,2 |
| 741 | 18.11.2016 | 11:58 | EC30 | 28 | ładowanie | ☒ | | 65,9 | 73,7 | 82,9 |
| 742 | 18.11.2016 | 12:31 | AT3 | 10 | start | ☒ | | 59,1 | 68,1 | 76,1 |
| 743 | 18.11.2016 | 12:33 | EC30 | 10 | start | ☒ | | 57,3 | 62,5 | 73,3 |
| 744 | 18.11.2016 | 12:35 | C175 | 10 | start | ☒ | | 60,6 | 67,0 | 76,2 |
| 745 | 18.11.2016 | 12:44 | C175 | 10 | start | ☒ | | 62,5 | 69,1 | 77,1 |
| 746 | 18.11.2016 | 12:56 | C175 | 10 | start | ☒ | | 60,5 | 69,2 | 75,6 |
| 747 | 18.11.2016 | 12:57 | C150 | 10 | start | ☒ | | 59,3 | 65,9 | 74,0 |
| 748 | 18.11.2016 | 13:05 | EC35 | 10 | start | ☒ | | 59,4 | 66,8 | 75,2 |
| 749 | 18.11.2016 | 13:24 | EC35 | 10 | start | ☒ | | 56,3 | 61,4 | 73,6 |
| 750 | 18.11.2016 | 13:32 | C182 | 10 | start | ☒ | | 59,8 | 71,2 | 75,5 |
| 751 | 18.11.2016 | 13:38 | RALL | 10 | start | ☒ | | 55,2 | 60,6 | 71,6 |
| 752 | 18.11.2016 | 13:39 | C150 | 10 | start | ☒ | | 61,1 | 71,0 | 75,7 |
| 753 | 18.11.2016 | 13:41 | PS28 | 10 | start | ☒ | | 55,4 | 63,9 | 70,8 |
| 754 | 18.11.2016 | 13:44 | EC35 | 10 | start | ☒ | | 56,8 | 65,0 | 71,0 |
| 755 | 18.11.2016 | 13:45 | C175 | 10 | start | ☒ | | 60,3 | 66,3 | 75,0 |



| Lp. | Data | Godzina | Typ statku powietrznego | Próg RWY | Typ operacji lotniczej | Warunki meteo | Zakłócenia | L _{Aeq} [dB] | L _{Amax} [dB] | L _{AE} [dB] |
|-----|------------|---------|-------------------------|----------|------------------------|---------------|------------|-----------------------|------------------------|----------------------|
| 756 | 18.11.2016 | 13:47 | C150 | 10 | start | ☒ | | 57,9 | 65,6 | 73,7 |
| 757 | 18.11.2016 | 13:49 | C172 | 10 | start | ☒ | | 60,9 | 67,9 | 75,8 |
| 758 | 18.11.2016 | 13:57 | PIVI | 10 | start | ☒ | | 57,4 | 64,3 | 74,9 |
| 759 | 18.11.2016 | 13:59 | PS28 | 10 | start | ☒ | | 55,2 | 61,7 | 71,1 |
| 760 | 18.11.2016 | 14:13 | PA34 | 28 | ładowanie | ☒ | | 62,2 | 71,6 | 77,8 |
| 761 | 18.11.2016 | 14:20 | C182 | 10 | start | ☒ | | 63,1 | 69,2 | 78,5 |
| 762 | 18.11.2016 | 14:22 | C152 | 10 | start | ☒ | | 61,9 | 71,1 | 74,9 |
| 763 | 18.11.2016 | 14:32 | B407 | 10 | start | ☒ | | 62,9 | 71,3 | 77,8 |
| 764 | 18.11.2016 | 14:34 | C152 | 10 | start | ☒ | | 59,5 | 68,0 | 73,1 |
| 765 | 18.11.2016 | 14:51 | C150 | 10 | start | ☒ | | 57,7 | 64,5 | 71,3 |
| 766 | 18.11.2016 | 14:54 | PS28 | 10 | start | ☒ | | 53,0 | 56,7 | 69,5 |
| 767 | 18.11.2016 | 14:57 | PA28 | 10 | start | ☒ | | 54,5 | 59,1 | 70,2 |
| 768 | 18.11.2016 | 15:00 | C172 | 10 | start | ☒ | | 60,0 | 64,8 | 76,3 |
| 769 | 18.11.2016 | 15:14 | AT3 | 10 | start | ☒ | | 58,5 | 68,4 | 73,3 |
| 770 | 18.11.2016 | 15:20 | C172 | 10 | start | ☒ | | 57,2 | 62,1 | 74,0 |
| 771 | 18.11.2016 | 15:22 | AT3 | 10 | start | ☒ | | 56,0 | 63,3 | 71,9 |
| 772 | 18.11.2016 | 15:24 | PA34 | 10 | start | ☒ | | 64,8 | 75,4 | 80,7 |
| 773 | 18.11.2016 | 15:32 | C172 | 10 | start | ☒ | | 56,2 | 62,5 | 72,0 |
| 774 | 18.11.2016 | 15:37 | PA28 | 10 | start | ☒ | | 60,2 | 68,6 | 76,2 |
| 775 | 18.11.2016 | 15:42 | PA34 | 10 | start | ☒ | | 59,4 | 66,2 | 76,3 |
| 776 | 18.11.2016 | 15:44 | C152 | 10 | start | ☒ | | 60,0 | 69,8 | 74,1 |
| 777 | 18.11.2016 | 15:51 | C172 | 10 | start | ☒ | | 58,1 | 64,4 | 73,8 |
| 778 | 18.11.2016 | 16:16 | C172 | 10 | start | ☒ | | 57,9 | 65,2 | 74,0 |
| 779 | 18.11.2016 | 16:41 | EC35 | 28 | ładowanie | ☒ | | 63,9 | 76,2 | 83,2 |
| 780 | 18.11.2016 | 17:05 | C152 | 10 | start | ☒ | | 52,8 | 60,9 | 68,8 |
| 781 | 18.11.2016 | 17:12 | C152 | 10 | start | ☒ | | 63,1 | 70,7 | 81,6 |
| 782 | 18.11.2016 | 17:26 | C152 | 10 | start | ☒ | | 51,7 | 59,0 | 68,5 |
| 783 | 18.11.2016 | 17:38 | C152 | 10 | start | ☒ | | 51,2 | 57,4 | 68,3 |
| 784 | 18.11.2016 | 17:56 | C152 | 10 | start | ☒ | | 53,5 | 60,9 | 69,5 |
| 785 | 18.11.2016 | 18:13 | C152 | 10 | start | ☒ | | 54,8 | 61,0 | 72,0 |
| 786 | 18.11.2016 | 19:00 | EC35 | 10 | start | ☒ | | 62,4 | 70,0 | 79,4 |
| 787 | 18.11.2016 | 19:26 | C172 | 10 | start | ☒ | | 59,5 | 68,3 | 76,3 |
| 788 | 18.11.2016 | 19:35 | SR22 | 10 | start | ☒ | | 52,4 | 60,1 | 69,0 |
| 789 | 18.11.2016 | 20:05 | EC35 | 28 | ładowanie | ☒ | | 54,8 | 61,4 | 72,3 |
| 790 | 18.11.2016 | 21:08 | EC35 | 28 | ładowanie | ☒ | | 55,9 | 62,4 | 74,9 |
| 791 | 19.11.2016 | 08:23 | C152 | 10 | start | ☒ | | 56,1 | 61,8 | 73,9 |
| 792 | 19.11.2016 | 08:32 | EC35 | 10 | start | ☒ | | 56,1 | 65,0 | 71,0 |
| 793 | 19.11.2016 | 08:58 | PS28 | 10 | start | ☒ | | 61,0 | 68,2 | 74,4 |
| 794 | 19.11.2016 | 08:58 | C152 | 10 | start | ☒ | | 60,0 | 66,7 | 73,3 |
| 795 | 19.11.2016 | 09:11 | PS28 | 10 | start | ☒ | | 54,1 | 59,2 | 70,1 |
| 796 | 19.11.2016 | 09:20 | C152 | 10 | start | ☒ | | 51,6 | 56,3 | 67,8 |
| 797 | 19.11.2016 | 09:22 | C152 | 10 | start | ☒ | | 61,8 | 70,2 | 75,4 |

| Lp. | Data | Godzina | Typ statku powietrznego | Próg RWY | Typ operacji lotniczej | Warunki meteo | Zakłócenia | L _{Aeq} [dB] | L _{Amax} [dB] | L _{Ae} [dB] |
|-----|------------|---------|-------------------------|----------|------------------------|---------------|------------|-----------------------|------------------------|----------------------|
| 798 | 19.11.2016 | 09:29 | C152 | 10 | start | ☒ | | 59,4 | 68,5 | 75,4 |
| 799 | 19.11.2016 | 09:34 | C152 | 10 | start | ☒ | | 61,4 | 65,2 | 76,5 |
| 800 | 19.11.2016 | 09:37 | C152 | 10 | start | ☒ | | 54,4 | 61,5 | 70,3 |
| 801 | 19.11.2016 | 09:46 | C152 | 10 | start | ☒ | | 52,0 | 55,8 | 68,7 |
| 802 | 19.11.2016 | 09:48 | C152 | 10 | start | ☒ | | 53,4 | 58,3 | 69,1 |
| 803 | 19.11.2016 | 09:52 | C152 | 10 | start | ☒ | | 58,0 | 66,7 | 73,9 |
| 804 | 19.11.2016 | 09:57 | C152 | 10 | start | ☒ | | 53,2 | 58,4 | 68,7 |
| 805 | 19.11.2016 | 09:58 | C152 | 10 | start | ☒ | | 58,4 | 64,6 | 75,2 |
| 806 | 19.11.2016 | 10:04 | PA34 | 10 | start | ☒ | | 65,8 | 73,8 | 81,2 |
| 807 | 19.11.2016 | 10:05 | EC35 | 28 | ładowanie | ☒ | | 53,2 | 59,9 | 70,7 |
| 808 | 19.11.2016 | 10:13 | C172 | 10 | start | ☒ | | 56,4 | 62,5 | 71,5 |
| 809 | 19.11.2016 | 10:27 | C152 | 10 | start | ☒ | | 55,2 | 62,7 | 69,2 |
| 810 | 19.11.2016 | 10:28 | C172 | 10 | start | ☒ | | 56,8 | 65,8 | 71,4 |
| 811 | 19.11.2016 | 10:31 | C175 | 10 | start | ☒ | | 54,7 | 61,5 | 71,3 |
| 812 | 19.11.2016 | 10:32 | C152 | 10 | start | ☒ | | 58,2 | 64,1 | 73,8 |
| 813 | 19.11.2016 | 10:44 | C150 | 10 | start | ☒ | | 53,7 | 59,6 | 69,2 |
| 814 | 19.11.2016 | 10:54 | C150 | 10 | start | ☒ | | 50,6 | 54,7 | 66,5 |
| 815 | 19.11.2016 | 11:00 | EC35 | 10 | start | ☒ | | 56,1 | 66,8 | 73,5 |
| 816 | 19.11.2016 | 11:11 | C150 | 10 | start | ☒ | | 55,7 | 62,3 | 72,6 |
| 817 | 19.11.2016 | 11:13 | C152 | 10 | start | ☒ | | 56,4 | 61,8 | 73,0 |
| 818 | 19.11.2016 | 11:19 | C172 | 10 | start | ☒ | | 53,8 | 58,2 | 70,1 |
| 819 | 19.11.2016 | 11:20 | C172 | 10 | start | ☒ | | 55,3 | 60,7 | 71,9 |
| 820 | 19.11.2016 | 11:21 | C150 | 10 | start | ☒ | | 55,6 | 61,8 | 72,3 |
| 821 | 19.11.2016 | 11:26 | C172 | 10 | start | ☒ | | 61,6 | 67,6 | 79,3 |
| 822 | 19.11.2016 | 11:29 | C150 | 10 | start | ☒ | | 53,4 | 59,1 | 70,8 |
| 823 | 19.11.2016 | 11:35 | Da - 20 | 10 | start | ☒ | | 52,6 | 58,8 | 69,3 |
| 824 | 19.11.2016 | 11:38 | C172 | 10 | start | ☒ | | 51,1 | 57,0 | 69,0 |
| 825 | 19.11.2016 | 11:41 | C150 | 10 | start | ☒ | | 51,4 | 57,5 | 67,4 |
| 826 | 19.11.2016 | 11:47 | C172 | 10 | start | ☒ | | 55,6 | 62,0 | 72,0 |
| 827 | 19.11.2016 | 11:56 | C172 | 10 | start | ☒ | | 54,9 | 60,6 | 71,8 |
| 828 | 19.11.2016 | 12:21 | C150 | 10 | start | ☒ | | 55,0 | 62,8 | 71,6 |
| 829 | 19.11.2016 | 12:31 | C150 | 10 | start | ☒ | | 55,2 | 62,1 | 71,6 |
| 830 | 19.11.2016 | 12:42 | C150 | 10 | start | ☒ | | 54,5 | 61,6 | 70,9 |
| 831 | 19.11.2016 | 12:44 | C-421 C | 28 | ładowanie | ☒ | | 64,0 | 71,8 | 79,5 |
| 832 | 19.11.2016 | 13:31 | C152 | 10 | start | ☒ | | 56,9 | 62,5 | 72,2 |
| 833 | 19.11.2016 | 13:45 | C152 | 10 | start | ☒ | | 59,1 | 67,1 | 74,1 |
| 834 | 19.11.2016 | 13:47 | C152 | 10 | start | ☒ | | 53,6 | 59,2 | 70,0 |
| 835 | 19.11.2016 | 13:51 | C152 | 10 | start | ☒ | | 56,4 | 63,3 | 74,1 |
| 836 | 19.11.2016 | 14:07 | C152 | 10 | start | ☒ | | 55,3 | 59,6 | 72,6 |
| 837 | 19.11.2016 | 14:16 | C152 | 10 | start | ☒ | | 57,9 | 66,4 | 75,0 |
| 838 | 19.11.2016 | 14:22 | R44 | 10 | start | ☒ | | 59,1 | 65,0 | 75,7 |
| 839 | 19.11.2016 | 14:26 | C152 | 10 | start | ☒ | | 54,0 | 60,4 | 70,2 |



| Lp. | Data | Godzina | Typ statku powietrznego | Próg RWY | Typ operacji lotniczej | Warunki meteo | Zakłócenia | L _{Aeq} [dB] | L _{Amax} [dB] | L _{AE} [dB] |
|-----|------------|---------|-------------------------|----------|------------------------|-------------------------------------|------------|-----------------------|------------------------|----------------------|
| 840 | 19.11.2016 | 17:52 | EC35 | 10 | start | <input checked="" type="checkbox"/> | | 68,9 | 77,3 | 86,4 |
| 841 | 19.11.2016 | 19:20 | EC35 | 28 | ładowanie | <input checked="" type="checkbox"/> | | 59,0 | 65,8 | 76,2 |
| 842 | 20.11.2016 | 08:43 | C172 | 10 | start | <input checked="" type="checkbox"/> | | 56,7 | 65,2 | 71,4 |
| 843 | 20.11.2016 | 08:44 | C150 | 10 | start | <input checked="" type="checkbox"/> | | 58,8 | 64,5 | 73,2 |
| 844 | 20.11.2016 | 08:49 | C150 | 10 | start | <input checked="" type="checkbox"/> | | 57,9 | 63,5 | 73,1 |
| 845 | 20.11.2016 | 08:56 | C150 | 10 | start | <input checked="" type="checkbox"/> | | 49,0 | 54,9 | 65,1 |
| 846 | 20.11.2016 | 08:58 | C150 | 10 | start | <input checked="" type="checkbox"/> | | 51,8 | 56,9 | 67,9 |
| 847 | 20.11.2016 | 09:04 | C152 | 10 | start | <input checked="" type="checkbox"/> | | 52,5 | 58,7 | 68,9 |
| 848 | 20.11.2016 | 09:07 | C150 | 10 | start | <input checked="" type="checkbox"/> | | 52,6 | 59,6 | 68,0 |
| 849 | 20.11.2016 | 09:16 | C182 | 10 | start | <input checked="" type="checkbox"/> | | 53,1 | 61,3 | 69,2 |
| 850 | 20.11.2016 | 09:17 | C152 | 10 | start | <input checked="" type="checkbox"/> | | 59,8 | 64,8 | 75,5 |
| 851 | 20.11.2016 | 09:18 | C150 | 10 | start | <input checked="" type="checkbox"/> | | 62,8 | 68,8 | 78,8 |
| 852 | 20.11.2016 | 09:20 | PS28 | 10 | start | <input checked="" type="checkbox"/> | | 56,5 | 62,1 | 71,3 |
| 853 | 20.11.2016 | 09:26 | C150 | 10 | start | <input checked="" type="checkbox"/> | | 55,4 | 61,2 | 71,3 |
| 854 | 20.11.2016 | 09:36 | PS28 | 10 | start | <input checked="" type="checkbox"/> | | 49,2 | 58,8 | 66,0 |
| 855 | 20.11.2016 | 09:41 | C-150 | 10 | start | <input checked="" type="checkbox"/> | | 54,2 | 60,0 | 70,4 |
| 856 | 20.11.2016 | 09:46 | C152 | 10 | start | <input checked="" type="checkbox"/> | | 54,0 | 60,3 | 70,2 |
| 857 | 20.11.2016 | 09:50 | PS28 | 10 | start | <input checked="" type="checkbox"/> | | 55,5 | 61,9 | 70,0 |
| 858 | 20.11.2016 | 09:53 | AT3 | 10 | start | <input checked="" type="checkbox"/> | | 54,9 | 63,3 | 70,9 |
| 859 | 20.11.2016 | 09:57 | PS28 | 10 | start | <input checked="" type="checkbox"/> | | 56,6 | 64,1 | 70,6 |
| 860 | 20.11.2016 | 10:04 | C150 | 10 | start | <input checked="" type="checkbox"/> | | 62,8 | 71,2 | 77,7 |
| 861 | 20.11.2016 | 10:15 | C152 | 10 | start | <input checked="" type="checkbox"/> | | 59,3 | 68,5 | 75,2 |
| 862 | 20.11.2016 | 10:45 | C152 | 10 | start | <input checked="" type="checkbox"/> | | 49,0 | 54,0 | 64,8 |
| 863 | 20.11.2016 | 10:51 | C172 | 10 | start | <input checked="" type="checkbox"/> | | 60,6 | 65,1 | 76,3 |
| 864 | 20.11.2016 | 10:56 | ZODIAK | 10 | start | <input checked="" type="checkbox"/> | | 59,9 | 66,6 | 74,3 |
| 865 | 20.11.2016 | 11:13 | C182 | 10 | start | | | 58,6 | 63,6 | 73,1 |
| 866 | 20.11.2016 | 11:18 | C152 | 10 | start | | | 52,7 | 59,3 | 68,6 |
| 867 | 20.11.2016 | 11:22 | PA28 | 10 | start | | | 65,1 | 70,8 | 79,0 |
| 868 | 20.11.2016 | 11:24 | C152 | 10 | start | | | 61,0 | 66,5 | 77,0 |
| 869 | 20.11.2016 | 11:26 | AT3 | 10 | start | | | 53,9 | 59,7 | 69,0 |
| 870 | 20.11.2016 | 11:27 | C172 | 10 | start | | | 61,5 | 70,5 | 75,8 |
| 871 | 20.11.2016 | 11:40 | P06T | 10 | start | | | 50,7 | 59,7 | 67,0 |
| 872 | 20.11.2016 | 12:14 | RALL | 10 | start | | | 58,5 | 66,6 | 73,1 |
| 873 | 20.11.2016 | 12:21 | C152 | 10 | start | | | 53,4 | 59,5 | 68,7 |
| 874 | 20.11.2016 | 12:23 | C150 | 10 | start | | | 49,8 | 56,4 | 65,9 |
| 875 | 20.11.2016 | 12:41 | ZODIAK | 10 | start | | | 49,5 | 54,3 | 64,4 |
| 876 | 20.11.2016 | 12:46 | EC35 | 10 | start | | | 52,9 | 60,9 | 72,3 |
| 877 | 20.11.2016 | 12:48 | C182 | 10 | start | | | 50,5 | 56,3 | 66,3 |
| 878 | 20.11.2016 | 12:54 | C152 | 10 | start | | | 51,5 | 58,1 | 68,4 |
| 879 | 20.11.2016 | 13:05 | TBM700 | 10 | start | | | 61,1 | 68,7 | 77,0 |
| 880 | 20.11.2016 | 13:08 | PS28 | 10 | start | | | 51,6 | 58,9 | 69,4 |
| 881 | 20.11.2016 | 13:11 | C152 | 10 | start | <input checked="" type="checkbox"/> | | 59,2 | 69,4 | 74,5 |

| Lp. | Data | Godzina | Typ statku powietrznego | Próg RWY | Typ operacji lotniczej | Warunki meteo | Zakłócenia | L _{Aeq} [dB] | L _{Amax} [dB] | L _{AE} [dB] |
|-----|------------|---------|-------------------------|----------|------------------------|-------------------------------------|------------|-----------------------|------------------------|----------------------|
| 882 | 20.11.2016 | 13:18 | SBACH-42 | 10 | start | <input checked="" type="checkbox"/> | | 69,2 | 80,4 | 85,0 |
| 883 | 20.11.2016 | 13:23 | C152 | 10 | start | | | 66,3 | 76,4 | 81,5 |
| 884 | 20.11.2016 | 13:23 | C175 | 10 | start | <input checked="" type="checkbox"/> | | 59,7 | 67,2 | 76,1 |
| 885 | 20.11.2016 | 13:24 | SBACH-42 | 10 | start | | | 53,4 | 60,6 | 70,0 |
| 886 | 20.11.2016 | 13:25 | C152 | 10 | start | <input checked="" type="checkbox"/> | | 59,7 | 67,0 | 74,1 |
| 887 | 20.11.2016 | 13:28 | SBACH-42 | 10 | start | <input checked="" type="checkbox"/> | | 65,8 | 75,3 | 81,9 |
| 888 | 20.11.2016 | 13:39 | C172 | 10 | start | <input checked="" type="checkbox"/> | | 60,5 | 68,1 | 76,4 |
| 889 | 20.11.2016 | 13:44 | PS28 | 10 | start | <input checked="" type="checkbox"/> | | 65,6 | 74,1 | 80,8 |
| 890 | 20.11.2016 | 13:52 | Bristell | 10 | start | <input checked="" type="checkbox"/> | | 57,7 | 66,4 | 72,6 |
| 891 | 20.11.2016 | 13:56 | C-421 C | 10 | start | <input checked="" type="checkbox"/> | | 56,7 | 63,0 | 72,0 |
| 892 | 20.11.2016 | 14:03 | C150 | 10 | start | <input checked="" type="checkbox"/> | | 59,5 | 66,3 | 72,9 |
| 893 | 20.11.2016 | 14:07 | TL96 | 10 | start | <input checked="" type="checkbox"/> | | 56,4 | 62,6 | 71,7 |
| 894 | 20.11.2016 | 14:17 | C152 | 10 | start | <input checked="" type="checkbox"/> | | 60,0 | 65,5 | 75,3 |
| 895 | 20.11.2016 | 14:21 | C172 | 10 | start | <input checked="" type="checkbox"/> | | 56,8 | 63,4 | 73,3 |
| 896 | 20.11.2016 | 14:25 | C152 | 10 | start | <input checked="" type="checkbox"/> | | 53,3 | 60,1 | 70,4 |
| 897 | 20.11.2016 | 14:39 | C172 | 10 | start | <input checked="" type="checkbox"/> | | 61,7 | 66,5 | 77,2 |
| 898 | 20.11.2016 | 14:44 | C172 | 10 | start | <input checked="" type="checkbox"/> | | 54,8 | 60,8 | 71,2 |
| 899 | 20.11.2016 | 14:46 | UL45 | 10 | start | <input checked="" type="checkbox"/> | | 55,0 | 65,3 | 70,5 |
| 900 | 20.11.2016 | 14:53 | C152 | 10 | start | <input checked="" type="checkbox"/> | | 58,8 | 65,3 | 74,1 |
| 901 | 20.11.2016 | 14:56 | B407 | 10 | start | <input checked="" type="checkbox"/> | | 60,0 | 69,4 | 75,5 |
| 902 | 20.11.2016 | 14:58 | C152 | 10 | start | <input checked="" type="checkbox"/> | | 62,3 | 69,7 | 74,2 |
| 903 | 20.11.2016 | 15:05 | PS28 | 10 | start | <input checked="" type="checkbox"/> | | 52,5 | 59,6 | 68,3 |
| 904 | 20.11.2016 | 15:10 | AT3 | 10 | start | <input checked="" type="checkbox"/> | | 63,9 | 73,3 | 77,9 |
| 905 | 20.11.2016 | 15:16 | AT3 | 10 | start | <input checked="" type="checkbox"/> | | 56,4 | 60,2 | 72,3 |
| 906 | 20.11.2016 | 15:18 | C152 | 10 | start | <input checked="" type="checkbox"/> | | 57,1 | 61,8 | 73,1 |
| 907 | 20.11.2016 | 15:20 | UL45 | 10 | start | <input checked="" type="checkbox"/> | | 54,5 | 59,5 | 70,8 |
| 908 | 20.11.2016 | 15:27 | SIRA | 10 | start | <input checked="" type="checkbox"/> | | 53,9 | 60,5 | 68,8 |
| 909 | 20.11.2016 | 15:31 | C182 | 10 | start | <input checked="" type="checkbox"/> | | 65,3 | 78,3 | 81,1 |
| 910 | 20.11.2016 | 15:37 | AT3 | 10 | start | <input checked="" type="checkbox"/> | | 59,1 | 68,0 | 74,2 |
| 911 | 20.11.2016 | 15:43 | SIRA | 10 | start | <input checked="" type="checkbox"/> | | 56,3 | 64,0 | 72,5 |
| 912 | 20.11.2016 | 16:17 | C172 | 10 | start | <input checked="" type="checkbox"/> | | 58,0 | 64,4 | 73,9 |
| 913 | 20.11.2016 | 16:47 | C172 | 10 | start | <input checked="" type="checkbox"/> | | 56,1 | 62,5 | 72,0 |
| 914 | 20.11.2016 | 16:57 | C- 150 | 10 | start | <input checked="" type="checkbox"/> | | 52,9 | 57,7 | 70,1 |
| 915 | 20.11.2016 | 16:59 | C172 | 10 | start | <input checked="" type="checkbox"/> | | 52,9 | 58,5 | 70,1 |
| 916 | 20.11.2016 | 17:01 | C152 | 10 | start | <input checked="" type="checkbox"/> | | 58,6 | 66,7 | 73,7 |
| 917 | 20.11.2016 | 17:19 | C- 150 | 10 | start | <input checked="" type="checkbox"/> | | 55,3 | 59,2 | 69,0 |
| 918 | 20.11.2016 | 17:22 | C172 | 10 | start | <input checked="" type="checkbox"/> | | 55,1 | 60,3 | 70,3 |
| 919 | 20.11.2016 | 18:04 | C- 150 | 10 | start | <input checked="" type="checkbox"/> | | 59,4 | 68,8 | 74,3 |
| 920 | 20.11.2016 | 18:13 | C152 | 10 | start | <input checked="" type="checkbox"/> | | 55,7 | 62,1 | 72,0 |
| 921 | 20.11.2016 | 18:31 | C- 150 | 10 | start | <input checked="" type="checkbox"/> | | 53,2 | 59,2 | 69,5 |
| 922 | 21.11.2016 | 08:29 | C152 | 10 | start | | | 60,0 | 66,4 | 74,9 |

| Lp. | Data | Godzina | Typ statku powietrznego | Próg RWY | Typ operacji lotniczej | Warunki meteo | Zakłócenia | L _{Aeq} [dB] | L _{Amax} [dB] | L _{AE} [dB] |
|-----|------------|---------|-------------------------|----------|------------------------|---------------|------------|-----------------------|------------------------|----------------------|
| 923 | 21.11.2016 | 08:36 | BE58 | 10 | start | | | 55,9 | 61,9 | 75,1 |
| 924 | 21.11.2016 | 09:00 | C150 | 10 | start | | | 61,2 | 68,2 | 74,6 |
| 925 | 21.11.2016 | 09:05 | EC35 | 10 | start | | | 58,7 | 66,8 | 76,1 |
| 926 | 21.11.2016 | 09:11 | B407 | 28 | ładowanie | | | 59,7 | 65,5 | 75,6 |
| 927 | 21.11.2016 | 09:42 | C152 | 28 | ładowanie | ☒ | | 61,8 | 68,5 | 75,3 |
| 928 | 21.11.2016 | 09:43 | C152 | 10 | start | | | 59,7 | 67,2 | 72,5 |
| 929 | 21.11.2016 | 09:51 | C152 | 28 | ładowanie | | | 55,4 | 65,2 | 73,4 |
| 930 | 21.11.2016 | 10:08 | B407 | 10 | start | | | 58,9 | 67,2 | 76,6 |
| 931 | 21.11.2016 | 10:11 | C150 | 28 | ładowanie | | | 55,5 | 61,9 | 70,2 |
| 932 | 21.11.2016 | 10:14 | PA34 | 10 | start | ☒ | | 64,8 | 70,8 | 78,6 |
| 933 | 21.11.2016 | 10:16 | C152 | 10 | start | | | 63,3 | 71,2 | 78,2 |
| 934 | 21.11.2016 | 10:23 | EC35 | 10 | start | | | 59,1 | 64,5 | 77,2 |
| 935 | 21.11.2016 | 10:27 | PA34 | 10 | start | | | 56,3 | 61,0 | 71,3 |
| 936 | 21.11.2016 | 10:30 | EC35 | 28 | ładowanie | | | 60,8 | 73,4 | 78,7 |
| 937 | 21.11.2016 | 10:35 | PA34 | 28 | ładowanie | | | 61,4 | 69,3 | 75,1 |
| 938 | 21.11.2016 | 10:48 | C152 | 10 | start | | | 58,4 | 63,1 | 73,8 |
| 939 | 21.11.2016 | 10:56 | C172 | 10 | start | | | 60,6 | 67,0 | 75,9 |
| 940 | 21.11.2016 | 10:58 | PA28 | 10 | start | | | 56,4 | 62,4 | 72,9 |
| 941 | 21.11.2016 | 11:03 | PA34 | 10 | start | | | 60,3 | 69,6 | 75,6 |
| 942 | 21.11.2016 | 11:07 | C172 | 28 | ładowanie | | | 57,2 | 65,1 | 74,2 |
| 943 | 21.11.2016 | 11:09 | C172 | 10 | start | | | 55,4 | 60,8 | 72,6 |
| 944 | 21.11.2016 | 11:10 | C150 | 10 | start | | | 61,9 | 70,3 | 77,9 |
| 945 | 21.11.2016 | 11:13 | C152 | 10 | start | | | 56,9 | 64,7 | 73,5 |
| 946 | 21.11.2016 | 11:18 | C172 | 10 | start | | | 60,9 | 67,7 | 75,8 |
| 947 | 21.11.2016 | 11:25 | PA34 | 10 | start | | | 64,8 | 72,7 | 80,0 |
| 948 | 21.11.2016 | 11:39 | PA34 | 10 | start | | | 57,9 | 67,1 | 74,1 |
| 949 | 21.11.2016 | 11:40 | C172 | 10 | start | | | 59,3 | 66,3 | 74,4 |
| 950 | 21.11.2016 | 11:41 | EC35 | 10 | start | | | 53,3 | 60,0 | 71,1 |
| 951 | 21.11.2016 | 11:48 | C172 | 10 | start | | | 53,0 | 61,7 | 68,8 |
| 952 | 21.11.2016 | 12:00 | EC35 | 28 | ładowanie | | | 55,2 | 63,5 | 74,0 |
| 953 | 21.11.2016 | 12:06 | C152 | 10 | start | | | 59,2 | 64,2 | 73,8 |
| 954 | 21.11.2016 | 12:08 | C172 | 10 | start | | | 56,0 | 60,2 | 71,1 |
| 955 | 21.11.2016 | 12:13 | P06T | 10 | start | | | 58,4 | 63,4 | 73,8 |
| 956 | 21.11.2016 | 12:19 | C172 | 10 | start | | | 58,3 | 66,2 | 74,0 |
| 957 | 21.11.2016 | 12:20 | PA34 | 10 | start | | | 64,6 | 74,4 | 79,1 |
| 958 | 21.11.2016 | 12:27 | P06T | 10 | start | | | 56,7 | 63,4 | 70,6 |
| 959 | 21.11.2016 | 12:32 | PS28 | 10 | start | | | 57,8 | 63,2 | 73,7 |
| 960 | 21.11.2016 | 12:43 | P06T | 10 | start | | | 64,0 | 70,6 | 76,3 |
| 961 | 21.11.2016 | 12:47 | C152 | 10 | start | | | 55,2 | 60,3 | 71,3 |
| 962 | 21.11.2016 | 12:50 | C172 | 10 | start | | | 59,1 | 66,6 | 71,8 |
| 963 | 21.11.2016 | 13:00 | P06T | 10 | start | | | 54,0 | 59,8 | 69,4 |
| 964 | 21.11.2016 | 13:02 | C152 | 10 | start | | | 52,3 | 57,3 | 69,0 |



| Lp. | Data | Godzina | Typ statku powietrznego | Próg RWY | Typ operacji lotniczej | Warunki meteo | Zakłócenia | L _{Aeq} [dB] | L _{Amax} [dB] | L _{AE} [dB] |
|------|------------|---------|-------------------------|----------|------------------------|---------------|------------|-----------------------|------------------------|----------------------|
| 965 | 21.11.2016 | 13:12 | PA34 | 10 | start | | | 59,8 | 67,6 | 74,8 |
| 966 | 21.11.2016 | 13:13 | P06T | 10 | start | | | 58,4 | 66,5 | 73,4 |
| 967 | 21.11.2016 | 13:15 | AT3 | 10 | start | | | 61,4 | 69,7 | 75,5 |
| 968 | 21.11.2016 | 13:28 | P06T | 10 | start | | | 56,2 | 64,8 | 71,2 |
| 969 | 21.11.2016 | 13:31 | C175 | 10 | start | | | 61,5 | 68,7 | 74,5 |
| 970 | 21.11.2016 | 13:32 | Bristell | 10 | start | | | 56,3 | 62,6 | 70,2 |
| 971 | 21.11.2016 | 13:36 | C172 | 10 | start | | | 61,4 | 68,3 | 77,1 |
| 972 | 21.11.2016 | 13:40 | C150 | 10 | start | | | 61,3 | 68,2 | 74,1 |
| 973 | 21.11.2016 | 13:42 | C150 | 10 | start | | | 63,2 | 72,4 | 77,7 |
| 974 | 21.11.2016 | 13:44 | Bristell | 10 | start | | | 55,4 | 63,0 | 72,4 |
| 975 | 21.11.2016 | 13:46 | C172 | 10 | start | | | 56,1 | 64,5 | 71,9 |
| 976 | 21.11.2016 | 13:50 | Bristell | 10 | start | | | 65,8 | 78,0 | 81,1 |
| 977 | 21.11.2016 | 13:53 | C152 | 10 | start | | | 55,7 | 61,8 | 69,6 |
| 978 | 21.11.2016 | 13:57 | C172 | 10 | start | | | 64,0 | 73,3 | 80,0 |
| 979 | 21.11.2016 | 13:59 | Bristell | 10 | start | | | 56,2 | 65,6 | 73,6 |
| 980 | 21.11.2016 | 14:01 | C152 | 10 | start | | | 55,8 | 62,5 | 72,1 |
| 981 | 21.11.2016 | 14:04 | C152 | 10 | start | | | 57,9 | 65,8 | 73,4 |
| 982 | 21.11.2016 | 14:05 | C172 | 10 | start | | | 56,2 | 61,4 | 72,2 |
| 983 | 21.11.2016 | 14:12 | C150 | 10 | start | | | 59,7 | 67,6 | 73,7 |
| 984 | 21.11.2016 | 14:15 | PS28 | 10 | start | | | 59,2 | 64,9 | 76,7 |
| 985 | 21.11.2016 | 14:19 | C152 | 10 | start | | | 58,1 | 65,5 | 74,8 |
| 986 | 21.11.2016 | 14:20 | C152 | 10 | start | | | 60,9 | 68,2 | 74,3 |
| 987 | 21.11.2016 | 14:24 | PS28 | 10 | start | | | 57,7 | 65,3 | 73,5 |
| 988 | 21.11.2016 | 14:29 | C152 | 10 | start | | | 54,7 | 63,9 | 70,8 |
| 989 | 21.11.2016 | 14:32 | PS28 | 10 | start | | | 61,1 | 69,5 | 76,6 |
| 990 | 21.11.2016 | 14:41 | C152 | 10 | start | | | 59,2 | 68,0 | 74,2 |
| 991 | 21.11.2016 | 14:43 | C152 | 10 | start | | | 57,8 | 65,1 | 72,5 |
| 992 | 21.11.2016 | 14:46 | PS28 | 10 | start | | | 60,8 | 69,4 | 75,8 |
| 993 | 21.11.2016 | 14:48 | C152 | 10 | start | | | 58,8 | 68,2 | 74,9 |
| 994 | 21.11.2016 | 15:03 | PS28 | 10 | start | | | 56,6 | 64,3 | 71,5 |
| 995 | 21.11.2016 | 15:05 | C172 | 10 | start | | | 57,4 | 63,2 | 73,4 |
| 996 | 21.11.2016 | 15:20 | PS28 | 10 | start | | | 61,5 | 66,7 | 76,9 |
| 997 | 21.11.2016 | 15:27 | GA8 | 10 | start | | | 59,1 | 65,9 | 76,3 |
| 998 | 21.11.2016 | 15:30 | C152 | 10 | start | | | 59,9 | 67,7 | 75,6 |
| 999 | 21.11.2016 | 15:31 | PS28 | 10 | start | | | 57,9 | 64,3 | 74,4 |
| 1000 | 21.11.2016 | 15:36 | C152 | 10 | start | | | 55,8 | 61,6 | 71,8 |
| 1001 | 21.11.2016 | 15:40 | C152 | 10 | start | | | 56,9 | 60,1 | 71,0 |
| 1002 | 21.11.2016 | 15:42 | C172 | 10 | start | | | 59,8 | 68,1 | 75,1 |
| 1003 | 21.11.2016 | 15:49 | C152 | 10 | start | | | 57,7 | 63,7 | 72,1 |
| 1004 | 21.11.2016 | 15:51 | C152 | 10 | start | | | 55,8 | 63,9 | 70,7 |
| 1005 | 21.11.2016 | 15:55 | C172 | 10 | start | | | 61,8 | 68,8 | 75,0 |
| 1006 | 21.11.2016 | 16:24 | EC35 | 10 | start | | | 59,3 | 66,2 | 75,9 |



| Lp. | Data | Godzina | Typ statku powietrznego | Próg RWY | Typ operacji lotniczej | Warunki meteo | Zakłócenia | L _{Aeq} [dB] | L _{Amax} [dB] | L _{AE} [dB] |
|------|------------|---------|-------------------------|----------|------------------------|---------------|------------|-----------------------|------------------------|----------------------|
| 1007 | 21.11.2016 | 16:33 | C- 150 | 10 | start | | | 59,0 | 65,1 | 74,1 |
| 1008 | 21.11.2016 | 16:40 | C172 | 10 | start | | | 57,5 | 64,9 | 74,0 |
| 1009 | 21.11.2016 | 16:40 | EC35 | 10 | start | | | 55,6 | 61,7 | 72,9 |
| 1010 | 21.11.2016 | 16:49 | C150 | 10 | start | | | 56,3 | 62,0 | 72,4 |
| 1011 | 21.11.2016 | 16:57 | C152 | 10 | start | ☒ | | 59,4 | 63,9 | 72,7 |
| 1012 | 21.11.2016 | 17:00 | EC35 | 10 | start | | | 59,1 | 64,3 | 74,9 |
| 1013 | 21.11.2016 | 17:03 | C152 | 10 | start | | | 57,0 | 64,4 | 74,4 |
| 1014 | 21.11.2016 | 17:06 | C152 | 10 | start | | | 62,0 | 67,4 | 78,3 |
| 1015 | 21.11.2016 | 17:19 | EC35 | 10 | start | | | 57,6 | 63,5 | 74,9 |
| 1016 | 21.11.2016 | 17:26 | C152 | 10 | start | | | 56,8 | 64,3 | 72,0 |
| 1017 | 21.11.2016 | 17:28 | DA20 | 10 | start | | | 58,8 | 63,9 | 75,4 |
| 1018 | 21.11.2016 | 17:35 | C152 | 10 | start | | | 59,3 | 68,8 | 75,7 |
| 1019 | 21.11.2016 | 17:37 | DA20 | 10 | start | | | 56,8 | 61,5 | 73,2 |
| 1020 | 21.11.2016 | 17:44 | EC35 | 28 | ładowanie | | | 60,2 | 67,3 | 76,7 |
| 1021 | 21.11.2016 | 17:57 | C182 | 10 | start | | | 59,3 | 67,9 | 73,6 |
| 1022 | 21.11.2016 | 18:32 | EC35 | 10 | start | | | 60,0 | 68,0 | 75,6 |
| 1023 | 21.11.2016 | 18:57 | C182 | 10 | start | | | 59,9 | 66,5 | 74,8 |
| 1024 | 21.11.2016 | 19:07 | EC35 | 10 | start | | | 57,5 | 65,6 | 74,2 |
| 1025 | 21.11.2016 | 19:10 | C182 | 10 | start | | | 56,9 | 62,3 | 73,0 |
| 1026 | 21.11.2016 | 19:16 | C182 | 10 | start | | | 59,3 | 64,9 | 75,5 |
| 1027 | 21.11.2016 | 19:21 | EC35 | 28 | ładowanie | | | 58,0 | 67,4 | 74,5 |
| 1028 | 21.11.2016 | 19:24 | EC35 | 10 | start | | | 58,8 | 67,6 | 76,1 |
| 1029 | 21.11.2016 | 19:38 | EC35 | 10 | start | | | 58,4 | 66,2 | 75,4 |
| 1030 | 21.11.2016 | 19:51 | EC35 | 28 | ładowanie | | | 58,2 | 69,9 | 76,4 |
| 1031 | 22.11.2016 | 02:16 | B06 | 28 | ładowanie | ☒ | | 52,5 | 60,8 | 69,3 |
| 1032 | 22.11.2016 | 02:23 | B06 | 10 | start | ☒ | | 56,9 | 68,5 | 75,4 |
| 1033 | 22.11.2016 | 04:11 | B06 | 28 | ładowanie | ☒ | | 56,4 | 62,4 | 74,8 |
| 1034 | 22.11.2016 | 05:12 | M20D | 10 | start | ☒ | | 54,8 | 59,8 | 70,7 |
| 1035 | 22.11.2016 | 05:13 | B06 | 10 | start | ☒ | | 65,1 | 75,9 | 83,2 |
| 1036 | 22.11.2016 | 07:53 | EC20 | 10 | start | ☒ | | 56,3 | 62,1 | 73,4 |
| 1037 | 22.11.2016 | 08:44 | C- 150 | 10 | start | | | 60,8 | 67,4 | 76,2 |
| 1038 | 22.11.2016 | 08:59 | Beech King Air 250 | 28 | ładowanie | | | 63,1 | 70,9 | 80,0 |
| 1039 | 22.11.2016 | 09:07 | C- 150 | 10 | start | | | 60,5 | 68,0 | 77,3 |
| 1040 | 22.11.2016 | 09:11 | Beech King Air 250 | 10 | start | | | 67,2 | 73,9 | 82,4 |
| 1041 | 22.11.2016 | 09:18 | C175 | 10 | start | | | 58,8 | 65,8 | 75,7 |
| 1042 | 22.11.2016 | 09:22 | C152 | 10 | start | | | 64,6 | 72,9 | 80,7 |
| 1043 | 22.11.2016 | 09:26 | C- 150 | 10 | start | | | 58,8 | 64,7 | 75,8 |
| 1044 | 22.11.2016 | 09:31 | C152 | 10 | start | | | 55,3 | 61,1 | 70,5 |
| 1045 | 22.11.2016 | 09:35 | COL3 | 10 | start | | | 59,8 | 71,1 | 75,2 |
| 1046 | 22.11.2016 | 09:46 | C- 150 | 10 | start | ☒ | | 60,3 | 67,5 | 78,1 |

| Lp. | Data | Godzina | Typ statku powietrznego | Próg RWY | Typ operacji lotniczej | Warunki meteo | Zakłócenia | L _{Aeq} [dB] | L _{Amax} [dB] | L _{AE} [dB] |
|------|------------|---------|-------------------------|----------|------------------------|---------------|------------|-----------------------|------------------------|----------------------|
| 1047 | 22.11.2016 | 09:49 | C152 | 10 | start | | | 55,8 | 61,4 | 73,2 |
| 1048 | 22.11.2016 | 09:54 | C152 | 10 | start | | | 56,8 | 64,6 | 72,8 |
| 1049 | 22.11.2016 | 09:59 | C152 | 10 | start | | | 59,3 | 64,8 | 75,7 |
| 1050 | 22.11.2016 | 10:09 | C- 150 | 10 | start | | | 60,7 | 68,2 | 76,4 |
| 1051 | 22.11.2016 | 10:11 | C152 | 10 | start | | | 60,2 | 68,3 | 77,2 |
| 1052 | 22.11.2016 | 10:14 | P06T | 10 | start | | | 65,8 | 75,8 | 81,8 |
| 1053 | 22.11.2016 | 10:30 | COL3 | 10 | start | | | 62,2 | 75,4 | 78,2 |
| 1054 | 22.11.2016 | 10:27 | TL96 | 10 | start | | | 60,2 | 69,3 | 74,8 |
| 1055 | 22.11.2016 | 10:40 | PA34 | 10 | start | | | 58,1 | 66,3 | 73,6 |
| 1056 | 22.11.2016 | 10:50 | EC35 | 10 | start | | | 58,8 | 65,0 | 72,0 |
| 1057 | 22.11.2016 | 10:51 | C152 | 10 | start | | | 56,1 | 65,1 | 70,5 |
| 1058 | 22.11.2016 | 10:52 | TL96 | 10 | start | | | 55,3 | 64,4 | 71,2 |
| 1059 | 22.11.2016 | 11:00 | TL96 | 10 | start | | | 56,5 | 62,8 | 73,0 |
| 1060 | 22.11.2016 | 11:04 | C152 | 10 | start | | | 55,0 | 61,2 | 69,1 |
| 1061 | 22.11.2016 | 11:05 | PA34 | 10 | start | | | 60,1 | 67,1 | 76,7 |
| 1062 | 22.11.2016 | 11:10 | TL96 | 10 | start | | | 59,0 | 63,5 | 74,8 |
| 1063 | 22.11.2016 | 11:14 | C152 | 10 | start | | | 58,4 | 63,8 | 74,0 |
| 1064 | 22.11.2016 | 11:17 | C152 | 10 | start | | | 56,3 | 61,1 | 71,8 |
| 1065 | 22.11.2016 | 11:22 | TL96 | 28 | ładowanie | | | 62,7 | 71,8 | 79,9 |
| 1066 | 22.11.2016 | 11:20 | C152 | 10 | start | | | 56,8 | 62,8 | 72,3 |
| 1067 | 22.11.2016 | 11:29 | PA34 | 10 | start | | | 66,5 | 76,6 | 81,2 |
| 1068 | 22.11.2016 | 11:37 | C152 | 10 | start | | | 63,4 | 72,1 | 79,9 |
| 1069 | 22.11.2016 | 11:45 | C152 | 10 | start | | | 61,5 | 73,1 | 77,8 |
| 1070 | 22.11.2016 | 11:50 | PA34 | 28 | ładowanie | | | 57,1 | 65,5 | 73,5 |
| 1071 | 22.11.2016 | 11:53 | C152 | 28 | ładowanie | | | 55,1 | 59,8 | 71,2 |
| 1072 | 22.11.2016 | 11:55 | PS28 | 28 | ładowanie | | | 55,4 | 61,9 | 71,3 |
| 1073 | 22.11.2016 | 11:58 | C152 | 28 | ładowanie | | | 60,0 | 67,9 | 75,6 |
| 1074 | 22.11.2016 | 12:10 | C172 | 10 | start | | | 58,7 | 66,0 | 71,9 |
| 1075 | 22.11.2016 | 12:37 | C182 | 10 | start | | | 58,4 | 65,7 | 72,6 |
| 1076 | 22.11.2016 | 12:37 | EC35 | 10 | start | | | 56,5 | 64,8 | 74,5 |
| 1077 | 22.11.2016 | 12:45 | C182 | 10 | start | | | 62,2 | 69,9 | 77,3 |
| 1078 | 22.11.2016 | 12:51 | C182 | 10 | start | | | 61,3 | 70,8 | 76,8 |
| 1079 | 22.11.2016 | 13:01 | C152 | 10 | start | | | 54,4 | 61,8 | 70,4 |
| 1080 | 22.11.2016 | 13:03 | PA34 | 10 | start | | | 68,8 | 78,2 | 83,7 |
| 1081 | 22.11.2016 | 13:11 | C152 | 10 | start | | | 66,9 | 78,6 | 82,3 |
| 1082 | 22.11.2016 | 13:19 | EC35 | 10 | start | | | 72,3 | 81,4 | 87,1 |
| 1083 | 22.11.2016 | 13:19 | C152 | 10 | start | | | 60,5 | 68,1 | 75,4 |
| 1084 | 22.11.2016 | 13:21 | C152 | 10 | start | | | 54,4 | 61,8 | 71,2 |
| 1085 | 22.11.2016 | 13:26 | C172 | 10 | start | | | 55,1 | 61,7 | 72,6 |
| 1086 | 22.11.2016 | 13:27 | C152 | 10 | start | | | 57,9 | 65,1 | 74,6 |
| 1087 | 22.11.2016 | 13:30 | SIRA | 10 | start | | | 57,8 | 64,0 | 76,0 |
| 1088 | 22.11.2016 | 13:38 | C172 | 10 | start | | | 58,5 | 63,3 | 73,4 |

| Lp. | Data | Godzina | Typ statku powietrznego | Próg RWY | Typ operacji lotniczej | Warunki meteo | Zakłócenia | L _{Aeq} [dB] | L _{Amax} [dB] | L _{AE} [dB] |
|------|------------|---------|-------------------------|----------|------------------------|---------------|------------|-----------------------|------------------------|----------------------|
| 1089 | 22.11.2016 | 13:40 | R44 | 10 | start | | | 60,3 | 69,0 | 75,7 |
| 1090 | 22.11.2016 | 13:41 | C152 | 10 | start | | | 63,5 | 71,8 | 77,9 |
| 1091 | 22.11.2016 | 13:44 | C152 | 10 | start | | | 57,8 | 62,7 | 74,4 |
| 1092 | 22.11.2016 | 13:46 | C152 | 10 | start | | | 62,2 | 68,6 | 77,3 |
| 1093 | 22.11.2016 | 13:48 | C172 | 10 | start | | | 60,6 | 68,3 | 76,5 |
| 1094 | 22.11.2016 | 13:57 | EC35 | 10 | start | | | 58,4 | 64,9 | 76,4 |
| 1095 | 22.11.2016 | 13:58 | C172 | 10 | start | | | 55,8 | 60,1 | 70,3 |
| 1096 | 22.11.2016 | 14:07 | C172 | 10 | start | | | 58,8 | 63,9 | 75,6 |
| 1097 | 22.11.2016 | 14:17 | C172 | 10 | start | | | 58,2 | 63,4 | 76,1 |
| 1098 | 22.11.2016 | 14:21 | PS28 | 10 | start | | | 56,0 | 65,4 | 71,7 |
| 1099 | 22.11.2016 | 14:31 | PA34 | 10 | start | | | 67,7 | 78,5 | 84,2 |
| 1100 | 22.11.2016 | 14:34 | PS28 | 10 | start | | | 59,8 | 65,5 | 74,2 |
| 1101 | 22.11.2016 | 14:35 | C152 | 10 | start | | | 55,4 | 63,8 | 71,4 |
| 1102 | 22.11.2016 | 14:44 | PS28 | 10 | start | | | 59,7 | 67,1 | 75,6 |
| 1103 | 22.11.2016 | 14:46 | C152 | 10 | start | | | 58,0 | 65,6 | 73,3 |
| 1104 | 22.11.2016 | 14:56 | PS28 | 10 | start | | | 67,0 | 77,6 | 82,4 |
| 1105 | 22.11.2016 | 14:57 | C152 | 10 | start | | | 55,8 | 60,7 | 70,9 |
| 1106 | 22.11.2016 | 15:00 | PA34 | 10 | start | | | 56,2 | 62,6 | 71,7 |
| 1107 | 22.11.2016 | 15:06 | PS28 | 10 | start | | | 59,5 | 69,3 | 76,1 |
| 1108 | 22.11.2016 | 15:13 | C152 | 10 | start | | | 62,4 | 71,5 | 77,2 |
| 1109 | 22.11.2016 | 15:17 | C152 | 10 | start | | | 59,9 | 67,0 | 74,3 |
| 1110 | 22.11.2016 | 15:26 | PA34 | 10 | start | | | 61,6 | 68,4 | 74,5 |
| 1111 | 22.11.2016 | 15:27 | C152 | 10 | start | | | 60,3 | 67,9 | 74,6 |
| 1112 | 22.11.2016 | 15:34 | R44 | 10 | start | | | 55,5 | 61,4 | 73,3 |
| 1113 | 22.11.2016 | 15:49 | C172 | 10 | start | | | 67,2 | 77,4 | 82,4 |
| 1114 | 22.11.2016 | 15:52 | C152 | 10 | start | | | 61,2 | 69,3 | 78,4 |
| 1115 | 22.11.2016 | 15:58 | P06T | 10 | start | | | 54,5 | 60,6 | 70,8 |
| 1116 | 22.11.2016 | 16:06 | C172 | 10 | start | | | 59,3 | 65,5 | 72,2 |
| 1117 | 22.11.2016 | 16:21 | C172 | 10 | start | | | 58,4 | 65,6 | 73,0 |
| 1118 | 22.11.2016 | 16:26 | C152 | 10 | start | | | 61,7 | 70,7 | 79,4 |
| 1119 | 22.11.2016 | 16:34 | C- 150 | 10 | start | | | 61,3 | 67,9 | 78,1 |
| 1120 | 22.11.2016 | 16:36 | C172 | 10 | start | | | 60,5 | 67,0 | 78,1 |
| 1121 | 22.11.2016 | 16:37 | C152 | 10 | start | | | 59,5 | 68,8 | 75,0 |
| 1122 | 22.11.2016 | 16:53 | C- 150 | 10 | start | | | 59,4 | 67,7 | 74,4 |
| 1123 | 22.11.2016 | 16:56 | C152 | 10 | start | | | 55,2 | 61,9 | 71,1 |
| 1124 | 22.11.2016 | 17:00 | C152 | 10 | start | | | 54,3 | 60,5 | 71,2 |
| 1125 | 22.11.2016 | 17:08 | EC35 | 10 | start | | | 70,1 | 75,7 | 90,7 |
| 1126 | 22.11.2016 | 17:13 | Beech King Air 250 | 10 | start | | | 60,2 | 69,0 | 76,6 |
| 1127 | 22.11.2016 | 17:14 | C- 150 | 10 | start | | | 62,3 | 69,2 | 76,8 |
| 1128 | 22.11.2016 | 17:19 | C152 | 10 | start | | | 60,6 | 70,1 | 74,7 |
| 1129 | 22.11.2016 | 17:20 | C152 | 10 | start | | | 56,9 | 64,6 | 71,9 |



| Lp. | Data | Godzina | Typ statku powietrznego | Próg RWY | Typ operacji lotniczej | Warunki meteo | Zakłócenia | L _{Aeq} [dB] | L _{Amax} [dB] | L _{AE} [dB] |
|------|------------|---------|-------------------------|----------|------------------------|-------------------------------------|------------|-----------------------|------------------------|----------------------|
| 1130 | 22.11.2016 | 17:29 | C152 | 10 | start | | | 56,1 | 62,2 | 73,4 |
| 1131 | 22.11.2016 | 17:33 | C152 | 10 | start | | | 58,3 | 65,3 | 75,9 |
| 1132 | 22.11.2016 | 17:35 | C- 150 | 10 | start | | | 59,1 | 65,7 | 73,8 |
| 1133 | 22.11.2016 | 17:37 | C172 | 10 | start | | | 55,3 | 62,2 | 72,4 |
| 1134 | 22.11.2016 | 17:39 | C152 | 10 | start | | | 59,5 | 69,7 | 74,6 |
| 1135 | 22.11.2016 | 17:44 | C152 | 10 | start | | | 58,5 | 65,8 | 75,0 |
| 1136 | 22.11.2016 | 17:48 | C172 | 10 | start | | | 58,1 | 66,8 | 74,7 |
| 1137 | 22.11.2016 | 17:57 | C172 | 10 | start | | | 56,1 | 62,3 | 71,7 |
| 1138 | 22.11.2016 | 18:00 | C152 | 10 | start | | | 56,3 | 61,4 | 69,8 |
| 1139 | 22.11.2016 | 18:05 | C172 | 10 | start | | | 57,9 | 64,8 | 71,6 |
| 1140 | 22.11.2016 | 18:35 | AT3 | 10 | start | | | 60,5 | 69,7 | 76,7 |
| 1141 | 22.11.2016 | 18:36 | C152 | 10 | start | | | 56,9 | 64,0 | 72,8 |
| 1142 | 22.11.2016 | 18:37 | C172 | 10 | start | | | 55,5 | 62,8 | 70,7 |
| 1143 | 22.11.2016 | 18:44 | C172 | 10 | start | | | 57,1 | 63,0 | 73,9 |
| 1144 | 22.11.2016 | 19:19 | C182 | 10 | start | | | 54,7 | 60,2 | 70,5 |
| 1145 | 22.11.2016 | 19:27 | C182 | 10 | start | | | 53,6 | 58,2 | 69,0 |
| 1146 | 22.11.2016 | 19:35 | C182 | 10 | start | | | 61,8 | 70,0 | 76,1 |
| 1147 | 22.11.2016 | 19:42 | C182 | 10 | start | | | 54,0 | 60,1 | 70,8 |
| 1148 | 22.11.2016 | 19:49 | C182 | 28 | ładowanie | | | 54,7 | 59,1 | 71,2 |
| 1149 | 23.11.2016 | 05:23 | PA34 | 10 | start | <input checked="" type="checkbox"/> | | 56,6 | 63,0 | 72,3 |
| 1150 | 23.11.2016 | 07:57 | C150 | 10 | start | <input checked="" type="checkbox"/> | | 59,0 | 67,2 | 73,8 |
| 1151 | 23.11.2016 | 08:09 | C150 | 10 | start | <input checked="" type="checkbox"/> | | 59,5 | 66,2 | 73,0 |
| 1152 | 23.11.2016 | 08:22 | C152 | 10 | start | <input checked="" type="checkbox"/> | | 53,2 | 59,2 | 69,4 |
| 1153 | 23.11.2016 | 08:25 | C150 | 10 | start | <input checked="" type="checkbox"/> | | 60,2 | 70,5 | 74,8 |
| 1154 | 23.11.2016 | 08:38 | C150 | 10 | start | | | 59,3 | 67,0 | 73,1 |
| 1155 | 23.11.2016 | 09:02 | C150 | 10 | start | | | 59,6 | 67,1 | 73,3 |
| 1156 | 23.11.2016 | 09:18 | P06T | 10 | start | | | 70,5 | 75,6 | 85,4 |
| 1157 | 23.11.2016 | 09:26 | C172 | 10 | start | | | 63,6 | 69,8 | 79,3 |
| 1158 | 23.11.2016 | 09:30 | PS28 | 10 | start | | | 62,1 | 67,4 | 80,5 |
| 1159 | 23.11.2016 | 09:36 | C172 | 10 | start | | | 59,0 | 65,6 | 75,0 |
| 1160 | 23.11.2016 | 09:38 | C172 | 10 | start | | | 57,7 | 65,7 | 72,0 |
| 1161 | 23.11.2016 | 09:44 | PA34 | 10 | start | | | 63,8 | 73,5 | 79,9 |
| 1162 | 23.11.2016 | 09:45 | C172 | 10 | start | | | 57,7 | 65,2 | 73,1 |
| 1163 | 23.11.2016 | 09:47 | C172 | 10 | start | | | 58,2 | 63,5 | 74,6 |
| 1164 | 23.11.2016 | 09:48 | C172 | 10 | start | | | 57,2 | 64,1 | 73,1 |
| 1165 | 23.11.2016 | 09:55 | PS28 | 10 | start | | | 54,4 | 61,3 | 71,4 |
| 1166 | 23.11.2016 | 09:57 | C150 | 10 | start | | | 59,3 | 71,5 | 75,0 |
| 1167 | 23.11.2016 | 09:58 | C152 | 10 | start | | | 61,6 | 70,5 | 75,7 |
| 1168 | 23.11.2016 | 09:59 | C172 | 10 | start | | | 55,5 | 60,3 | 72,4 |
| 1169 | 23.11.2016 | 10:02 | PA34 | 10 | start | | | 56,1 | 64,3 | 71,5 |
| 1170 | 23.11.2016 | 10:06 | C150 | 10 | start | | | 56,6 | 63,9 | 72,5 |
| 1171 | 23.11.2016 | 10:10 | PS28 | 10 | start | | | 59,1 | 67,5 | 73,7 |



| Lp. | Data | Godzina | Typ statku powietrznego | Próg RWY | Typ operacji lotniczej | Warunki meteo | Zakłócenia | L _{Aeq} [dB] | L _{Amax} [dB] | L _{AE} [dB] |
|-----------------|-----------------------|------------------|-------------------------|---------------|------------------------|---------------|------------|-----------------------|------------------------|----------------------|
| 1172 | 23.11.2016 | 10:12 | B412 | 10 | start | | | 70,7 | 82,9 | 88,9 |
| 1173 | 23.11.2016 | 10:12 | C172 | 10 | start | | | 65,4 | 72,6 | 80,6 |
| 1174 | 23.11.2016 | 10:16 | PS28 | 10 | start | | | 56,7 | 65,6 | 72,5 |
| 1175 | 23.11.2016 | 10:22 | PA34 | 10 | start | | | 53,4 | 59,1 | 69,9 |
| 1176 | 23.11.2016 | 10:26 | C172 | 10 | start | | | 58,0 | 62,2 | 72,8 |
| 1177 | 23.11.2016 | 10:29 | C150 | 10 | start | | | 64,5 | 74,8 | 80,1 |
| 1178 | 23.11.2016 | 10:32 | C152 | 10 | start | | | 55,8 | 63,2 | 72,1 |
| 1179 | 23.11.2016 | 10:35 | C152 | 10 | start | | | 58,6 | 67,0 | 74,7 |
| 1180 | 23.11.2016 | 10:37 | C172 | 10 | start | | | 62,4 | 68,9 | 76,8 |
| 1181 | 23.11.2016 | 10:37 | PS28 | 10 | start | | | 59,3 | 65,5 | 74,0 |
| 1182 | 23.11.2016 | 10:38 | C152 | 10 | start | | | 57,5 | 64,7 | 73,1 |
| 1183 | 23.11.2016 | 10:40 | PA34 | 10 | start | | | 55,8 | 62,6 | 71,7 |
| 1184 | 23.11.2016 | 10:45 | C172 | 10 | start | | | 59,9 | 68,6 | 75,2 |
| 1185 | 23.11.2016 | 10:52 | G152 | 10 | start | | | 63,0 | 70,4 | 78,6 |
| 1186 | 23.11.2016 | 10:54 | C182 | 10 | start | | | 58,4 | 66,8 | 75,7 |
| 1187 | 23.11.2016 | 10:59 | P06T | 10 | start | | | 60,2 | 68,6 | 76,0 |
| 1188 | 23.11.2016 | 10:59 | PA34 | 10 | start | | | 63,2 | 71,0 | 78,9 |
| 1189 | 23.11.2016 | 11:00 | PS28 | 10 | start | | | 56,9 | 62,2 | 74,1 |
| 1190 | 23.11.2016 | 11:02 | B412 | 28 | ładowanie | | | 70,8 | 82,9 | 90,7 |
| 1191 | 23.11.2016 | 11:06 | C152 | 10 | start | | | 64,4 | 74,0 | 79,8 |
| 1192 | 23.11.2016 | 11:14 | C172 | 10 | start | | | 69,4 | 78,2 | 85,4 |
| 1193 | 23.11.2016 | 11:20 | PA34 | 10 | start | | | 61,0 | 69,4 | 75,4 |
| 1194 | 23.11.2016 | 11:21 | SIRA | 10 | start | | | 57,2 | 64,3 | 73,0 |
| 1195 | 23.11.2016 | 11:23 | C150 | 10 | start | | | 55,5 | 64,5 | 71,1 |
| 1196 | 23.11.2016 | 11:26 | C152 | 10 | start | | | 59,2 | 67,1 | 73,1 |
| 1197 | 23.11.2016 | 11:31 | SR22 | 10 | start | | | 60,1 | 67,4 | 73,8 |
| 1198 | 23.11.2016 | 11:34 | PA34 | 10 | start | | | 65,3 | 72,1 | 79,5 |
| 1199 | 23.11.2016 | 11:38 | C152 | 10 | start | | | 63,0 | 71,5 | 77,6 |
| 1200 | 23.11.2016 | 11:45 | SIRA | 10 | start | | | 63,4 | 70,4 | 78,4 |
| 1201 | 23.11.2016 | 11:51 | C152 | 10 | start | | | 57,2 | 65,0 | 71,6 |
| 1202 | 23.11.2016 | 12:15 | C172 | 10 | start | | | 59,6 | 63,3 | 72,4 |
| 1203 | 23.11.2016 | 12:17 | C150 | 10 | start | | | 57,2 | 62,8 | 74,3 |
| 1204 | 23.11.2016 | 12:26 | PS28 | 10 | start | | | 61,7 | 70,0 | 76,6 |
| 1205 | 23.11.2016 | 12:26 | C172 | 10 | start | | | 61,0 | 69,6 | 75,6 |
| 1206 | 23.11.2016 | 12:36 | C172 | 10 | start | | | 59,2 | 68,1 | 73,2 |
| 1207 | 23.11.2016 | 12:42 | C182 | 10 | start | | | 62,0 | 69,6 | 76,5 |
| 1208 | 23.11.2016 | 12:43 | UF10 | 10 | start | | | 58,9 | 66,6 | 74,8 |
| 1209 | 23.11.2016 | 12:45 | EC35 | 10 | start | | | 59,4 | 67,3 | 75,0 |
| 1210 | 23.11.2016 | 12:50 | PS28 | 10 | start | | | 56,2 | 65,7 | 72,7 |
| 1211 | 23.11.2016 | 12:52 | DA20 | 10 | start | | | 54,5 | 61,3 | 71,0 |
| 1212 | 23.11.2016 | 12:55 | C172 | 10 | start | | | 62,5 | 70,1 | 76,2 |
| 1213 | 23.11.2016 | 12:57 | C150 | 10 | start | | | 59,2 | 63,5 | 73,6 |



| Lp. | Data | Godzina | Typ stalku powietrznego | Próg RWY | Typ operacji lotniczej | Warunki meteo | Zakłócenia | L _{Aeq} [dB] | L _{Amax} [dB] | L _{AE} [dB] |
|------|------------|---------|-------------------------|----------|------------------------|---------------|------------|-----------------------|------------------------|----------------------|
| 1214 | 23.11.2016 | 12:58 | DA20 | 10 | start | | | 55,6 | 58,9 | 71,2 |
| 1215 | 23.11.2016 | 13:00 | SIRA | 10 | start | | | 62,1 | 72,2 | 77,2 |
| 1216 | 23.11.2016 | 13:04 | DA20 | 10 | start | | | 61,3 | 66,8 | 77,0 |
| 1217 | 23.11.2016 | 13:05 | C172 | 10 | start | | | 64,4 | 73,7 | 79,5 |
| 1218 | 23.11.2016 | 13:10 | PS28 | 10 | start | | | 56,5 | 61,8 | 72,0 |
| 1219 | 23.11.2016 | 13:13 | PS28 | 10 | start | | | 61,4 | 69,6 | 75,9 |
| 1220 | 23.11.2016 | 13:14 | P06T | 10 | start | | | 57,2 | 64,0 | 72,0 |
| 1221 | 23.11.2016 | 13:20 | PA34 | 10 | start | | | 68,3 | 76,9 | 83,4 |
| 1222 | 23.11.2016 | 13:27 | PS28 | 10 | start | | | 64,7 | 72,2 | 80,2 |
| 1223 | 23.11.2016 | 13:32 | C172 | 10 | start | | | 59,7 | 66,3 | 76,7 |
| 1224 | 23.11.2016 | 13:35 | C152 | 10 | start | | | 64,8 | 75,1 | 80,7 |
| 1225 | 23.11.2016 | 13:36 | PA34 | 10 | start | | | 56,2 | 63,1 | 74,3 |
| 1226 | 23.11.2016 | 13:38 | PS28 | 10 | start | | | 60,0 | 68,4 | 75,1 |
| 1227 | 23.11.2016 | 13:43 | PS28 | 10 | start | | | 59,1 | 68,4 | 75,0 |
| 1228 | 23.11.2016 | 13:49 | C152 | 10 | start | | | 57,3 | 63,2 | 73,8 |
| 1229 | 23.11.2016 | 13:50 | C150 | 10 | start | | | 69,0 | 78,7 | 83,9 |
| 1230 | 23.11.2016 | 13:51 | C152 | 10 | start | | | 54,8 | 62,2 | 70,8 |
| 1231 | 23.11.2016 | 13:54 | PA34 | 10 | start | | | 58,3 | 64,9 | 72,5 |
| 1232 | 23.11.2016 | 13:59 | C152 | 10 | start | | | 65,4 | 71,1 | 81,1 |
| 1233 | 23.11.2016 | 14:00 | PS28 | 10 | start | | | 55,3 | 60,6 | 72,1 |
| 1234 | 23.11.2016 | 14:10 | C152 | 10 | start | | | 59,6 | 68,6 | 74,6 |
| 1235 | 23.11.2016 | 14:12 | C152 | 10 | start | | | 52,8 | 60,9 | 69,2 |
| 1236 | 23.11.2016 | 14:13 | PA34 | 10 | start | | | 56,2 | 63,0 | 71,2 |
| 1237 | 23.11.2016 | 14:16 | PS28 | 10 | start | | | 59,6 | 67,1 | 72,9 |
| 1238 | 23.11.2016 | 14:17 | C152 | 10 | start | | | 60,8 | 67,2 | 75,6 |
| 1239 | 23.11.2016 | 14:21 | AT3 | 10 | start | | | 58,9 | 67,1 | 74,2 |
| 1240 | 23.11.2016 | 14:24 | PA34 | 10 | start | | | 53,1 | 58,3 | 69,9 |
| 1241 | 23.11.2016 | 14:28 | C152 | 10 | start | | | 59,9 | 69,3 | 74,4 |
| 1242 | 23.11.2016 | 14:33 | C152 | 10 | start | | | 59,6 | 70,6 | 76,3 |
| 1243 | 23.11.2016 | 14:34 | C152 | 10 | start | | | 55,8 | 62,4 | 70,6 |
| 1244 | 23.11.2016 | 14:35 | C150 | 10 | start | | | 58,1 | 65,4 | 74,3 |
| 1245 | 23.11.2016 | 14:38 | C152 | 10 | start | | | 57,2 | 64,3 | 71,4 |
| 1246 | 23.11.2016 | 14:44 | PA34 | 10 | start | | | 54,4 | 61,5 | 69,5 |
| 1247 | 23.11.2016 | 14:46 | C172 | 10 | start | | | 60,5 | 66,1 | 75,9 |
| 1248 | 23.11.2016 | 14:47 | PA34 | 10 | start | | | 56,1 | 61,6 | 71,0 |
| 1249 | 23.11.2016 | 14:48 | PA28 | 10 | start | | | 56,4 | 63,0 | 72,7 |
| 1250 | 23.11.2016 | 14:51 | C152 | 10 | start | | | 61,3 | 68,7 | 75,3 |
| 1251 | 23.11.2016 | 14:52 | K150 | 10 | start | | | 60,0 | 67,1 | 74,6 |
| 1252 | 23.11.2016 | 14:53 | PS28 | 10 | start | | | 61,2 | 69,2 | 76,1 |
| 1253 | 23.11.2016 | 14:55 | C172 | 10 | start | | | 60,3 | 64,9 | 74,1 |
| 1254 | 23.11.2016 | 14:57 | C152 | 10 | start | | | 58,2 | 65,9 | 73,1 |
| 1255 | 23.11.2016 | 15:01 | K150 | 10 | start | | | 56,1 | 64,2 | 74,0 |



| Lp. | Data | Godzina | Typ statku powietrznego | Próg RWY | Typ operacji lotniczej | Warunki meteo | Zakłócenia | L _{Aeq} [dB] | L _{Amax} [dB] | L _{AE} [dB] |
|------|------------|---------|-------------------------|----------|------------------------|---------------|------------|-----------------------|------------------------|----------------------|
| 1256 | 23.11.2016 | 15:03 | PA34 | 10 | start | | | 57,0 | 65,4 | 72,3 |
| 1257 | 23.11.2016 | 15:05 | C172 | 10 | start | | | 60,7 | 67,1 | 76,0 |
| 1258 | 23.11.2016 | 15:06 | PS28 | 10 | start | | | 75,5 | 84,8 | 91,5 |
| 1259 | 23.11.2016 | 15:09 | SIRA | 10 | start | | | 69,7 | 78,8 | 83,4 |
| 1260 | 23.11.2016 | 15:15 | C172 | 10 | start | | | 60,1 | 67,3 | 75,5 |
| 1261 | 23.11.2016 | 15:18 | SIRA | 10 | start | | | 53,2 | 58,2 | 70,4 |
| 1262 | 23.11.2016 | 15:25 | C172 | 10 | start | | | 57,9 | 64,7 | 74,6 |
| 1263 | 23.11.2016 | 15:26 | C172 | 10 | start | | | 56,0 | 60,5 | 71,4 |
| 1264 | 23.11.2016 | 15:27 | SIRA | 10 | start | | | 69,8 | 81,8 | 85,8 |
| 1265 | 23.11.2016 | 15:37 | C172 | 10 | start | | | 73,3 | 82,1 | 88,7 |
| 1266 | 23.11.2016 | 15:49 | Piper PA-46 - Meridi | 10 | start | | | 56,1 | 63,8 | 73,3 |
| 1267 | 23.11.2016 | 16:22 | C- 150 | 10 | start | | | 59,9 | 68,2 | 74,9 |
| 1268 | 23.11.2016 | 16:35 | AT3 | 10 | start | | | 54,0 | 62,0 | 70,6 |
| 1269 | 23.11.2016 | 16:37 | C152 | 10 | start | | | 54,8 | 60,4 | 69,9 |
| 1270 | 23.11.2016 | 16:43 | C152 | 10 | start | | | 55,2 | 58,7 | 71,7 |
| 1271 | 23.11.2016 | 16:46 | AT3 | 10 | start | | | 53,6 | 58,3 | 70,0 |
| 1272 | 23.11.2016 | 16:48 | C- 150 | 10 | start | | | 50,9 | 55,7 | 67,1 |
| 1273 | 23.11.2016 | 16:51 | C152 | 10 | start | | | 52,0 | 57,2 | 68,3 |
| 1274 | 23.11.2016 | 16:56 | C152 | 10 | start | | | 52,1 | 58,2 | 68,0 |
| 1275 | 23.11.2016 | 16:58 | AT3 | 10 | start | | | 53,0 | 60,3 | 70,2 |
| 1276 | 23.11.2016 | 16:59 | C152 | 10 | start | | | 53,6 | 61,2 | 69,5 |
| 1277 | 23.11.2016 | 17:05 | C152 | 10 | start | | | 58,1 | 67,4 | 74,2 |
| 1278 | 23.11.2016 | 17:08 | AT3 | 10 | start | | | 59,4 | 69,0 | 74,4 |
| 1279 | 23.11.2016 | 17:16 | AT3 | 10 | start | | | 52,8 | 57,7 | 69,6 |
| 1280 | 23.11.2016 | 17:21 | C172 | 10 | start | | | 60,8 | 71,1 | 76,2 |
| 1281 | 23.11.2016 | 17:22 | C152 | 10 | start | | | 56,1 | 62,6 | 72,9 |
| 1282 | 23.11.2016 | 17:26 | AT3 | 10 | start | | | 59,0 | 67,7 | 73,8 |
| 1283 | 23.11.2016 | 17:27 | C152 | 10 | start | | | 59,1 | 64,6 | 72,8 |
| 1284 | 23.11.2016 | 17:31 | C172 | 10 | start | | | 58,8 | 63,7 | 74,7 |
| 1285 | 23.11.2016 | 17:35 | C152 | 10 | start | | | 54,4 | 60,2 | 69,8 |
| 1286 | 23.11.2016 | 17:40 | C- 150 | 10 | start | | | 54,8 | 60,9 | 72,1 |
| 1287 | 23.11.2016 | 17:41 | C152 | 10 | start | | | 54,0 | 61,1 | 70,2 |
| 1288 | 23.11.2016 | 17:45 | C152 | 10 | start | | | 54,9 | 59,3 | 72,1 |
| 1289 | 23.11.2016 | 17:48 | C172 | 10 | start | | | 56,0 | 60,6 | 72,0 |
| 1290 | 23.11.2016 | 17:49 | C- 150 | 10 | start | | | 55,9 | 60,9 | 72,0 |
| 1291 | 23.11.2016 | 17:56 | C172 | 10 | start | | | 57,0 | 64,8 | 72,3 |
| 1292 | 23.11.2016 | 17:59 | C172 | 10 | start | | | 56,6 | 63,9 | 72,1 |
| 1293 | 23.11.2016 | 18:05 | C- 150 | 10 | start | | | 54,3 | 61,8 | 70,8 |
| 1294 | 23.11.2016 | 18:06 | C172 | 10 | start | | | 51,9 | 56,0 | 68,8 |
| 1295 | 23.11.2016 | 18:09 | C172 | 10 | start | | | 57,1 | 66,2 | 73,4 |
| 1296 | 23.11.2016 | 18:13 | C172 | 10 | start | | | 58,7 | 66,5 | 74,9 |



| Lp. | Data | Godzina | Typ statku powietrznego | Próg RWY | Typ operacji lotniczej | Warunki meteo | Zakłócenia | L _{Aeq} [dB] | L _{Amix} [dB] | L _{AE} [dB] |
|------|------------|---------|-------------------------|----------|------------------------|-------------------------------------|------------|-----------------------|------------------------|----------------------|
| 1297 | 23.11.2016 | 18:19 | C172 | 10 | start | | | 60,5 | 67,0 | 75,9 |
| 1298 | 23.11.2016 | 18:22 | C172 | 10 | start | | | 54,7 | 62,6 | 71,3 |
| 1299 | 23.11.2016 | 18:28 | C172 | 10 | start | | | 56,0 | 61,9 | 72,4 |
| 1300 | 23.11.2016 | 18:31 | C172 | 10 | start | | | 53,8 | 59,0 | 69,9 |
| 1301 | 23.11.2016 | 18:38 | C172 | 10 | start | | | 56,1 | 61,9 | 72,8 |
| 1302 | 23.11.2016 | 18:39 | C172 | 10 | start | | | 56,9 | 63,7 | 72,3 |
| 1303 | 23.11.2016 | 18:49 | C172 | 10 | start | | | 56,6 | 62,1 | 73,0 |
| 1304 | 23.11.2016 | 18:58 | C172 | 10 | start | | | 56,0 | 63,6 | 73,3 |
| 1305 | 23.11.2016 | 19:06 | AT3 | 10 | start | | | 58,2 | 65,4 | 74,0 |
| 1306 | 23.11.2016 | 19:13 | C172 | 10 | start | | | 56,9 | 64,9 | 72,6 |
| 1307 | 23.11.2016 | 19:15 | C182 | 10 | start | | | 55,1 | 60,4 | 70,6 |
| 1308 | 23.11.2016 | 19:22 | C182 | 10 | start | | | 59,2 | 67,2 | 75,6 |
| 1309 | 23.11.2016 | 19:29 | AT3 | 10 | start | | | 54,4 | 59,6 | 70,3 |
| 1310 | 23.11.2016 | 19:36 | AT3 | 10 | start | | | 53,4 | 58,9 | 68,9 |
| 1311 | 23.11.2016 | 19:41 | C182 | 10 | start | | | 55,7 | 61,5 | 70,0 |
| 1312 | 23.11.2016 | 19:50 | C182 | 10 | start | | | 54,1 | 60,6 | 70,3 |
| 1313 | 23.11.2016 | 20:04 | C182 | 28 | ładowanie | | | 60,3 | 68,5 | 74,4 |
| 1314 | 24.11.2016 | 08:59 | BE58 | 10 | start | <input checked="" type="checkbox"/> | | 57,4 | 63,6 | 73,7 |
| 1315 | 26.11.2016 | 11:12 | EC35 | 28 | ładowanie | <input checked="" type="checkbox"/> | | 51,3 | 60,0 | 68,5 |
| 1316 | 26.11.2016 | 11:15 | EC35 | 28 | ładowanie | <input checked="" type="checkbox"/> | | 62,5 | 69,8 | 77,1 |
| 1317 | 26.11.2016 | 11:18 | EC35 | 28 | ładowanie | <input checked="" type="checkbox"/> | | 63,2 | 71,9 | 79,1 |
| 1318 | 26.11.2016 | 11:41 | C152 | 28 | ładowanie | <input checked="" type="checkbox"/> | | 54,8 | 64,2 | 70,1 |
| 1319 | 26.11.2016 | 11:52 | C152 | 28 | ładowanie | <input checked="" type="checkbox"/> | | 57,9 | 63,6 | 73,5 |
| 1320 | 26.11.2016 | 11:53 | C172 | 28 | ładowanie | <input checked="" type="checkbox"/> | | 55,3 | 63,8 | 71,4 |
| 1321 | 26.11.2016 | 11:59 | C152 | 28 | ładowanie | <input checked="" type="checkbox"/> | | 57,0 | 67,0 | 74,4 |
| 1322 | 26.11.2016 | 12:01 | C152 | 28 | ładowanie | <input checked="" type="checkbox"/> | | 56,9 | 62,9 | 72,5 |
| 1323 | 26.11.2016 | 12:09 | C172 | 28 | ładowanie | <input checked="" type="checkbox"/> | | 66,1 | 72,8 | 78,2 |
| 1324 | 26.11.2016 | 12:11 | C152 | 28 | ładowanie | <input checked="" type="checkbox"/> | | 53,9 | 60,9 | 67,8 |
| 1325 | 26.11.2016 | 12:12 | C175 | 28 | ładowanie | <input checked="" type="checkbox"/> | | 59,6 | 65,6 | 72,4 |
| 1326 | 26.11.2016 | 12:18 | C152 | 28 | ładowanie | <input checked="" type="checkbox"/> | | 61,0 | 68,5 | 77,7 |
| 1327 | 26.11.2016 | 12:36 | C152 | 28 | ładowanie | <input checked="" type="checkbox"/> | | 56,2 | 62,5 | 70,4 |
| 1328 | 26.11.2016 | 12:42 | C172 | 28 | ładowanie | <input checked="" type="checkbox"/> | | 56,4 | 63,9 | 70,9 |
| 1329 | 26.11.2016 | 12:44 | C152 | 28 | ładowanie | <input checked="" type="checkbox"/> | | 61,2 | 69,5 | 75,6 |
| 1330 | 26.11.2016 | 12:50 | P06T | 28 | ładowanie | <input checked="" type="checkbox"/> | | 62,4 | 65,9 | 75,6 |
| 1331 | 26.11.2016 | 12:53 | C172 | 28 | ładowanie | <input checked="" type="checkbox"/> | | 61,2 | 66,7 | 73,8 |
| 1332 | 26.11.2016 | 12:54 | C152 | 28 | ładowanie | <input checked="" type="checkbox"/> | | 59,0 | 67,4 | 73,6 |
| 1333 | 26.11.2016 | 13:01 | Harvard II B | 28 | ładowanie | <input checked="" type="checkbox"/> | | 58,5 | 66,7 | 73,2 |
| 1334 | 26.11.2016 | 13:02 | C152 | 28 | ładowanie | <input checked="" type="checkbox"/> | | 61,6 | 69,4 | 75,2 |
| 1335 | 26.11.2016 | 13:14 | C152 | 28 | ładowanie | <input checked="" type="checkbox"/> | | 55,0 | 61,1 | 71,1 |
| 1336 | 26.11.2016 | 13:19 | C172 | 28 | ładowanie | <input checked="" type="checkbox"/> | | 56,9 | 62,6 | 72,3 |
| 1337 | 26.11.2016 | 13:21 | Bristell | 28 | ładowanie | <input checked="" type="checkbox"/> | | 52,7 | 58,8 | 70,1 |
| 1338 | 26.11.2016 | 13:27 | P06T | 28 | ładowanie | <input checked="" type="checkbox"/> | | 56,3 | 64,5 | 72,2 |

| Lp. | Data | Godzina | Typ statku powietrznego | Próg RWY | Typ operacji lotniczej | Warunki meteo | Zakłócenia | L _{Aeq} [dB] | L _{Amx} [dB] | L _{AE} [dB] |
|------|------------|---------|-------------------------|----------|------------------------|---------------|------------|-----------------------|-----------------------|----------------------|
| 1339 | 26.11.2016 | 13:28 | C152 | 28 | ładowanie | ☒ | | 60,3 | 67,4 | 76,5 |
| 1340 | 26.11.2016 | 13:41 | C152 | 28 | ładowanie | ☒ | | 59,2 | 65,9 | 73,0 |
| 1341 | 26.11.2016 | 13:45 | SBACH-42 | 10 | start | ☒ | | 67,8 | 79,8 | 84,0 |
| 1342 | 26.11.2016 | 13:51 | C152 | 28 | ładowanie | ☒ | | 63,4 | 73,7 | 79,5 |
| 1343 | 26.11.2016 | 13:52 | C152 | 28 | ładowanie | ☒ | | 56,8 | 62,9 | 72,4 |
| 1344 | 26.11.2016 | 13:54 | SBACH-42 | 28 | ładowanie | ☒ | | 58,8 | 67,4 | 74,3 |
| 1345 | 26.11.2016 | 13:56 | Bristell | 28 | ładowanie | ☒ | | 61,6 | 70,4 | 75,1 |
| 1346 | 26.11.2016 | 14:01 | SBACH-42 | 28 | ładowanie | ☒ | | 56,2 | 62,8 | 70,0 |
| 1347 | 26.11.2016 | 14:03 | PS28 | 28 | ładowanie | ☒ | | 58,8 | 66,6 | 73,5 |
| 1348 | 26.11.2016 | 14:07 | PS28 | 28 | ładowanie | ☒ | | 62,3 | 70,5 | 76,0 |
| 1349 | 26.11.2016 | 14:08 | SBACH-42 | 28 | ładowanie | ☒ | | 60,4 | 67,7 | 75,1 |
| 1350 | 26.11.2016 | 14:10 | Bristell | 28 | ładowanie | ☒ | | 60,8 | 72,8 | 75,6 |
| 1351 | 26.11.2016 | 14:16 | EC30 | 28 | ładowanie | ☒ | | 59,0 | 66,0 | 74,9 |
| 1352 | 26.11.2016 | 14:26 | C152 | 28 | ładowanie | ☒ | | 62,9 | 68,6 | 73,6 |
| 1353 | 26.11.2016 | 14:28 | C150 | 28 | ładowanie | ☒ | | 61,2 | 67,7 | 74,8 |
| 1354 | 26.11.2016 | 14:37 | C152 | 28 | ładowanie | ☒ | | 58,9 | 66,7 | 71,9 |
| 1355 | 26.11.2016 | 14:39 | C182 | 28 | ładowanie | ☒ | | 60,3 | 69,1 | 74,7 |
| 1356 | 26.11.2016 | 14:41 | RALL | 28 | ładowanie | ☒ | | 60,9 | 69,5 | 74,6 |
| 1357 | 26.11.2016 | 14:47 | C152 | 28 | ładowanie | ☒ | | 54,3 | 61,1 | 68,9 |
| 1358 | 26.11.2016 | 14:51 | AT3 | 28 | ładowanie | ☒ | | 60,7 | 70,4 | 75,6 |
| 1359 | 26.11.2016 | 14:55 | PA28 | 28 | ładowanie | ☒ | | 50,8 | 56,2 | 66,2 |
| 1360 | 26.11.2016 | 14:57 | C152 | 28 | ładowanie | ☒ | | 59,9 | 66,5 | 73,7 |
| 1361 | 26.11.2016 | 15:10 | C152 | 28 | ładowanie | ☒ | | 50,6 | 55,4 | 65,6 |
| 1362 | 26.11.2016 | 15:13 | PS28 | 28 | ładowanie | ☒ | | 59,1 | 67,3 | 72,9 |
| 1363 | 26.11.2016 | 15:19 | C172 | 28 | ładowanie | ☒ | | 64,5 | 74,8 | 79,4 |
| 1364 | 26.11.2016 | 15:20 | C152 | 28 | ładowanie | ☒ | | 61,7 | 71,1 | 75,5 |
| 1365 | 26.11.2016 | 15:24 | C152 | 28 | ładowanie | ☒ | | 54,9 | 60,4 | 70,0 |
| 1366 | 26.11.2016 | 15:42 | C152 | 28 | ładowanie | ☒ | | 53,5 | 59,2 | 67,8 |
| 1367 | 26.11.2016 | 15:44 | PS28 | 28 | ładowanie | ☒ | | 49,0 | 53,8 | 64,1 |
| 1368 | 26.11.2016 | 15:46 | C172 | 28 | ładowanie | ☒ | | 59,1 | 68,2 | 74,0 |
| 1369 | 26.11.2016 | 15:56 | C172 | 28 | ładowanie | ☒ | | 57,2 | 63,2 | 72,4 |
| 1370 | 26.11.2016 | 16:33 | C-150 | 28 | ładowanie | ☒ | | 51,9 | 57,3 | 68,6 |
| 1371 | 26.11.2016 | 16:36 | EC20 | 28 | ładowanie | ☒ | | 53,5 | 60,2 | 70,4 |
| 1372 | 26.11.2016 | 16:51 | C-150 | 28 | ładowanie | ☒ | | 52,0 | 59,0 | 69,5 |
| 1373 | 26.11.2016 | 17:01 | C172 | 28 | ładowanie | ☒ | | 53,6 | 59,5 | 70,7 |
| 1374 | 26.11.2016 | 17:10 | C-150 | 28 | ładowanie | ☒ | | 51,7 | 62,3 | 67,9 |
| 1375 | 26.11.2016 | 17:23 | C172 | 28 | ładowanie | ☒ | | 51,4 | 57,3 | 68,3 |
| 1376 | 26.11.2016 | 17:29 | C-150 | 28 | ładowanie | ☒ | | 61,5 | 68,1 | 77,3 |
| 1377 | 26.11.2016 | 17:33 | C172 | 28 | ładowanie | ☒ | | 52,2 | 58,8 | 69,3 |
| 1378 | 26.11.2016 | 17:42 | C172 | 28 | ładowanie | ☒ | | 48,9 | 54,5 | 66,8 |
| 1379 | 26.11.2016 | 17:48 | C-150 | 28 | ładowanie | ☒ | | 50,0 | 56,7 | 66,8 |

| Lp. | Data | Godzina | Typ statku powietrznego | Próg RWY | Typ operacji lotniczej | Warunki meteo | Zakłócenia | L _{Aeq} [dB] | L _{Amax} [dB] | L _{AE} [dB] |
|------|------------|---------|-------------------------|----------|------------------------|---------------|------------|-----------------------|------------------------|----------------------|
| 1380 | 26.11.2016 | 17:51 | C172 | 28 | ładowanie | ☒ | | 50,9 | 59,9 | 68,3 |
| 1381 | 26.11.2016 | 18:03 | C172 | 28 | ładowanie | ☒ | | 52,5 | 60,6 | 68,4 |
| 1382 | 26.11.2016 | 18:12 | C152 | 28 | ładowanie | ☒ | | 51,8 | 57,0 | 67,8 |
| 1383 | 26.11.2016 | 18:18 | C- 150 | 28 | ładowanie | ☒ | | 53,4 | 60,4 | 68,2 |
| 1384 | 26.11.2016 | 18:24 | C172 | 28 | ładowanie | ☒ | | 56,0 | 63,3 | 69,8 |
| 1385 | 26.11.2016 | 18:56 | C- 150 | 28 | ładowanie | ☒ | | 51,3 | 59,2 | 67,6 |
| 1386 | 26.11.2016 | 19:12 | C- 150 | 28 | ładowanie | ☒ | | 59,6 | 68,5 | 74,4 |
| 1387 | 26.11.2016 | 19:15 | C172 | 28 | ładowanie | ☒ | | 53,2 | 58,8 | 69,5 |
| 1388 | 26.11.2016 | 19:22 | C172 | 28 | ładowanie | ☒ | | 48,5 | 54,6 | 65,4 |
| 1389 | 26.11.2016 | 19:30 | C172 | 28 | ładowanie | ☒ | | 52,2 | 58,8 | 67,1 |
| 1390 | 26.11.2016 | 19:42 | C- 150 | 28 | ładowanie | ☒ | | 55,3 | 64,3 | 70,1 |
| 1391 | 26.11.2016 | 19:44 | C172 | 28 | ładowanie | ☒ | | 60,5 | 66,9 | 74,9 |
| 1392 | 26.11.2016 | 19:47 | C- 150 | 28 | ładowanie | ☒ | | 54,0 | 61,9 | 69,8 |
| 1393 | 27.11.2016 | 11:18 | C172 | 28 | ładowanie | ☒ | | 44,6 | 49,9 | 60,5 |
| 1394 | 27.11.2016 | 12:52 | C152 | 28 | ładowanie | ☒ | | 46,8 | 53,0 | 63,3 |
| 1395 | 27.11.2016 | 13:11 | EC35 | 10 | start | ☒ | | 59,4 | 68,4 | 78,0 |
| 1396 | 27.11.2016 | 13:31 | C175 | 10 | start | ☒ | | 59,6 | 71,1 | 76,5 |
| 1397 | 27.11.2016 | 13:44 | P06T | 10 | start | ☒ | | 50,4 | 58,2 | 68,4 |
| 1398 | 27.11.2016 | 13:48 | PS28 | 10 | start | ☒ | | 50,1 | 59,1 | 66,7 |
| 1399 | 27.11.2016 | 13:49 | C172 | 10 | start | ☒ | | 57,6 | 66,0 | 74,1 |
| 1400 | 27.11.2016 | 13:52 | EC35 | 10 | start | ☒ | | 58,9 | 68,4 | 77,6 |
| 1401 | 27.11.2016 | 14:00 | C152 | 10 | start | ☒ | | 50,5 | 58,2 | 66,2 |
| 1402 | 27.11.2016 | 14:09 | PS28 | 10 | start | ☒ | | 48,9 | 54,3 | 63,7 |
| 1403 | 27.11.2016 | 14:17 | PS28 | 28 | ładowanie | ☒ | | 59,2 | 66,1 | 72,2 |
| 1404 | 27.11.2016 | 14:18 | PS28 | 10 | start | ☒ | | 59,2 | 65,3 | 70,6 |
| 1405 | 27.11.2016 | 14:20 | PS28 | 28 | ładowanie | ☒ | | 61,5 | 70,4 | 75,5 |
| 1406 | 27.11.2016 | 14:25 | C152 | 28 | ładowanie | ☒ | | 54,6 | 60,6 | 68,5 |
| 1407 | 27.11.2016 | 14:29 | PS28 | 28 | ładowanie | ☒ | | 52,9 | 59,9 | 67,9 |
| 1408 | 27.11.2016 | 14:30 | PS28 | 10 | start | ☒ | | 52,8 | 56,5 | 67,1 |
| 1409 | 27.11.2016 | 14:35 | P06T | 28 | ładowanie | ☒ | | 52,4 | 55,9 | 68,8 |
| 1410 | 27.11.2016 | 14:37 | PS28 | 28 | ładowanie | ☒ | | 53,7 | 62,4 | 69,0 |
| 1411 | 27.11.2016 | 14:48 | PS28 | 28 | ładowanie | ☒ | | 62,1 | 69,9 | 75,8 |
| 1412 | 27.11.2016 | 14:49 | C172 | 28 | ładowanie | ☒ | | 54,1 | 59,8 | 69,9 |
| 1413 | 27.11.2016 | 14:53 | C152 | 28 | ładowanie | ☒ | | 60,5 | 67,7 | 72,9 |
| 1414 | 27.11.2016 | 14:58 | EC35 | 28 | ładowanie | ☒ | | 64,5 | 72,3 | 78,2 |
| 1415 | 27.11.2016 | 15:00 | C172 | 28 | ładowanie | ☒ | | 67,3 | 75,5 | 81,2 |
| 1416 | 27.11.2016 | 15:16 | PS28 | 28 | ładowanie | ☒ | | 55,2 | 61,9 | 69,5 |
| 1417 | 27.11.2016 | 15:27 | Piper PA-46 - Meridi | 28 | ładowanie | ☒ | | 68,7 | 77,4 | 85,6 |
| 1418 | 28.11.2016 | 07:23 | EC35 | 10 | start | ☒ | | 61,5 | 69,4 | 76,3 |
| 1419 | 28.11.2016 | 08:27 | BE58 | 10 | start | ☒ | | 67,6 | 77,1 | 83,8 |
| 1420 | 28.11.2016 | 08:38 | EC35 | 28 | ładowanie | ☒ | | 63,2 | 68,8 | 79,7 |



| Lp. | Data | Godzina | Typ statku powietrznego | Próg RWY | Typ operacji lotniczej | Warunki meteo | Zakłócenia | L _{Aeq} [dB] | L _{Amax} [dB] | L _{AE} [dB] |
|------|------------|---------|-------------------------|----------|------------------------|---------------|------------|-----------------------|------------------------|----------------------|
| 1421 | 28.11.2016 | 09:11 | EC35 | 10 | start | ☒ | | 70,5 | 80,2 | 84,4 |
| 1422 | 28.11.2016 | 09:14 | PA34 | 10 | start | ☒ | | 73,6 | 81,3 | 88,0 |
| 1423 | 28.11.2016 | 09:51 | EC35 | 10 | start | ☒ | | 58,8 | 63,7 | 75,7 |
| 1424 | 28.11.2016 | 09:54 | EC35 | 28 | ładowanie | ☒ | | 61,0 | 67,3 | 77,8 |
| 1425 | 28.11.2016 | 10:08 | EC35 | 10 | start | ☒ | | 57,7 | 63,7 | 74,3 |
| 1426 | 28.11.2016 | 10:22 | C182 | 10 | start | ☒ | | 57,0 | 63,8 | 74,0 |
| 1427 | 28.11.2016 | 10:42 | P06T | 10 | start | ☒ | | 50,6 | 58,9 | 67,9 |
| 1428 | 28.11.2016 | 10:52 | PA34 | 28 | ładowanie | ☒ | | 51,0 | 56,3 | 69,4 |
| 1429 | 28.11.2016 | 10:55 | PS28 | 10 | start | ☒ | | 60,4 | 68,4 | 77,1 |
| 1430 | 28.11.2016 | 11:21 | P06T | 28 | ładowanie | ☒ | | 52,6 | 57,9 | 71,5 |
| 1431 | 28.11.2016 | 11:29 | EC35 | 28 | ładowanie | ☒ | | 60,5 | 72,2 | 79,1 |
| 1432 | 28.11.2016 | 11:44 | PS28 | 28 | ładowanie | ☒ | | 53,7 | 59,7 | 68,4 |
| 1433 | 28.11.2016 | 11:59 | P06T | 28 | ładowanie | ☒ | | 55,9 | 63,7 | 70,2 |
| 1434 | 28.11.2016 | 12:02 | PS28 | 28 | ładowanie | ☒ | | 58,3 | 67,3 | 73,8 |
| 1435 | 28.11.2016 | 12:11 | PS28 | 28 | ładowanie | ☒ | | 50,7 | 57,6 | 67,7 |
| 1436 | 28.11.2016 | 12:13 | C152 | 28 | ładowanie | ☒ | | 57,8 | 66,3 | 73,8 |
| 1437 | 28.11.2016 | 12:17 | PS28 | 28 | ładowanie | ☒ | | 55,4 | 63,5 | 70,2 |
| 1438 | 28.11.2016 | 12:19 | C152 | 28 | ładowanie | ☒ | | 54,6 | 61,4 | 69,9 |
| 1439 | 28.11.2016 | 12:28 | PS28 | 28 | ładowanie | ☒ | | 46,4 | 51,9 | 63,8 |
| 1440 | 28.11.2016 | 12:33 | C152 | 28 | ładowanie | ☒ | | 60,0 | 66,8 | 74,0 |
| 1441 | 28.11.2016 | 12:37 | PS28 | 28 | ładowanie | ☒ | | 55,9 | 61,7 | 70,2 |
| 1442 | 28.11.2016 | 12:40 | C152 | 28 | ładowanie | ☒ | | 54,6 | 61,2 | 69,8 |
| 1443 | 28.11.2016 | 12:47 | C152 | 28 | ładowanie | ☒ | | 54,0 | 61,3 | 69,7 |
| 1444 | 28.11.2016 | 12:48 | PS28 | 28 | ładowanie | ☒ | | 56,2 | 64,0 | 71,0 |
| 1445 | 28.11.2016 | 12:54 | PS28 | 28 | ładowanie | ☒ | | 50,6 | 57,1 | 65,8 |
| 1446 | 28.11.2016 | 13:02 | PS28 | 28 | ładowanie | ☒ | | 64,0 | 76,1 | 79,8 |
| 1447 | 28.11.2016 | 13:04 | Beech King Air 250 | 28 | ładowanie | ☒ | | 71,0 | 80,6 | 90,6 |
| 1448 | 28.11.2016 | 13:23 | P06T | 28 | ładowanie | | | 51,7 | 61,7 | 69,1 |
| 1449 | 28.11.2016 | 13:28 | C152 | 28 | ładowanie | | | 67,7 | 76,5 | 82,2 |
| 1450 | 28.11.2016 | 13:40 | C152 | 28 | ładowanie | | | 56,2 | 63,2 | 73,0 |
| 1451 | 28.11.2016 | 13:42 | P06T | 28 | ładowanie | | | 59,3 | 68,0 | 74,3 |
| 1452 | 28.11.2016 | 13:51 | C150 | 28 | ładowanie | | | 64,0 | 67,8 | 79,3 |
| 1453 | 28.11.2016 | 13:54 | SR22 | 28 | ładowanie | | | 45,9 | 53,3 | 62,1 |
| 1454 | 28.11.2016 | 13:56 | C152 | 28 | ładowanie | | | 51,4 | 61,0 | 67,2 |
| 1455 | 28.11.2016 | 13:59 | C152 | 28 | ładowanie | | | 56,2 | 62,3 | 71,5 |
| 1456 | 28.11.2016 | 14:00 | P06T | 28 | ładowanie | | | 53,9 | 61,3 | 68,8 |
| 1457 | 28.11.2016 | 14:04 | C150 | 28 | ładowanie | | | 51,2 | 59,7 | 66,9 |
| 1458 | 28.11.2016 | 14:05 | PS28 | 10 | start | | | 51,3 | 58,2 | 67,6 |
| 1459 | 28.11.2016 | 14:12 | PA34 | 28 | ładowanie | | | 60,5 | 68,9 | 76,2 |
| 1460 | 28.11.2016 | 14:15 | C150 | 28 | ładowanie | | | 55,2 | 59,0 | 71,0 |
| 1461 | 28.11.2016 | 14:26 | PS28 | 28 | ładowanie | | | 51,0 | 58,3 | 66,1 |

| Lp. | Data | Godzina | Typ statku powietrznego | Próg RWY | Typ operacji lotniczej | Warunki meteo | Zakłócenia | L _{Aeq} [dB] | L _{Amax} [dB] | L _{AE} [dB] |
|------|------------|---------|-------------------------|----------|------------------------|---------------|------------|-----------------------|------------------------|----------------------|
| 1462 | 28.11.2016 | 14:27 | C150 | 28 | ładowanie | | | 50,2 | 61,3 | 66,4 |
| 1463 | 28.11.2016 | 14:33 | P06T | 28 | ładowanie | | | 54,7 | 63,4 | 69,4 |
| 1464 | 28.11.2016 | 14:41 | PS28 | 28 | ładowanie | | | 58,4 | 65,2 | 73,2 |
| 1465 | 28.11.2016 | 14:54 | PS28 | 28 | ładowanie | | | 54,0 | 60,5 | 69,5 |
| 1466 | 28.11.2016 | 14:55 | SIRA | 28 | ładowanie | | | 54,2 | 58,5 | 68,6 |
| 1467 | 28.11.2016 | 14:58 | PS28 | 28 | ładowanie | | | 60,4 | 68,9 | 75,5 |
| 1468 | 28.11.2016 | 15:00 | SIRA | 28 | ładowanie | | | 54,8 | 63,5 | 69,5 |
| 1469 | 28.11.2016 | 15:03 | C172 | 28 | ładowanie | | | 53,8 | 63,2 | 69,9 |
| 1470 | 28.11.2016 | 15:08 | SIRA | 28 | ładowanie | | | 63,2 | 72,6 | 79,0 |
| 1471 | 28.11.2016 | 15:10 | C172 | 28 | ładowanie | | | 54,2 | 61,2 | 70,2 |
| 1472 | 28.11.2016 | 15:13 | C172 | 28 | ładowanie | | | 52,9 | 57,8 | 69,0 |
| 1473 | 28.11.2016 | 15:18 | C152 | 28 | ładowanie | | | 56,3 | 65,0 | 71,6 |
| 1474 | 28.11.2016 | 15:20 | SIRA | 28 | ładowanie | | | 49,8 | 56,6 | 68,4 |
| 1475 | 28.11.2016 | 15:22 | C172 | 28 | ładowanie | | | 51,1 | 58,8 | 65,7 |
| 1476 | 28.11.2016 | 15:23 | C172 | 28 | ładowanie | | | 55,2 | 62,8 | 69,1 |
| 1477 | 28.11.2016 | 15:28 | C152 | 28 | ładowanie | | | 57,3 | 64,2 | 71,9 |
| 1478 | 28.11.2016 | 15:30 | SIRA | 28 | ładowanie | | | 51,3 | 58,9 | 68,4 |
| 1479 | 28.11.2016 | 15:32 | C172 | 28 | ładowanie | | | 50,3 | 56,1 | 63,8 |
| 1480 | 28.11.2016 | 15:35 | C152 | 28 | ładowanie | | | 58,5 | 64,3 | 75,4 |
| 1481 | 28.11.2016 | 15:38 | C172 | 28 | ładowanie | | | 59,8 | 66,0 | 75,1 |
| 1482 | 28.11.2016 | 15:39 | SIRA | 28 | ładowanie | | | 60,8 | 66,4 | 77,1 |
| 1483 | 28.11.2016 | 15:42 | C152 | 28 | ładowanie | | | 55,6 | 62,8 | 70,8 |
| 1484 | 28.11.2016 | 15:47 | C172 | 28 | ładowanie | | | 50,6 | 60,4 | 65,8 |
| 1485 | 28.11.2016 | 15:50 | SIRA | 28 | ładowanie | | | 56,2 | 65,9 | 70,0 |
| 1486 | 28.11.2016 | 15:51 | C175 | 28 | ładowanie | | | 57,3 | 64,7 | 71,8 |
| 1487 | 28.11.2016 | 15:56 | C172 | 28 | ładowanie | | | 53,9 | 60,4 | 67,4 |
| 1488 | 28.11.2016 | 15:59 | Socata TB21 | 28 | ładowanie | | | 60,0 | 66,2 | 74,5 |
| 1489 | 28.11.2016 | 17:17 | C- 150 | 28 | ładowanie | | | 53,1 | 58,5 | 67,3 |
| 1490 | 28.11.2016 | 17:27 | C- 150 | 28 | ładowanie | | | 58,8 | 67,7 | 73,0 |
| 1491 | 28.11.2016 | 17:30 | C152 | 28 | ładowanie | | | 55,0 | 60,8 | 70,2 |
| 1492 | 28.11.2016 | 17:37 | C152 | 28 | ładowanie | | | 50,0 | 60,5 | 65,4 |
| 1493 | 28.11.2016 | 17:39 | C- 150 | 28 | ładowanie | | | 51,9 | 58,0 | 66,9 |
| 1494 | 28.11.2016 | 17:48 | C152 | 28 | ładowanie | | | 48,7 | 57,1 | 65,3 |
| 1495 | 28.11.2016 | 17:52 | C- 150 | 28 | ładowanie | | | 56,5 | 62,9 | 71,8 |
| 1496 | 28.11.2016 | 17:55 | C- 150 | 28 | ładowanie | | | 62,5 | 70,3 | 76,6 |
| 1497 | 28.11.2016 | 18:04 | C- 150 | 10 | start | | | 51,8 | 59,4 | 68,6 |
| 1498 | 28.11.2016 | 18:16 | C- 150 | 28 | ładowanie | | | 45,8 | 50,8 | 63,3 |
| 1499 | 28.11.2016 | 21:12 | BE58 | 28 | ładowanie | | | 45,5 | 52,3 | 64,5 |
| 1500 | 29.11.2016 | 09:30 | EC35 | 10 | start | | | 59,5 | 64,7 | 77,0 |
| 1501 | 29.11.2016 | 09:35 | C152 | 10 | start | | | 59,3 | 66,6 | 73,6 |
| 1502 | 29.11.2016 | 09:54 | P06T | 10 | start | | | 53,2 | 57,8 | 69,5 |
| 1503 | 29.11.2016 | 10:04 | P06T | 10 | start | | | 53,5 | 61,9 | 69,9 |



| Lp. | Data | Godzina | Typ statku powietrznego | Próg RWY | Typ operacji lotniczej | Warunki meteo | Zakłócenia | L _{Aeq} [dB] | L _{Amax} [dB] | L _{AE} [dB] |
|---|------------|---------|-------------------------|----------|------------------------|---------------|------------|-----------------------|------------------------|----------------------|
| 1504 | 29.11.2016 | 10:30 | EC35 | 28 | ładowanie | | | 58,2 | 65,9 | 77,1 |
| 1505 | 29.11.2016 | 13:23 | SR22 | 10 | start | ☒ | | 65,8 | 74,1 | 81,8 |
| 1506 | 29.11.2016 | 15:08 | EC35 | 10 | start | ☒ | | 56,0 | 64,7 | 75,6 |
| 1507 | 30.11.2016 | 05:43 | EC35 | 28 | ładowanie | | | 52,1 | 63,5 | 70,7 |
| 1508 | 30.11.2016 | 08:26 | EC35 | 10 | start | | | 58,1 | 65,7 | 73,8 |
| 1509 | 30.11.2016 | 08:28 | PC12 | 10 | start | | | 59,1 | 64,4 | 74,1 |
| 1510 | 30.11.2016 | 08:47 | C152 | 10 | start | | | 57,7 | 64,1 | 74,5 |
| 1511 | 30.11.2016 | 08:50 | PS28 | 10 | start | | | 56,1 | 65,9 | 72,1 |
| 1512 | 30.11.2016 | 08:54 | C152 | 10 | start | | | 60,1 | 69,5 | 75,7 |
| 1513 | 30.11.2016 | 09:01 | PS28 | 10 | start | | | 61,3 | 70,7 | 75,5 |
| 1514 | 30.11.2016 | 09:04 | C152 | 10 | start | | | 57,3 | 64,2 | 71,0 |
| 1515 | 30.11.2016 | 09:10 | P06T | 10 | start | | | 58,8 | 63,4 | 74,3 |
| 1516 | 30.11.2016 | 09:12 | PS28 | 10 | start | | | 63,6 | 70,2 | 77,8 |
| 1517 | 30.11.2016 | 09:19 | EC20 | 10 | start | | | 58,7 | 68,1 | 73,4 |
| 1518 | 30.11.2016 | 09:34 | P06T | 10 | start | | | 55,4 | 63,1 | 71,2 |
| 1519 | 30.11.2016 | 09:38 | C152 | 28 | ładowanie | | | 61,8 | 69,3 | 74,1 |
| 1520 | 30.11.2016 | 09:52 | P06T | 28 | ładowanie | | | 61,2 | 65,0 | 79,2 |
| 1521 | 30.11.2016 | 09:56 | P06T | 10 | start | | | 59,3 | 64,9 | 78,5 |
| 1522 | 30.11.2016 | 10:04 | M20D | 10 | start | | | 57,7 | 63,7 | 74,5 |
| 1523 | 30.11.2016 | 10:14 | EC20 | 10 | start | | | 57,6 | 65,2 | 71,8 |
| 1524 | 30.11.2016 | 10:15 | P06T | 28 | ładowanie | | | 59,5 | 68,2 | 74,0 |
| 1525 | 30.11.2016 | 10:28 | EC20 | 28 | ładowanie | | | 55,3 | 63,9 | 72,7 |
| 1526 | 30.11.2016 | 15:31 | PA34 | 10 | start | ☒ | | 58,6 | 68,2 | 74,3 |
| średnia wartość poziomu ekspozycji L_{AEŚr} [dB] | | | | | | | | | | 76,8 |
| odchylenie standardowe σ [dB] | | | | | | | | | | 4,2 |
| przedział ufności na poziomie 95% U_{AE} [dB] | | | | | | | | | | 0,7 |

9 Analiza wyników

9.1 Sposób określania i podawania niepewności

Niepewność złożona określona dla poziomu ufności 95 % (U_{95}) jest określona na podstawie wzoru:

$$U_{95+} = \sqrt{U_{A,95+}^2 + U_{B,95+}^2}$$

gdzie:

$U_{A,95+}$ – niepewność rozszerzona typu A związana z rozrzutem wyników pomiaru dla wartości powyżej średniej,

$U_{B,95+}$ – niepewność rozszerzona typu B związana ze sprzętem i procedurą pomiarową dla wartości powyżej średniej.

Wyniki podawane są w postaci: $L + U_{95+}$.

9.2 Zestawienie wartości poziomów ekspozycji

Tabela 9. Średnie wartości poziomów ekspozycyjnych $L_{A_{EK}}$ wyznaczonych dla poszczególnych typów operacji lotniczych i typów statków powietrznych w punkcie pomiarowym PP.1.

| Lp. | Typ statku powietrznego | Typ operacji lotniczej | Próg RWY | Liczebność klasy | Średnia wartość poziomu ekspozycji dla danej klasy $L_{A_{EK}}$ [dB] |
|-----|-------------------------|------------------------|----------|------------------|--|
| 1 | B412 | start | 10 | 1 | 86,7 |
| 2 | TL96 | ładowanie | 28 | 1 | 84,9 |
| 3 | M18 | ładowanie | 28 | 3 | 82,2 |
| 4 | B412 | ładowanie | - | 1 | 81,3 |
| 5 | EC30 | ładowanie | 28 | 2 | 80,9 |
| 6 | Bristell | ładowanie | 28 | 3 | 80,5 |
| 7 | M20D | start | 10 | 2 | 79,9 |
| 8 | BE58 | start | 10 | 2 | 79,1 |
| 9 | PC12 | ładowanie | 28 | 3 | 78,3 |
| 10 | EC20 | start | 10 | 2 | 78,1 |
| 11 | EC35 | ładowanie | 28 | 34 | 78,1 |
| 12 | BE58 | ładowanie | 28 | 2 | 77,9 |
| 13 | B412 | ładowanie | 28 | 2 | 77,8 |
| 14 | SR22 | ładowanie | 28 | 2 | 77,4 |
| 15 | PA34 | start | 10 | 24 | 76,3 |
| 16 | M18 | start | 10 | 1 | 76,3 |
| 17 | EC35 | start | - | 1 | 76,2 |
| 18 | EC30 | start | 10 | 1 | 75,9 |
| 19 | EC35 | ładowanie | - | 5 | 75,9 |
| 20 | PA34 | ładowanie | 28 | 7 | 75,9 |
| 21 | R44 | start | 10 | 4 | 75,9 |
| 22 | RALL | start | 10 | 3 | 75,7 |
| 23 | Beech King Air 250 | start | 10 | 2 | 75,7 |
| 24 | HU-269 Schweizer | ładowanie | 28 | 1 | 75,6 |
| 25 | EC20 | ładowanie | 28 | 4 | 75,4 |
| 26 | C152 | ładowanie | 28 | 20 | 75,3 |
| 27 | HU-269 Schweizer | start | 10 | 1 | 75,2 |
| 28 | COL3 | start | 10 | 1 | 75,0 |
| 29 | RALL | ładowanie | 28 | 2 | 75,0 |
| 30 | EC35 | start | 10 | 29 | 74,9 |
| 31 | K150 | start | 10 | 1 | 74,7 |
| 32 | UF10 | start | 10 | 1 | 74,7 |
| 33 | SIRA | start | 10 | 5 | 74,5 |
| 34 | C172 | start | 10 | 104 | 74,0 |
| 35 | C152 | start | 10 | 101 | 73,9 |
| 36 | SR22 | start | 10 | 2 | 73,9 |
| 37 | SIRA | ładowanie | 28 | 1 | 73,9 |

| Lp. | Typ statku powietrznego | Typ operacji lotniczej | Próg RWY | Liczebność klasy | Średnia wartość poziomu ekspozycji dla danej klasy LA _{Ek} [dB] |
|-----|-------------------------|------------------------|----------|------------------|--|
| 38 | PS28 | ładowanie | 28 | 11 | 73,7 |
| 39 | AT3 | start | 10 | 15 | 73,7 |
| 40 | C150 | ładowanie | 28 | 4 | 73,6 |
| 41 | P68C | ładowanie | 28 | 1 | 73,6 |
| 42 | C- 150 | start | 10 | 8 | 73,5 |
| 43 | C150 | start | 10 | 35 | 73,4 |
| 44 | TB9 | start | 10 | 1 | 73,2 |
| 45 | P06T | ładowanie | 28 | 5 | 73,0 |
| 46 | PS28 | start | 10 | 27 | 73,0 |
| 47 | C172 | ładowanie | 28 | 10 | 73,0 |
| 48 | PA28 | start | 10 | 7 | 72,9 |
| 49 | C182 | start | 10 | 20 | 72,7 |
| 50 | Socata TB21 | ładowanie | 28 | 1 | 72,4 |
| 51 | PA34 | start | - | 1 | 72,3 |
| 52 | Piper PA-46 - Meridi | start | 10 | 1 | 72,1 |
| 53 | R66 | start | 10 | 1 | 72,0 |
| 54 | TL96 | start | 10 | 3 | 71,9 |
| 55 | Bristell | start | 10 | 4 | 71,6 |
| 56 | RALL | start | - | 1 | 71,5 |
| 57 | P06T | start | 10 | 8 | 71,3 |
| 58 | RALL | ładowanie | - | 1 | 71,1 |
| 59 | GA8 | start | 10 | 1 | 70,8 |
| 60 | C182 | ładowanie | 28 | 5 | 69,7 |
| 61 | C- 150 | ładowanie | 28 | 1 | 69,7 |
| 62 | P68 | start | - | 1 | 68,3 |
| 63 | R44 | ładowanie | 28 | 1 | - |
| 64 | PIVI | start | 10 | 1 | - |
| 65 | SBACH -42 | ładowanie | 28 | 2 | - |
| 66 | SBACH -42 | start | 10 | 1 | - |
| 67 | C175 | ładowanie | 28 | 1 | - |
| 68 | C175 | start | 10 | 5 | - |
| 69 | Beech King Air 250 | ładowanie | 28 | 2 | - |
| 70 | Da - 20 | start | 10 | 1 | - |
| 71 | DV-20 KATANA | start | 10 | 1 | - |
| 72 | Maule MX-7 | start | 10 | 1 | - |

Tabela 10. Średnie wartości poziomów ekspozycyjnych L_{Aek} wyznaczonych dla poszczególnych typów operacji lotniczych i typów statków powietrznych w punkcie pomiarowym PP.2.

| Lp. | Typ statku powietrznego | Typ operacji lotniczej | Próg RWY | Liczebność klasy | Średnia wartość poziomu ekspozycji dla danej klasy L_{Aek} [dB] |
|-----|-------------------------|------------------------|----------|------------------|---|
| 1 | B412 | ładowanie | 28 | 2 | 90,7 |
| 2 | Beech King Air 250 | start | 10 | 5 | 85,0 |
| 3 | B412 | start | 10 | 2 | 81,0 |
| 4 | B407 | start | 10 | 4 | 80,5 |
| 5 | M18 | ładowanie | 28 | 7 | 79,2 |
| 6 | TBM700 | start | 10 | 1 | 77,0 |
| 7 | SIRA | start | 10 | 13 | 76,7 |
| 8 | COL3 | start | 10 | 2 | 76,7 |
| 9 | GA8 | start | 10 | 1 | 76,3 |
| 10 | HU-269 Schweizer | ładowanie | 28 | 3 | 75,5 |
| 11 | R66 | start | 10 | 1 | 75,5 |
| 12 | PA34 | start | 10 | 43 | 75,4 |
| 13 | EC20 | ładowanie | 28 | 8 | 75,3 |
| 14 | Beech King Air 250 | ładowanie | 28 | 5 | 75,2 |
| 15 | C175 | start | 10 | 12 | 75,1 |
| 16 | B407 | ładowanie | 28 | 2 | 75,0 |
| 17 | Bristell | start | 10 | 8 | 75,0 |
| 18 | PA34 | ładowanie | 28 | 11 | 75,0 |
| 19 | PA28 | start | 10 | 10 | 74,9 |
| 20 | EC35 | start | 10 | 87 | 74,8 |
| 21 | UF10 | start | 10 | 1 | 74,8 |
| 22 | AT3 | ładowanie | 28 | 13 | 74,7 |
| 23 | PC12 | ładowanie | 28 | 3 | 74,5 |
| 24 | M20D | start | 10 | 3 | 74,5 |
| 25 | PS28 | start | 10 | 83 | 74,5 |
| 26 | R44 | start | 10 | 5 | 74,5 |
| 27 | Socata TB21 | ładowanie | 28 | 1 | 74,5 |
| 28 | K150 | start | 10 | 2 | 74,3 |
| 29 | EC35 | ładowanie | 28 | 80 | 74,3 |
| 30 | P06T | ładowanie | 28 | 20 | 74,3 |
| 31 | C172 | start | 10 | 169 | 74,3 |
| 32 | PA28 | ładowanie | 28 | 2 | 74,2 |
| 33 | PC12 | start | 10 | 1 | 74,1 |
| 34 | PS28 | ładowanie | 28 | 76 | 74,0 |
| 35 | RALL | start | 10 | 6 | 74,0 |
| 36 | RALL | ładowanie | 28 | 4 | 73,9 |
| 37 | SR22 | start | 10 | 3 | 73,8 |
| 38 | C- 150 | start | 10 | 25 | 73,8 |



| Lp. | Typ statku powietrznego | Typ operacji lotniczej | Próg RWY | Liczebność klasy | Średnia wartość poziomu ekspozycji dla danej klasy L _{AER} [dB] |
|-----|-------------------------|------------------------|----------|------------------|--|
| 39 | DA20 | start | 10 | 6 | 73,6 |
| 40 | HU-269 Schweizer | start | 10 | 1 | 73,5 |
| 41 | C150 | start | 10 | 72 | 73,5 |
| 42 | C152 | start | 10 | 242 | 73,5 |
| 43 | TL96 | start | 10 | 7 | 73,5 |
| 44 | P06T | start | 10 | 28 | 73,4 |
| 45 | M18 | start | 10 | 3 | 73,4 |
| 46 | Piper PA-46 - Meridi | start | 10 | 2 | 73,3 |
| 47 | BE58 | start | 10 | 5 | 73,3 |
| 48 | P68C | ładowanie | 28 | 1 | 73,2 |
| 49 | C182 | start | 10 | 34 | 73,0 |
| 50 | C182 | ładowanie | 28 | 16 | 72,7 |
| 51 | EC20 | start | 10 | 5 | 72,6 |
| 52 | DA20 | ładowanie | 28 | 1 | 72,5 |
| 53 | Bristell | ładowanie | 28 | 7 | 72,5 |
| 54 | TL96 | ładowanie | 28 | 4 | 72,5 |
| 55 | AT3 | start | 10 | 36 | 72,3 |
| 56 | C152 | ładowanie | 28 | 140 | 72,2 |
| 57 | C150 | ładowanie | 28 | 34 | 72,1 |
| 58 | Piper PA-46 - Meridi | ładowanie | 28 | 2 | 72,0 |
| 59 | C172 | ładowanie | 28 | 69 | 71,5 |
| 60 | R66 | ładowanie | 28 | 1 | 71,5 |
| 61 | TB9 | start | 10 | 1 | 71,4 |
| 62 | C- 150 | ładowanie | 28 | 19 | 71,4 |
| 63 | SIRA | ładowanie | 28 | 8 | 71,3 |
| 64 | S330 | ładowanie | 28 | 3 | 71,0 |
| 65 | B427 | ładowanie | 28 | 1 | 70,9 |
| 66 | C175 | ładowanie | 28 | 5 | 70,8 |
| 67 | EC30 | start | 10 | 4 | 70,0 |
| 68 | SBACH -42 | start | 10 | 5 | 70,0 |
| 69 | SR22 | ładowanie | 28 | 4 | 68,7 |
| 70 | BE58 | ładowanie | 28 | 2 | 65,3 |
| 71 | EC30 | ładowanie | 28 | 7 | 64,4 |
| 72 | ZODIAK | start | 10 | 3 | 64,4 |
| 73 | UL45 | start | 10 | 4 | - |
| 74 | SBACH -42 | ładowanie | 28 | 3 | - |
| 75 | R44 | ładowanie | 28 | 1 | - |
| 76 | DV-20 KATANA | start | 10 | 2 | - |
| 77 | Harvard II B | ładowanie | 28 | 1 | - |
| 78 | M20D | ładowanie | 28 | 1 | - |

| Lp. | Typ statku powietrznego | Typ operacji lotniczej | Próg RWY | Liczebność klasy | Średnia wartość poziomu ekspozycji dla danej klasy LA _{Ek} [dB] |
|-----|-------------------------|------------------------|----------|------------------|--|
| 79 | Maule MX-7 | start | 10 | 1 | - |
| 80 | PIVI | start | 10 | 1 | - |
| 81 | P68 | ładowanie | 28 | 1 | - |
| 82 | B06 | ładowanie | 28 | 2 | - |
| 83 | B06 | start | 10 | 2 | - |
| 84 | C 152 | start | 10 | 1 | - |
| 85 | Da - 20 | start | 10 | 1 | - |
| 86 | C-206 | start | 10 | 1 | - |
| 87 | C-421 C | ładowanie | 28 | 1 | - |
| 88 | C-421 C | start | 10 | 1 | - |

9.3 Zestawienie operacji lotniczych

Poniższa tabela przedstawia rozkład ruchu na lotnisku w okresie objętym pomiarami, z podziałem na dzień i noc.

Tabela 11. Rozkład ruchu na lotnisku w okresie objętym pomiarami

| Lp. | Data | Liczba operacji lotniczych dla pory | |
|-----|------------|-------------------------------------|------|
| | | dnia | nocy |
| 1 | 01.11.2016 | 4 | 0 |
| 2 | 02.11.2016 | 90 | 2 |
| 3 | 03.11.2016 | 112 | 1 |
| 4 | 04.11.2016 | 158 | 0 |
| 5 | 05.11.2016 | 269 | 1 |
| 6 | 06.11.2016 | 7 | 1 |
| 7 | 07.11.2016 | 10 | 2 |
| 8 | 08.11.2016 | 227 | 0 |
| 9 | 09.11.2016 | 7 | 0 |
| 10 | 10.11.2016 | 220 | 0 |
| 11 | 11.11.2016 | 6 | 0 |
| 12 | 12.11.2016 | 217 | 0 |
| 13 | 13.11.2016 | 16 | 0 |
| 14 | 14.11.2016 | 206 | 0 |
| 15 | 15.11.2016 | 203 | 0 |
| 16 | 16.11.2016 | 5 | 0 |
| 17 | 17.11.2016 | 25 | 1 |
| 18 | 18.11.2016 | 213 | 2 |
| 19 | 19.11.2016 | 113 | 0 |
| 20 | 20.11.2016 | 218 | 0 |
| 21 | 21.11.2016 | 245 | 6 |
| 22 | 22.11.2016 | 253 | 1 |
| 23 | 23.11.2016 | 372 | 0 |
| 24 | 24.11.2016 | 2 | 0 |
| 25 | 25.11.2016 | 0 | 0 |
| 26 | 26.11.2016 | 225 | 0 |
| 27 | 27.11.2016 | 34 | 0 |
| 28 | 28.11.2016 | 160 | 0 |
| 29 | 29.11.2016 | 11 | 1 |
| 30 | 30.11.2016 | 38 | 0 |

| Lp. | Data | Liczba operacji lotniczych dla pory | |
|-----|------|-------------------------------------|------|
| | | dnia | noce |
| | | średnia | |
| | | 122,20 | 0,60 |

9.4 Wartości długookresowych średnich poziomów dźwięku A

Tabela 12. Wartości długookresowego średniego poziomu hałasu.

| Lp. | Oznaczenie punktu pomiarowego | Wartość długookresowego poziomu dźwięku A, [dB], wyrażona za pomocą wskaźnika | | Wartość dopuszczalna długookresowego poziomu dźwięku A, [dB], wyrażona za pomocą wskaźnika | |
|-----|-------------------------------|---|-----------------|--|-------|
| | | $L_{DWN} + U_{95+}$ | $L_N + U_{95+}$ | L_{DWN} | L_N |
| 1 | PP.1 | 44,9 +1,2 | 27,2 +1,7 | 60 | 50 |
| 2 | PP.2 | 48,5 +1,4 | 35,9 +2,0 | 60 | 50 |

U_{95+} oznacza niepewność rozszerzoną dla jednostronnego poziomu ufności 95% ($k=2$).

* - wynik pomiaru spoza zakresu akredytacji

9.5 Wartości dobowe równoważnych poziomów dźwięku A

Tabela 13. Wartości równoważnego poziomu dźwięku A dla poszczególnych dób w punkcie pomiarowym PP.1.

| Lp. | Data | Wartości poziomu ekspozycji L_{AE} [dB], dla pory | | Liczba operacji lotniczych dla pory | | Wartość równoważnego poziomu dźwięku A, dla czasu odniesienia T [dB], wyrażona przy pomocy wskaźnika | |
|-----|------------|---|------|-------------------------------------|------|--|-----------------------|
| | | Dnia | Nocy | dnia | noce | $L_{Aeq D} + U_{95+}$ | $L_{Aeq N} + U_{95+}$ |
| 1 | 01.11.2016 | 81,3 | - | 1 | 0 | 33,7 +1,1* | - |
| 2 | 02.11.2016 | 76,6 | 80,1 | 9 | 1 | 38,5 +2,4 | 35,5 +1,1* |
| 3 | 03.11.2016 | 79,3 | - | 22 | 0 | 45,1 +1,5 | - |
| 4 | 04.11.2016 | 74,9 | - | 13 | 0 | 38,4 +2,1 | - |
| 5 | 05.11.2016 | 73,2 | - | 49 | 0 | 42,5 +1,6 | - |
| 6 | 06.11.2016 | - | - | 1 | 0 | - | - |
| 7 | 07.11.2016 | - | - | 3 | 1 | - | - |
| 8 | 08.11.2016 | 73,9 | - | 53 | 0 | 43,5 +1,7 | - |
| 9 | 09.11.2016 | - | - | 0 | 0 | - | - |
| 10 | 10.11.2016 | - | - | 27 | 0 | - | - |
| 11 | 11.11.2016 | - | - | 3 | 0 | - | - |
| 12 | 12.11.2016 | 74,1 | - | 51 | 0 | 43,6 +2,5 | - |
| 13 | 13.11.2016 | - | - | 1 | 0 | - | - |
| 14 | 14.11.2016 | 81,4 | - | 2 | 0 | 36,8 +1,1* | - |
| 15 | 15.11.2016 | 75,8 | - | 9 | 0 | 37,7 +1,6 | - |
| 16 | 16.11.2016 | - | - | 1 | 0 | - | - |
| 17 | 17.11.2016 | - | - | 3 | 0 | - | - |
| 18 | 18.11.2016 | - | - | 30 | 0 | - | - |
| 19 | 19.11.2016 | - | - | 30 | 0 | - | - |
| 20 | 20.11.2016 | 71,2 | - | 15 | 0 | 35,4 +3,1* | - |
| 21 | 21.11.2016 | 74,8 | - | 36 | 1 | 42,8 +1,4 | - |
| 22 | 22.11.2016 | 76,0 | - | 46 | 1 | 45,0 +1,8 | - |
| 23 | 23.11.2016 | 75,9 | - | 112 | 0 | 48,8 +1,5 | - |
| 24 | 24.11.2016 | - | - | 1 | 0 | - | - |
| 25 | 25.11.2016 | - | - | 0 | 0 | - | - |
| 26 | 26.11.2016 | - | - | 14 | 0 | - | - |
| 27 | 27.11.2016 | - | - | 3 | 0 | - | - |
| 28 | 28.11.2016 | 77,2 | - | 26 | 0 | 43,7 +3,0* | - |

| Lp. | Data | Wartości poziomu ekspozycji L_{AE} [dB], dla pory | | Liczba operacji lotniczych dla pory | | Wartość równoważnego poziomu dźwięku A, dla czasu odniesienia T [dB], wyrażona przy pomocy wskaźnika | |
|-----|------------|---|------|-------------------------------------|---------|--|-----------------------|
| | | Dnia | Nocy | dnia | nocy | $L_{Aeq D} + U_{95+}$ | $L_{Aeq N} + U_{95+}$ |
| 29 | 29.11.2016 | 78,4 | 79,1 | 1 | 1 | 30,8 +1,1* | 34,5 +1,1* |
| 30 | 30.11.2016 | 78,1 | - | 3 | 0 | 35,3 +3,8* | - |
| | | max | max | średnia | średnia | max | max |
| | | 81,4 | 80,1 | 18,8 | 0,2 | 48,8 | 35,5 |

U_{95+} oznacza niepewność rozszerzoną dla jednostronnego poziomu ufności 95% ($k=2$).

* - wynik pomiaru spoza zakresu akredytacji

Tabela 14. Wartości równoważnego poziomu dźwięku A dla poszczególnych dób w punkcie pomiarowym PP.2.

| Lp. | Data | Wartości poziomu ekspozycji L_{AE} [dB], dla pory | | Liczba operacji lotniczych dla pory | | Wartość równoważnego poziomu dźwięku A, dla czasu odniesienia T [dB], wyrażona przy pomocy wskaźnika | |
|-----|------------|---|------|-------------------------------------|---------|--|-----------------------|
| | | Dnia | Nocy | dnia | nocy | $L_{Aeq D} + U_{95+}$ | $L_{Aeq N} + U_{95+}$ |
| 1 | 01.11.2016 | 73,7 | - | 3 | 0 | 30,9 +3,6* | - |
| 2 | 02.11.2016 | 77,7 | 66,3 | 42 | 1 | 46,3 +2,9 | 21,7 +1,1* |
| 3 | 03.11.2016 | 74,8 | 79,4 | 63 | 1 | 45,2 +1,6 | 34,8 +1,1* |
| 4 | 04.11.2016 | 74,0 | - | 16 | 0 | 38,4 +1,8 | - |
| 5 | 05.11.2016 | 74,6 | - | 109 | 1 | 47,4 +1,8 | - |
| 6 | 06.11.2016 | - | - | 6 | 0 | - | - |
| 7 | 07.11.2016 | - | - | 10 | 2 | - | - |
| 8 | 08.11.2016 | 73,7 | - | 119 | 0 | 46,9 +1,3 | - |
| 9 | 09.11.2016 | - | - | 7 | 0 | - | - |
| 10 | 10.11.2016 | - | - | 91 | 0 | - | - |
| 11 | 11.11.2016 | - | - | 4 | 0 | - | - |
| 12 | 12.11.2016 | 73,7 | - | 96 | 0 | 45,9 +1,6 | - |
| 13 | 13.11.2016 | - | - | 14 | 0 | - | - |
| 14 | 14.11.2016 | 78,5 | - | 77 | 0 | 49,8 +3,2* | - |
| 15 | 15.11.2016 | 80,1 | - | 56 | 0 | 50,0 +3,4* | - |
| 16 | 16.11.2016 | - | - | 2 | 0 | - | - |
| 17 | 17.11.2016 | - | - | 14 | 0 | - | - |
| 18 | 18.11.2016 | - | - | 56 | 0 | - | - |
| 19 | 19.11.2016 | - | - | 51 | 0 | - | - |
| 20 | 20.11.2016 | 74,3 | - | 80 | 0 | 45,7 +2,5 | - |
| 21 | 21.11.2016 | 74,9 | - | 109 | 5 | 47,7 +1,2 | - |
| 22 | 22.11.2016 | 77,6 | - | 113 | 1 | 50,5 +1,8 | - |
| 23 | 23.11.2016 | 78,1 | - | 164 | 0 | 52,6 +1,9 | - |
| 24 | 24.11.2016 | - | - | 1 | 0 | - | - |
| 25 | 25.11.2016 | - | - | 0 | 0 | - | - |
| 26 | 26.11.2016 | - | - | 78 | 0 | - | - |
| 27 | 27.11.2016 | - | - | 25 | 0 | - | - |
| 28 | 28.11.2016 | 72,7 | - | 82 | 0 | 44,2 +1,8 | - |
| 29 | 29.11.2016 | 74,6 | 70,7 | 7 | 1 | 35,4 +3,0* | 26,1 +1,1* |
| 30 | 30.11.2016 | 75,0 | - | 19 | 0 | 40,2 +1,6 | - |
| | | max | max | średnia | średnia | max | max |
| | | 80,1 | 79,4 | 50,5 | 0,4 | 52,6 | 34,8 |

U_{95+} oznacza niepewność rozszerzoną dla jednostronnego poziomu ufności 95% ($k=2$).

* - wynik pomiaru spoza zakresu akredytacji

9.6 Wartości równoważnych poziomów dźwięku A

Tabela 15. Wartości średniego poziomu hałasu.

| Lp. | Oznaczenie punktu pomiarowego | Wartość miesięcznego poziomu dźwięku A, [dB], wyrażona za pomocą wskaźnika | | Wartość dopuszczalna długookresowego poziomu dźwięku A, [dB], wyrażona za pomocą wskaźnika | |
|-----|-------------------------------|--|-----------------------|--|-------------|
| | | $L_{Aeq D} + U_{95+}$ | $L_{Aeq N} + U_{95+}$ | $L_{Aeq D}$ | $L_{Aeq N}$ |
| 1 | PP.1 | 41,1 +1,2 | 27,3 +4,1* | 60 | 50 |
| 2 | PP.2 | 46,2 +1,4 | 26,8 +6,4* | 60 | 50 |

U_{95+} oznacza niepewność rozszerzoną dla jednostronnego poziomu ufności 95% ($k=2$).

* - wynik pomiaru spoza zakresu akredytacji

10 Podsumowanie i wnioski

Na podstawie przeprowadzonych pomiarów nie stwierdzono przekroczenia dopuszczalnych wartości poziomu dźwięku w PP.1 oraz w PP.2.

W okresie obserwacji zarejestrowano najwyższe równoważne poziomy dźwięku:

w porze dziennej:

- w PP.1: 48,8 dB dnia 23.11.2016,
- w PP.2: 52,6 dB dnia 23.11.2016,

w porze nocnej:

- w PP.1: 35,5 dB dnia 02.11.2016,
- w PP.2: 34,8 dB dnia 03.11.2016.

Operacją lotniczą cechującą się najwyższym poziomem ekspozycji w punkcie pomiarowym PP.1 jest start śmigłowca B412, zaś w punkcie pomiarowym PP.2 lądowanie śmigłowca B412.

————— KONIEC SPRAWOZDANIA —————